

С-32

624.13

С-32

Проф. В. М. СЕРЕБРОВСЬКИЙ

ПІДПІРНІ СТІНКИ

ДЕРЖАВНЕ ВИДАВНИЦТВО
УКРАЇНИ

三



Л

Ч

624.13
C-32

Проф. В. М. СЕРЕБРОВСЬКИЙ

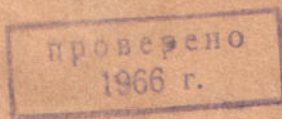
ПІДПІРНІ СТІНКИ

Державний Науково-Методологічний Комітет Наркомосвіти
У.С.Р.Р. по секції професійної освіти дозволив до вжитку
як підручник для індустр.-технічних ВУЗ'їв

9367

Гарнітур
Науково-Методологічний
Комітет Наркомосвіти У.С.Р.Р.

да



ДЕРЖАВНЕ ВИДАВНИЦТВО УКРАЇНИ

1926

69(02):62—91.79

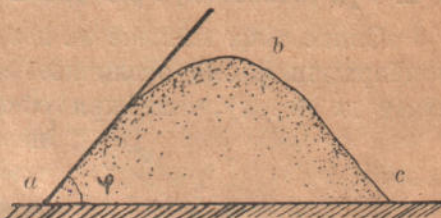
Термінологію зредаговано в Інституті Української Наукової Мови
Української Академії Наук.

Укрголовліт № 2000 (17884). 1926.
З друкарні Державного Видавництва України — УАН.
Зам. № 5271 — 3000.

§ 1. Сипкі тіла.

Середнє місце між твердими та плинними тілами займають так звані сипкі тіла; до таких тіл належить пісок, крихкий ґрунт, земля (так звані землисті тіла), зерно, шріт та інші. Плинне тіло, як відомо, перебуває в рівновазі, якщо околичня поверхня його є позема площа; тверде тіло може перебувати в рівновазі при довільній формі його околичної поверхні. Що ж до сипких тіл, то вони, коли їх помістити на позему поверхню, перебувають у рівновазі, якщо їх околичня поверхня має певний вигляд abc (фіг. 1), що залежить од властивостів самих сипких тіл; вигляд цієї поверхні abc характеризується кутом φ нахилу до позему.

Маса такого сипкого тіла, насипана на позему площе, поволі розповзеться по цій площі, поки дійде стану рівноваги маси; і форма поверхні abc (фіг. 1) її рівноваги характеризується кутом φ нахилу до позему. Маса сипкого тіла, насипана на поземій площи без жадних стінок (перепон), що відгороджували-б її з боків, отже форма її околичної поверхні рівноваги саме її є її природна поверхня; через те кут φ , що характеризує нахил цієї поверхні до позему, звуться кутом природнього укосу (*der natürliche Böschungswinkel, l'angle du talus naturel*). Отже, сипке тіло має свій певний кут природнього укосу. Ідеальний плин, в якого зовнішня поверхня є позема площа, має кут природнього укосу рівний нулеві ($\varphi = 0$). Ідеальний плин, коли його помістити на поземій площи, ввесь цілком по ній розповзеться; себ-то між частинками такого плину нема тертя; в сипкому-ж тілі між його частинками (напр., між частинками піску або землі) є тертя, через те поверхня рівноваги

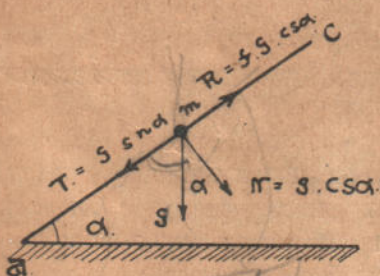


Фіг. 1.

в маси такого сипкого тіла й зберегає свою певну форму. Кут φ природного укосу, що характеризує поверхню рівноваги сипкого тіла, і являє собою ту найбільшу допустиму границю кута нахилу вільної поверхні маси сипкого тіла до позему. Величина цього кута природного укосу залежить, звичайно, від стану самого сипкого тіла. Якщо до сипкого тіла додати якого-небудь надіб'я, що цементує, напр. вогкої глини, то між частинками сипкого тіла з'явиться ще й спійність; при крихкому ґрунті, напр. піску, жорсткі, свіжо насипані землі, ця спійність незначна; у ґрунті злежалому або утальованому, ця спійність частинок помітно збільшується і через те насип із такого ґрунту може перебувати в рівновазі (не осипатися), коли кут укосу помітно більший за кут природного укосу. Такий є, наприклад, чорноземний ґрунт (рослинна земля).

§ 2. Рух (ковзання) і рівновага сипкого тіла на похилій площині.

Сипке тіло, вміщене на поземій площині, обсипається (фіг. 1), приираючи форми околичної поверхні з кутом φ природного укосу до позему, отже при обсипанні маси його відбувається



Фіг. 2.

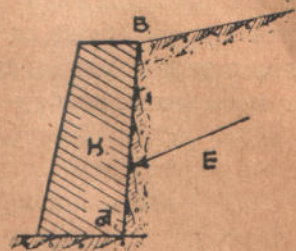
$T = G \cdot \sin \alpha$, що діє вдовж похилої площині. Сила $T = G \cdot \sin \alpha$ намагається перемістити частинку m униз по похилій площині; цьому переміщенню ставить опір сила тертя $R = f \cdot N = f \cdot G \cdot \cos \alpha$, що скерована в бік противний силі T . Якщо $T > R$, то частинка m буде посуватися вниз похилою площею; отже в цьому випадкові $G \cdot \sin \alpha > f \cdot G \cdot \cos \alpha$, себ-то $\operatorname{tg} \alpha > f$; а що сучинник тертя сипкого тіла $f = \operatorname{tg} \varphi$, де φ є кут тертя сипкого тіла, то $\operatorname{tg} \alpha > \operatorname{tg} \varphi$ або $\alpha > \varphi$; себ-то коли сипка маса насипана під кутом до позему більшим за кут тертя, то буде відбуватись обсипання сипкої маси. Якщо $T = R$, то частинка m буде в спокою, себ-то в такому стані, що тільки-тільки не

посувається вниз по похилій площині; цей стан частинки m є стан граничної рівноваги; у цьому випадкові $G \cdot \sin \alpha = f \cdot G \cdot \cos \alpha$ або $\tan \alpha = f = \tan \varphi$, себ-то $\alpha = \varphi$. Отже, коли сипка маса наси-паня під кутом до позему більшим за кут тертя, то вона буде обсипатися доти, доки околична поверхня, що її обмежує, не матиме нахилу до позему рівного куту тертя; цей кут відповідатиме кутові природного укосу (фіг. 1). Наприклад, маса землі, що насищана під кутом, більшим за кут природного укосу, не може сама по собі зберегти рівновагу і буде обсипатися; щоб удержати таку земляну масу від обсипання (сповзання), вживають різних перепон у формі так званих під-пірних стінок (фіг. 3) (die Stützmauer, le mur de soutènement); така підпірна стінка K відчуває з боку тієї земляної маси, що міститься позаду її заднього боку AB , певний тиск E ; цей тиск E є тиск землі на підпірну стінку; його й повинно взяти на увагу, розглядаючи умови стійкості й міцності стінки. Треба зауважити, що вираховуючи підпірні стінки, звичайно не беруть на увагу спійноти частинок земляної маси і вводять в обрахунок тільки тертя між частинками, гадаючи, що на засипку задньої сторони підпірної стінки піде цілком сухий, крихкий ґрунт.

В нижченаведеній таблиці ми даемо розміри кутів природного укосу для різних сипких тіл.

Таблиця I.

Назва сипкого тіла	Кут природного укосу φ^0	Сучинник тертя $f = \tan \varphi$	Вага одного кубічного метра в кілограмах
Глина суха	40	0,839	1600 (1550)
„ насищена водою	20	0,364	1900
„ природної вологості (злегла)	45	1,000	1600
Чорнозем сухий	40	0,839	1400
„ насищений водою	30	0,577	1800
„ природн. вологості (злеглий)	45	1,000	1600
Пісок або жорства сухі	30	0,577	1600
„ насищений водою	24	0,445	1800 (2000)
Дрібняк	35	0,700	1600
Жорства рубчаста	38	0,781	1800
„ кругляста	45	1,000	1800
Зерно	30	0,577	750

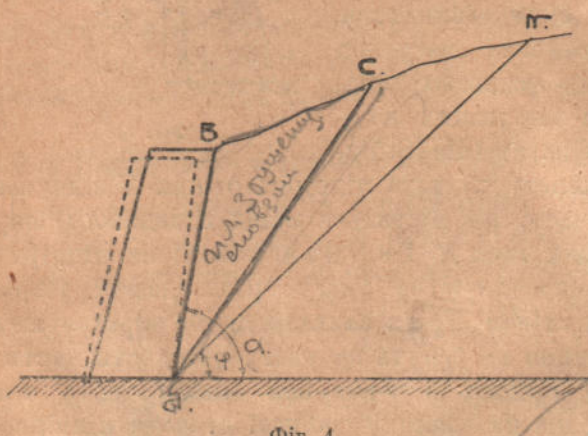


Фіг. 3.

1023
9 34

§ 3. Площа зрушення (ковзання); призма зрушення (ковзання).

Припустімо, що ми маємо підпірну стінку K (фіг. 4), що з її заднім боком AB межує земляний насип, обмежений зокола поверхнею BN ; беручи поверхню BN , як нормальну до площині рисунка, матимемо криву BN , що обмежує насип. Якщо підпірна стінка K в наслідок тиску землі, або нерівномірного осідання, відхиляється трохи (дуже мало) від свого початкового положення, прийнявши те положення, що позначене на фіг. 4 крапковою лінією, то та маса землі, що буде позад неї, намагатиметься сповзати вниз;



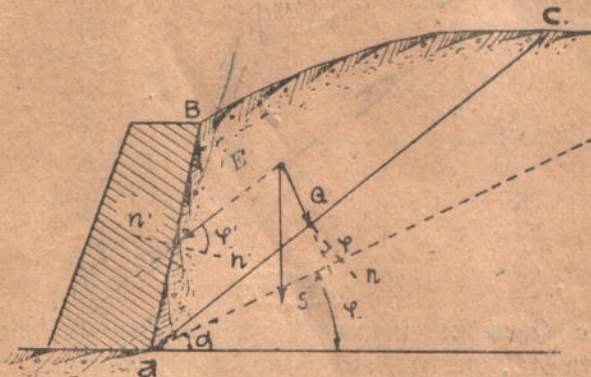
Фіг. 4.

це сповзання вниз відбуватиметься по якійсь площині AC (або лінії AC , в перетині з площею рисунка), що утворює з поземом кут α більший за кут φ природного укосу, як це було зазначено в попередньому §; через те, коли проведемо площину AN під кутом φ природного укосу до по-

зему, то площа AC , по якій відбуватиметься сповзання, проходить між заднім боком AB стінки й площею AN природного укосу. Таким чином, позаду підпірної стінки K відбуватиметься сповзання, або сковзання, або зрушення земляної маси в формі земляної призми ABC по площині AC . Ця площа AC , що по ній відбувається сповзання земляної призми ABC , звуться площею зрушення або сповзання (die Gleitfläche, surface de rupture); призма-ж ABC звуться призмою зрушення або сповзання (das Gleit- oder Rutschprisma, le prisme de plus grande poussée за Coulomb). Припущення, що зрушення земляної призми відбувається по площині AC , взагалі не досить обґрунтоване; це є тільки гіпотеза; але беручи на увагу, що справжній вигляд поверхні AC зрушення не цілком установлений, ми спинимося на гіпотезі площині зрушення (сповзання). Цю гіпотезу площині зрушення дав французький військовий інже-

нір Coulomb в своїму мемуарі „Essai sur une application des règles de maximis et minimis à quelques problèmes de statique relatifs à l'architecture“. Mémoires de mathématique et de physique présentés à l'Académie Royale des sciences par divers savants. T. VII, année 1773. Paris 1776. У цьому мемуарі Coulomb дослідив питання про визначення тиску землі на підпірну стінку. Надалі ми братимем за підвалину теорію Coulomb'a, яку розвинув французький інженер Poncelet, що вжив також і графічних метод, щоб точно визначити тиск землі на стінку.

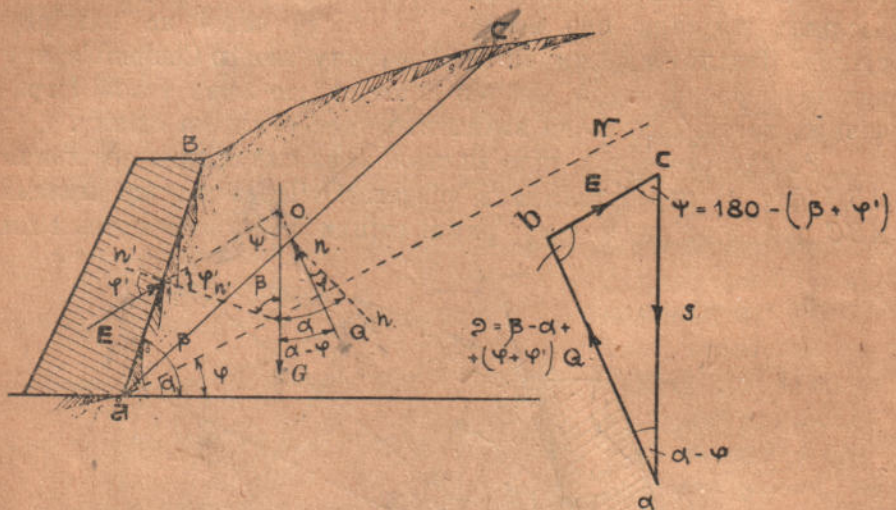
Розглянемо тепер, під впливом яких сил призма зрушення ABC (фіг. 4) перебуватиме в рівновазі. Через те, що призма ABC при безмірно-малому ухилені стінки намагається сповзати



Фіг. 5.

вниз, в площині AC сповзання та площині AB стінки виявиться тертя; при цьому в площині AC зрушення буде тертя землі об землю, а в площині AB стінки буде тертя землі об матеріал стінки. Тертя в обох площах AC та AB , звичайно, направлено вгору від A до C та B . Хоч ми розглядаємо призму ABC зрушення в такому стані, що вона тільки що не сповзає вниз, себ-то, що вона перебуває в стані граничної рівноваги (Grenzgleichgewicht, l'état limite d'équilibre), проте при цій тенденції сунути вниз ми можемо не звертати уваги на сили спійності в площах AC та AB , бо в той момент, коли призма ABC починає рухатись, спійности більш нема; тим-то ми беремо на увагу тільки тертя в площах AC та AB . Призма зрушення ABC через свою вагу G (фіг. 5) тисне на площині AB стінки на стінку з силою E (тиск землі на стінку) і на площині AC на ту масу землі, що лежить нижче, з силою Q ; через це стінка чинить

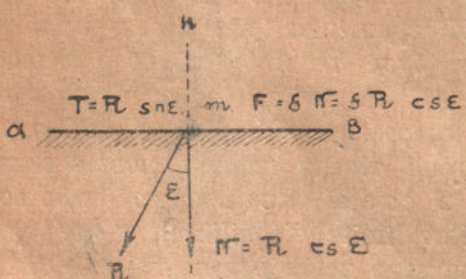
опір або реакцію E , що скерована в протилежний бік од тиску E землі (фіг. 6), а маса землі, що в нижче від площини AC , виявляє реакцію Q , скеровану в протилежний бік од тиску Q ; отже призма ABC перебуватиме в рівновазі під впливом трьох сил E , Q та G .



Фіг. 6.

Сили E та Q своїми нормальними складовими, відповідно до площ AB та AC , дають, звичайно, в цих площах сили тертя.

З'ясуємо тепер, як скеровані ці сили E та Q . Для цього розглянемо рівновагу на якійсь площині ab (фіг. 7) частинки m землі

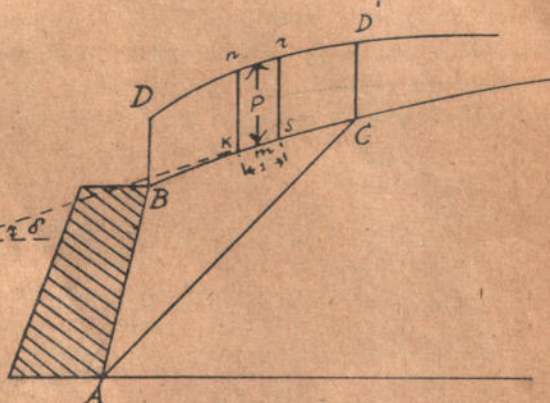


Фіг. 7.

або $R \cdot \sin \epsilon = f \cdot R \cdot \cos \epsilon$, звідки $\tan \epsilon = f = \tan \varphi$, себ-то $\epsilon = \varphi$. Отже частинка m буде в рівновазі на площині ab , якщо сила R , що діє на неї, утворює з нормальню до площині кут рівний кутові тертя φ . Через те і в призмі

під впливом сили R , скерованої під кутом ϵ до нормали nn площині ab . Сила R розкладається на дві складові: $T = R \cdot \sin \epsilon$ в площині ab , та $N = R \cdot \cos \epsilon$ нормальну до площині ab , причому складова N дас силу тертя $F = f \cdot N = f \cdot R \cdot \cos \epsilon$. Якщо частинка m перебуває в рівновазі, то $T = F$

зрушення ABC (фіг. 5) частинки землі не посуватимуться в площі AB , якщо сила E утворюватиме з нормаллю $n'n'$ до площині AB кут φ' тертя землі об матеріал стінки; так само і в площині AC зрушення частинки землі не посуватимуться, якщо сила Q утворює кут тертя φ землі об землю з нормаллю nn до площині AC . Отже, призма зрушення ABC перебуватиме в рівновазі, коли на неї діятиме сила ваги G (фіг. 6), реакції E (що її величина дорівнює тискові землі на стінку й противна напрямом) під кутом φ' тертя землі об стінку до нормали площині AB і реакції Q (противний тиск маси землі, що лежить нижче за площину AC зрушення) під кутом φ тертя землі об землю до нормали площині AC ; трикутник сил Q, E та G буде замкнений трикутник abc (фіг. 6). Кути φ' та φ будуть найбільші значіння кутів, що їх складають E та Q з нормальними $n'n'$ та nn до площин AB та AC , і в цьому випадкові призма ABC зрушення буде в стані граничної рівноваги, себ-то тільки що не посуватиметься вниз. З фіг. 6 видно, що в силовому трикутнику abc кут між силою Q та прямовісною силою G ваги дорівнює $\alpha - \varphi$, кут між тиском землі E та прямовісною силою G ваги дорівнює $\phi = 180^\circ - (\beta + \varphi')$ і кут між силою Q та тиском землі E дорівнює $\theta = 180^\circ - [\phi + (\alpha - \varphi)] = \beta - \alpha + (\varphi + \varphi')$. Якщо $T < F$ (фіг. 7), то $R.s_n < f.R.cs_\varepsilon$, себ-то $\varepsilon < \varphi$; в цьому випадкові точка m не переміщатиметься по площині ab і значить рівновага П напевно забезпечена.

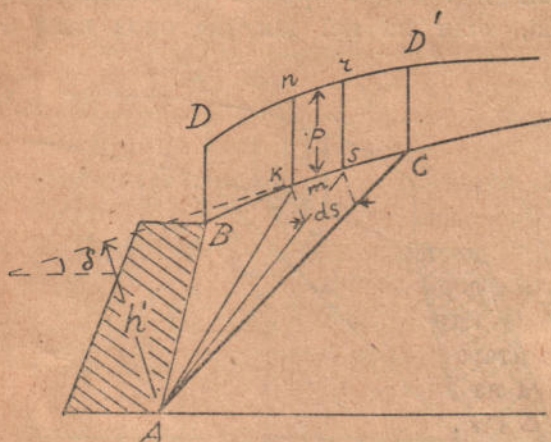


Фіг. 8.

На околичній поверхні землі BC (фіг. 8) звичайно буває розміщене якесь навантаження в формі розподіленої вантаги або скupчених вантаг (наприклад, тиск коліс од. возового складу).

§ 4. Навантаження околичної поверхні землі, що йде на засипку підпірної стінки.

Припустімо, що поверхня землі BC (фіг. 8) навантажена розподіленою вагою p на одиницю довжини лінії BC , причому закон зміни цієї вантаги являє собою крива DD' . Розглядаючи підпірну стінку, ми братимемо стінку завдовжки з одиницею (напр. 1 метр) в напрямові нормальному до площині рисунку.



Фіг. 9.

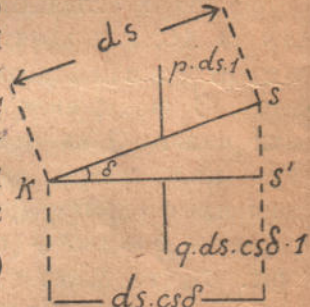
Коли в якійсь точці m поверхні BC землі виділимо довжину ks , що дорівнює одиниці, то вантага p в цій точці m буде являти собою тиск на похилу площинку розміром в одну квадратову одиницю (прямоугільник з основою $ks = 1$ і висотою, що дорівнює одиниці в напрямові, нормальному до площині рисунку); отже p є тиск

на одиницю площині в точці m , нахиленої під кутом δ до позему. Візьмімо тепер безмірно-малу довжину $ks = ds$ при точці m кривої BC (фіг. 9); тоді тиск на елементарну площинку $ds \cdot 1$ дорівнюватиме $p.ds \cdot 1$ (фіг. 10). Якщо візьмемо позему площинку ks' (фіг. 10), розмір якої дорівнює $ds \cdot 1 \cdot cs\delta$, де δ є кут нахилу до позему дотичної в точці m кривої BC або, через малість дуги ds , кут нахилу тятиви ks до горизонту, то на одиницю цієї поземої площинки буде прямовісний тиск

$$q = \frac{p.ds \cdot 1}{ds.cs\delta \cdot 1} = \frac{p}{cs\delta}. \quad (1)$$

Дану розподілену вантагу p на одиницю довжини поверхні BC землі можна також

замінити на вагу шару землі відповідної висоти й збудувати також криву вантаги. Якщо візьмемо в якійсь точці m поверхні BC землі (фіг. 8) позему площинку, що дорівнює одиниці (1.1 квадр. один.), то прямовісний тиск на неї буде $q \cdot 1 \cdot 1$; але з другого боку прямовісний тиск на цю площинку від ваги землі дорівнюватиме вазі земляного рівнобіжностінника з осново-



Фіг. 10.

вогу 1.1 квадр. один. (фіг. 11) і з якоюсь висотою h_r ; якщо вага одиниці об'єму землі є γ , то вага такого рівнобіжностінника буде $\gamma \cdot 1.1 \cdot h_r$. Отже, $q \cdot 1.1 = \gamma \cdot 1.1 \cdot h_r$, звідки

$$h_r = \frac{q}{\gamma} = \frac{p}{\gamma \cdot \cos \delta}. \quad (2)$$

Через те, що ми замінили дану розподілену вантажу p на відповідну вантажу земляного шару, себ-то звели вантажу p до землі, то висота h_r земляного шару звуться „зведені висота“ (die reducire Höhe, hauteur réduite); на фіг. 12 і показана крива RR' „зведеній до землі вантажі“. Якщо ми візьмемо елементарну призму Aks (фіг. 9) з основою в формі безмірно-малого $\triangle Aks$ та висотою, рівною одиниці

(в напрямові нормальном до площини рисунку), то вага цієї призми дорівнюватиме $\gamma \cdot \Delta Aks \cdot 1$; на площині $ds \cdot 1$ тисне на безмірно-малу призму Aks вантажа $p \cdot ds \cdot 1$, значить, прямовісна вантажа на елементарну призму Aks буде $dG = \gamma \cdot \Delta Aks \cdot 1 + p \cdot ds \cdot 1 =$

$$= \Delta Aks \cdot 1 \left(\gamma + \frac{p \cdot ds}{\Delta Aks} \right); \text{ але } \Delta Aks = \frac{1}{2} \cdot ds \cdot h'$$

(фіг. 9), а тому

$$dG = \Delta Aks \cdot 1 \left(\gamma + \frac{p \cdot ds}{\frac{1}{2} \cdot ds \cdot h'} \right) =$$

$$= \Delta Aks \cdot 1 \left(\gamma + \frac{2p}{h'} \right); \quad (3)$$

беручи $\gamma + \frac{2p}{h'} = \gamma'$, маємо, що

$$dG = \gamma' \cdot \Delta Aks \cdot 1. \quad (3')$$

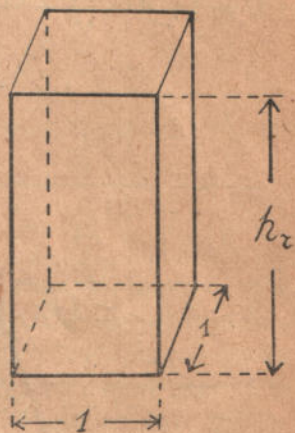
Звідси виходить, що прямовісна сила dG , яка діє на елементарну призму Aks , може бути представлена вагою цієї призми, якщо вага одиниці об'єму її дорівнює:

$$\gamma' = \gamma + \frac{2p}{h'}.$$

Позначаючи розмір поверхні елементарного трикутника Aks через dF , напишемо формулу (3') в такому вигляді:

$$dG = i \cdot dF \left(\gamma + \frac{2p}{h'} \right). \quad (3'')$$

При розподіленій вантажі p по довжині BC (фіг. 9) повна прямо-



Фіг. 11.

вісна сила, що діє на призму зрушення ABC , дорівнюватиме згідно з (3'')

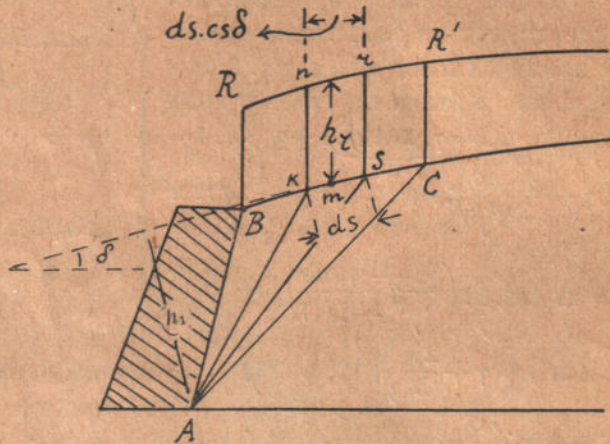
$$G = \int 1 \cdot dF \left(\gamma + \frac{2p}{h'} \right). \quad (4)$$

У випадкові „зведеній вантажі“ (фіг. 12), щоб отримати прямовісну силу, що діє на елементарну призму Aks , треба в виразі (3'') підставити значення p з (2) через h_r ; тоді

$$dG = \gamma \cdot dF \left(1 + \frac{2 \cdot h_r \cdot \operatorname{cs} \delta}{h'} \right) \cdot 1. \quad (5)$$

Повна-ж прямовісна сила, що діє на призму зрушення ABC при „зведеній вантажі“ (фіг. 12), буде

$$G = \int \gamma \cdot dF \left(1 + \frac{2h_r \cdot \operatorname{cs} \delta}{h'} \right) \cdot 1 = \gamma \left(\int dF + \int \frac{h_r \cdot \operatorname{cs} \delta}{\frac{1}{2} h'} \cdot \frac{ds}{ds} \cdot dF \right) \cdot 1;$$



Фіг. 12.

але $\frac{1}{2} h' \cdot ds = dF$ і $h_r \cdot \operatorname{cs} \delta \cdot ds$ є поверхня dF' елементарної площинки $knrs$ „зведеній вантажної поверхні“; через те

$$G = 1 \cdot \gamma \cdot (\int dF + \int dF') = \gamma \cdot (F + F') \cdot 1 = \gamma \cdot \text{пов. } ABRR'CA \cdot 1. \quad (6)$$

З виразу (6) виводимо, що прямовісна сила, яка діє на призму ABC зрушення при зведеній вантажі, дорівнює вазі земляної призми з основою $ABRR'CA$ та висотою, рівною одиниці (у напрямі нормальному до площині рисунку). Через те, що в (6) входить чинник 1, вагу земляної призми $ABRR'CA$ (фіг. 12) можна написати просто $G = \gamma \cdot \text{пов. } ABRR'CA$; отже, щоб мати прямовісну силу G , що діяла-б на призму ABC зрушення при зведеній вантажі, досить

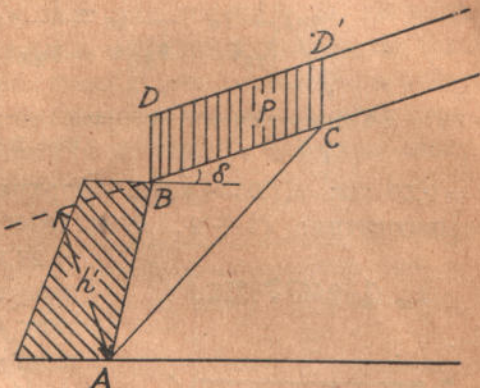
обчислити пов. контура $ABRR'CA$ й помножити її на вагу одиниці об'єму землі. Якщо зовнішній контур землі простолінійний (фіг. 13) і вантага p на одиницю довжини рівномірно-розподілена, то h' , δ та p постійні; через це, застосовуючи формулу (4), матимемо прямовісну силу, що діє на призму ABC зрушення в вигляді $G = \left(\gamma + \frac{2p}{h'}\right) \cdot 1 \cdot \int dF = \left(\gamma + \frac{2p}{h'}\right) \cdot \text{пов. } ABC \cdot 1 =$

$$= \left(\gamma + \frac{2p}{h'}\right) \cdot \text{пов. } ABC =$$

$= \gamma \cdot \text{пов. } ABC$. Якщо вантагу дано „зведену до землі вантагою“ (фіг. 14), то згідно з (6) прямовісна сила, що діє на призму ABC зрушення, буде

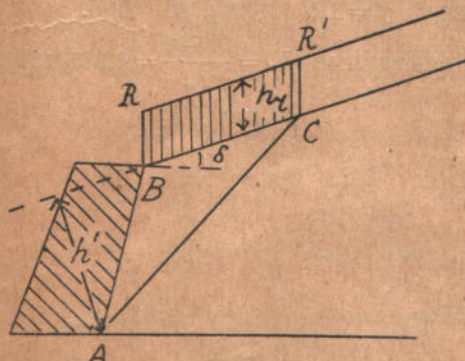
$$G = \gamma \cdot \text{пов. } ABRR'CA.$$

Крім розподіленої вантаги на околичній поверхні землі можуть бути також скупчені вантаги, наприкл., тиски, що передаються на осі вузового складу різних хур, котків і т. і. Така вантага звичайно зводиться до рівномірно-розподіленої. Візьмімо, напр. таку тимчасову вантагу скупченими



Фіг. 13.

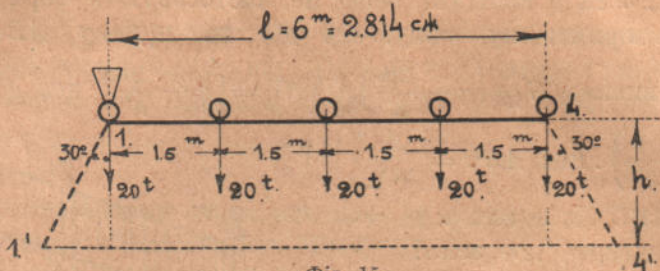
вантагами в формі тиску від паротягу за нормою 1907 р. (фіг. 15); тут ми припускаємо, що тиск од паротягу передається під кутом в 30° до вертикалі; так само ѹ тиск од злежня передається під кутом у 30° до вертикалі (фіг. 15 й 16); таким чином тиск од коліс паротягу передається в точки 1', 4' (фіг. 17) та 2', 3',



Фіг. 14.

а від злежня в точки 1'', 2'' та 4'', 3''; через це вся поверхня, на яку поширюється тиск, буде поверхня прямокутника bede. Боки цього прямокутника, згідно з фіг. 15 та 16, будуть $ed = 1'4' = (l + 2 \cdot h \cdot \operatorname{tg} 30^\circ)$ і $eb = 1''2'' = a + 2 \cdot h \cdot \operatorname{tg} 30^\circ$; отже поверхня, на яку передається тиск од паротягу, буде поверхня

$bcd e = ed \cdot eb = (l + 2 \cdot h \cdot \operatorname{tg} 30^\circ) \cdot (a + 2 \cdot h \cdot \operatorname{tg} 30^\circ)$. Через те що віддаль між крайніми осями паротягу $l = 6$ метр. (2,81 саж.) і довжина залежня $a = 2,667$ метр. (1,25 саж.), то при насипу, напр. висотою



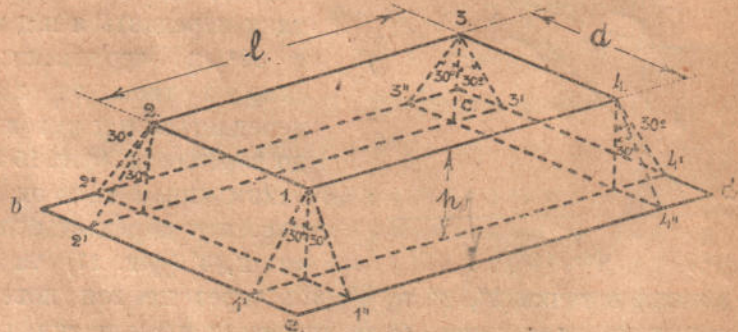
Фіг. 15.

$h = 0,50$ саж. = 1,0668 метр. поверхня передачі тиску від паротягу дорівнюватиме $(6 + 2 \cdot 1,0668 \cdot \operatorname{tg} 30^\circ) \cdot (2,667 + 2 \cdot 1,0668 \cdot \operatorname{tg} 30^\circ) = 28,18$ кв. метр. (6,19 кв. саж.); при повному тискові на п'ять осей паротягу в 100 тонн (6105 пуд.) прямо-вісний тиск на один кв. метр по земої площині, на яку поширюється

тиск, буде $q = \frac{100}{28,18} = 3,548$ тонн на кв. метр; отже висота зведені до землі вантажної площині при $\gamma = 1,5$ тонн на куб. метр (900 пуд. на куб. саж.) дорівнюватиме $h_r = \frac{3,548}{1,5} = 2,365$ метр.

Фіг. 16.

Фіг. 16.

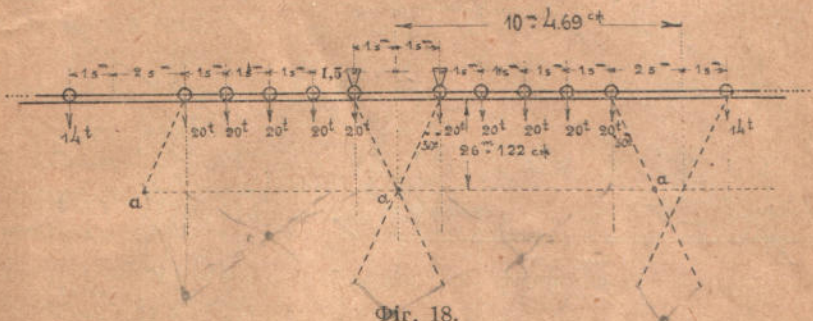


Фіг. 17.

(1,1 саж.); це є зведена висота від тимчасової вантаги паротягом. Повна ж зведенна висота при глибині насипу $h = 1,0668$ метр. (0,5 саж.)

та при товщині баласту на висоті злежня в 0,1067 метр. (0,05 саж.) дорівнюватиме $2,365 + 1,0668 + 0,1067 = 3,5385$ метрів (1,65 саж.).

Якщо ми розглянемо фіг. 18, то побачимо, що позема лінія поширення тиску від одного паротягу буде на глибині $h = 1,5 : \operatorname{tg} 30^\circ = 2,6$ метр. (1,22 саж.); ця лінія є лінією aa . Нижче за цю лінію вже передаються тиски тендерів та вагонів; таким чином обчисляти розмір зведеного вантаги від паротягу вище-зазначеним способом можна тільки для насипів до 2,6 метр. (до 1,22 саж.); при більших висотах насипів припускають, що вага паротягу в 100 тонн розподілена по всій довжині (базі) паротягу завдовжки 10 метр. (4,69 саж.), прямовісно, а через злежень передається під кутом в 30° до вертикали, так що поверхня тиску



Фіг. 18.

дорівнюватиме $10 \cdot (2,667 + 2 \cdot h \cdot \operatorname{tg} 30^\circ)$ кв. метр.; тоді зведена до землі висота від тимчасової вантаги паротягом дорівнюватиме

$$h_r = \frac{100}{10 \cdot (2,667 + 2 \cdot h \cdot \operatorname{tg} 30^\circ) \cdot \gamma} \text{ метр.},$$

де γ показано в тоннах на куб. метр. Напр., при висоті насипу $h = 7,51$ метр. (3,52 саж.) висота зведеного тимчасової вантаги паротягом буде

$$h_r = 0,699 \text{ метр. (0,27 саж.)}.$$

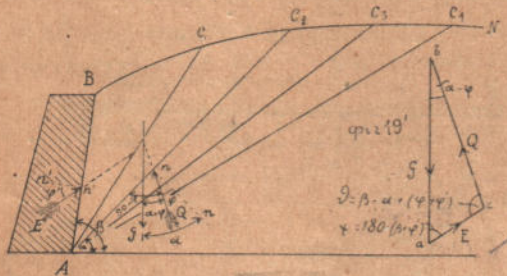
§ 5. Графічне визначення площи зрушення (ковзання) спробами при плоскій стінці і довільному околичному контурі землі. (Спосіб Кульмана та Pillet).

Припустімо, що ми маємо площу зрушення AC_2 (фіг. 19); тоді вага G призми ABC_2 зрушення урівноважується з силами E та Q (фіг. 19'), що утворюють з нормальними $n'n'$ та pp' до площин ковзання AB та AC_2 кути тертя φ' та φ ; ця призма ABC_2

перебуває в стані граничної рівноваги. З силового трикутника abc (фіг. 19') маемо, що $E:G = \sin(\alpha - \varphi) : \sin[\beta - \alpha + (\varphi + \varphi')]$; звідси тиск землі на стінку AB буде

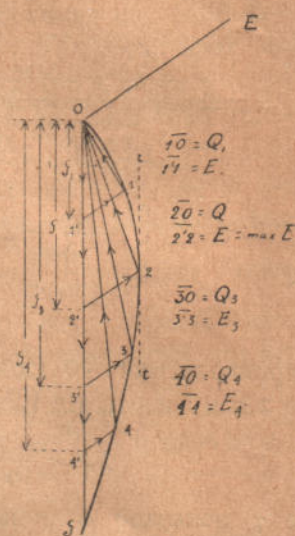
$$E = G \cdot \frac{(\sin \alpha - \varphi)}{\sin [\beta - \alpha + (\varphi + \varphi')]} \quad (7)$$

Через те, що кут ε , який утворюється силою Q з напрямом нормали до площині, на якій вона діє, дорівнюватиме кутові тертя φ тільки для площини зрушенні AC_2 , то для всяких інших площин AC_1, AC_3, AC_4 (фіг. 19), проведених через нижню точку A стінки, цей кут ε буде менший за кут φ . Всі ці призми ABC_1, ABC_3, ABC_4 , що в них відповідна сила Q утворює з



Фіг. 19.

нормалями до цих площин кут ε , менший за кут тертя φ , згідно з § 3 з перебувають безумовно в рівновазі (тільки не в граничній, коли $\varepsilon = \varphi$). Якщо ми тепер збудуємо силові многокутники для призм ABC_1, ABC_3, ABC_4 , то-що (фіг. 19''), то матимемо відповідні величини тисків землі $E_1 = 1'1, E_3 = 3'3, E_4 = 4'4$, то-що; з'єднавши кінці 1, 3, 4 та інших відрізків, що являють собою E_1, E_3, E_4 , то-що, матимемо якусь криву 0 1 3 4 ..., що являтииме собою закон відміни тиску землі E ; ця крива віднесена до координатних осів G та E , причому абсцисами будуть значення ваги G призм, а ординатами відповідні тиски E землі. На цю криву 0 1 3 4 ... вказав проф. Кульман, через що вона й зв'ється E -Кульмановою кривою. Коли дотична tt , яка є рівнобіжна з віссю G , дотикається до кривої 0 1 3 4 ..., в точці 2, то ордината $E = 2'2$ буде найбільша. Цьому max. E тиску землі відповідає напрям сили $Q = \overline{20}$; через те відповідну площину,

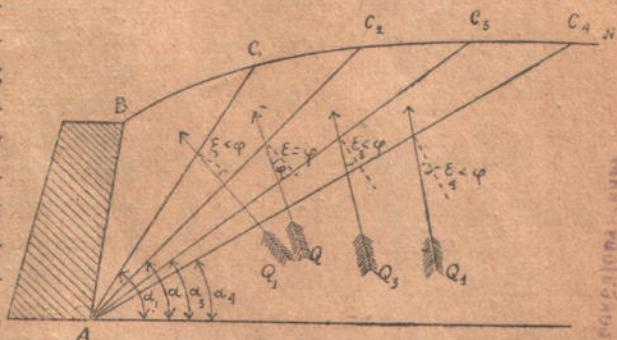


Фіг. 19''.

що проходитиме через точку A , на яку діє сила $Q = \overline{20}$, матимем, якщо проведемо просту AC_2 під кутом $90 - \varphi$ (фіг. 19) до напряму $\overline{20}$ сили Q . Ця площа AC_2 й буде справжня площа зрушения. Справді, якщо ми, зберегаючи постійне значення $E = 2'2 = \max. E$, збудуємо для призм ABC_1, ABC_3, ABC_4 , то-що, відповідні величини сил Q (фіг. 20'), то знайдемо, що сили Q (Q_1, Q_3, Q_4 , то-що) для цих площ AC_1, AC_3, AC_4 , то-що, утворюють з нормалями до них кути ε , менші за кут тертя φ ; отже тільки для однієї площині AC_2 кут $\varepsilon = \varphi$; це й є справжня площа зрушения. Цей спосіб графічно визначати положення площи зрушения за-значив крім Кульмана ще й Pillet; через те він має також назву способу Pillet. Отже, визна-чаючи за способом Кульмана-Pillet положення площи зрушения, знаходимо, що для площи зрушения, або, що те саме, для призми зрушения тиск землі E є maximum, себ-то $E = \max. E$; через те згідно з (7) при $\varepsilon = \varphi$ маємо, що

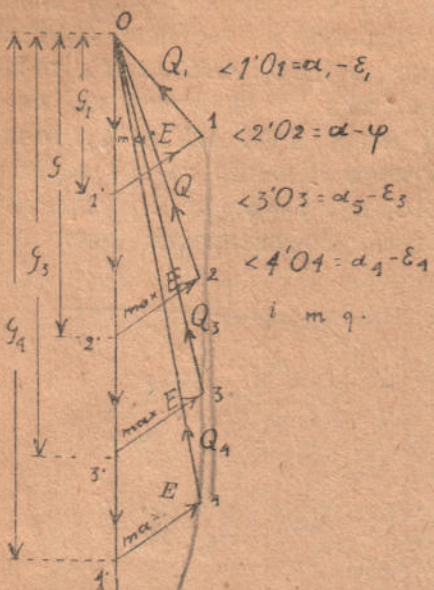
$$\max. E = G \cdot \frac{\operatorname{sn}(\alpha - \varphi)}{\operatorname{sn}[\beta - \alpha + (\varphi + \varphi')]} , \quad (8)$$

де кут α є кут площи зрушения з поземом. Що $\max. E$ бував тільки для площи зрушения AC_2 , бачимо з нижче наведених міркуваннів. Для всіх призм з площами AC_1 (фіг. 20) вага G_1 менша за вагу G призми ABC_2 зрушения й кут $\alpha_1 > \alpha$. З силових трикутників (фіг. 20') видко, що для всіх таких призм можна прикладти нерівність $\alpha_1 - \varepsilon_1 > \alpha - \varphi$; але через те, що $\alpha_1 > \alpha$, ця нерівність цілком збережеться, якщо $\varepsilon_1 < \varphi$. Для всіх призм з площами AC_3, AC_4 , то-що, значення ваги G_3, G_4 , то-що, більші за вагу G призми ABC_2 зрушения і кут $\alpha_3 < \alpha, \alpha_4 < \alpha$, то-що. З силових трикутників (фіг. 20') видко, що для цих призм мають місце нерівності $\alpha_3 - \varepsilon_3 < \alpha - \varphi, \alpha_4 - \varepsilon_4 < \alpha - \varphi$, то-що; але що $\alpha_3 < \alpha_1, \alpha_4 < \alpha$ й т. д., то ці нерівності цілком збережуться, якщо $\varepsilon_3 < \varphi, \varepsilon_4 < \varphi$, то-що. Отже для всіх площ AC_1, AC_3, AC_4 ,



Фіг. 20.

то-що, одмінних од площині AC_2 , відповідні сили Q утворюють з нормалями до площині їх діяння кути ε , менші за



Фіг. 20.

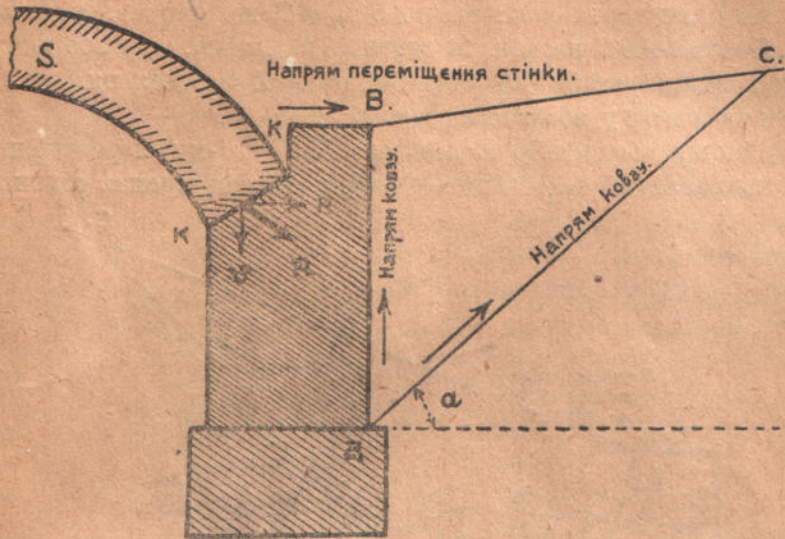
кут φ ; значить, площа AC_2 буде справжня площа зрушения, їй для неї кут сили Q з нормаллю до цієї площині дорівнює φ . Отже тільки для площини зрушения AC_2 (фіг. 20) буває max. E ; значить, призмі зрушения ABC_2 треба протиставити з боку стінки найбільший опір для того, щоб ця призма перебувала в стані граничної рівноваги. Тим-то сам Coulomb у своєму творі назав призму зрушения „призмою найбільшого тиску“ (le prisme de plus grande poussée); безперечно, Coulomb назав так цю призму за-для скорочення, бо по суті в теорії Coulomb'a мова йде не за при-

зму, яка найбільше тисне на стінку, а за призму, що вимагає для своєї рівноваги як-найбільшого опору з боку стінки.

§ 6. Розпір та відпір землі.

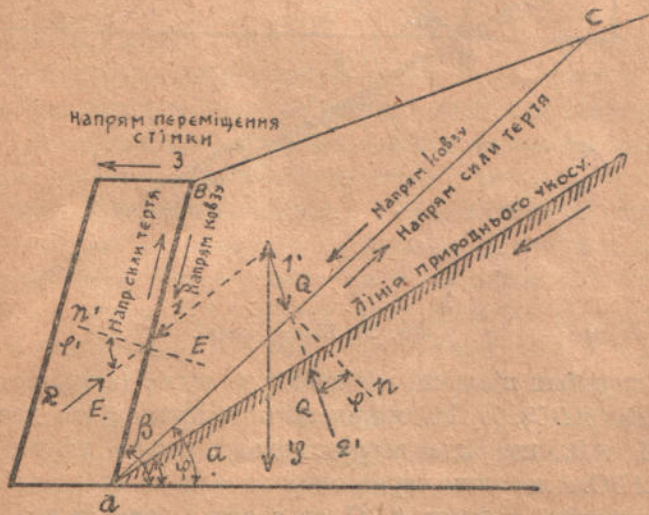
Через те, що земля, що міститься з заднього боку AB під-пірної стінки (фіг. 5), тисне на стінку похилою силою E , намагаючися зрушити її або звалити, то тиск землі E можна прирівняти до розпору в склепінні; тому тиск землі E на стінку зветься також розпором землі. Тиск E землі на призму ABC зрушения, яка намагається ковзатися униз, є тиск, що діє на стінку, тому він і зветься також активним тиском землі (activer Erddruck, poussé active, poussée des terres). Ці терміни: тиск землі на стінку (Erddruck, poussée des terres), розпір землі й активний тиск землі — рівнозначні. Але на під-пірну стінку AB крім тиску насипаної позад неї землі може бути також тиск зовні, напр. тиск R (фіг. 21), що передається від склепіння S через його п'яту kk . Під впливом такого тиску R

стінка AB може посунутись, хоч і дуже мало, вправо, як це зазначено стрілкою на фіг. 21; в наслідок цього маса землі



Фіг. 21.

позад стінки AB намагатиметься переміститися вгору, утворюючи призму ABC , що ковзається на площині AB стінки та по площині

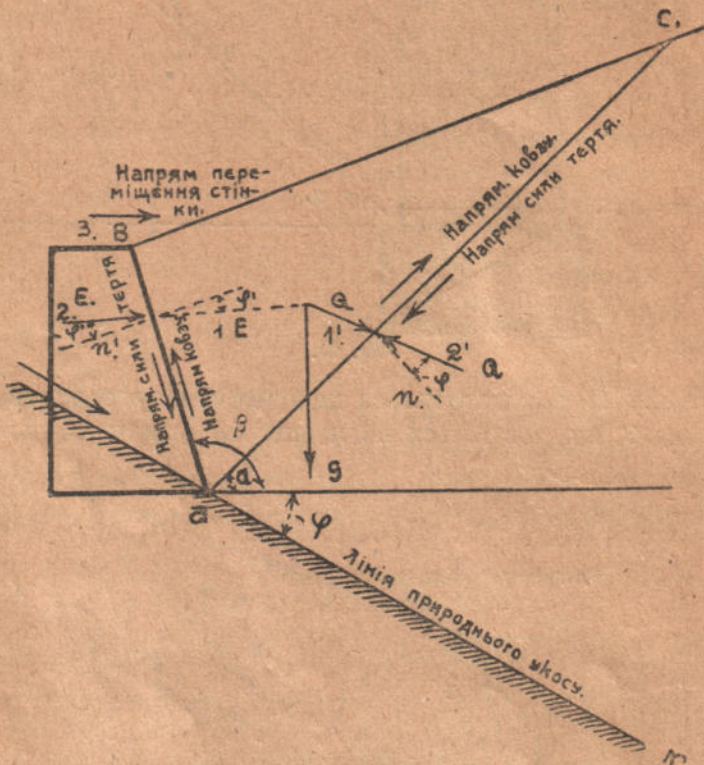


Фіг. 22. Розшір землі.

AC зрушения; сила тертя в площах AB та AC в цьому випадкові буде направлена згори додолу (фіг. 23), себ-то саме в про-

тилежний бік проти того, що бував при активному тискові на стінку (фіг. 22), де призма ABC зрушення, ковзаючись униз, викликає сили тертя в площах AB та AC , що направлені знизу вгору. Призма ABC на фіг. 23 ставить, звичайно, опір або відпір своєму ковзанню вгору (викиранню); тому її звуться ця призма призмою опору або відпору.

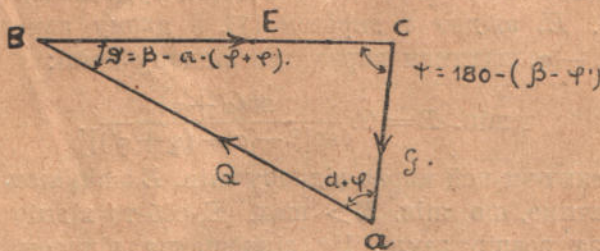
Цей опір або відпір E призми ABC своєму переміщенню вгору направлений за стрілкою 1 на фіг. 23; він мусить відхиля-



Фіг. 23. Відпір землі.

тися від нормали n' площи AB вниз на кут φ' (в граничній рівновазі призми ABC), бо тільки при такім напрямові він дає складову в площи AB , що йде згори додолу, себ-то проти ковзання призми ABC . Але, якщо через тиск зокола на стінку з'являється опір E земляної призми ABC , то зногоу відповідні E і направлена в противний бік, як це зазначено на фіг. 23 стрілкою 2. Ця сила E тиску стінки AB на призму ABC , що направлена

за стрілкою 2, є сила дійова; вона тисне на призму ABC , припираючи її до площині AC , що й собі робить на призму опору ABC протилеження або реакцію Q за стрілкою 2'; таким чином сила E , що йде за стрілкою 1, зрівноважується вагою G самої призми ABC й реакцією Q площині AC , себ-то призма ABC перебуває в рівновазі, коли на неї діють 3 сили: сила E за стрілкою 1, сила G ваги призми й реакція Q площині AC . На фіг. 23а зазначено замкнений силовий трикутник abc цих трьох сил. Реакція Q площині AC , що йде за стрілкою 2', мусить одхилятися від нормали n до площині AC вниз на кут φ (при граничній рівновазі призми ABC), бо тільки при такому її напрямові вона дає складову в площині AC , що направлена згори додолу,



Фіг. 23а.

себ-то проти ковзання призми ABC . Опір E призми відпору ABC своєму ковзанню вгору, направлений за стрілкою 1 (фіг. 23), буде пасивним діянням землі на стінку; тому цей опір E зветься пасивним тиском землі; він зветься також просто відпором землі (passiver Erddruck, pression passive або butée des terres). А тиск E стінки на призму ABC , що йде за стрілкою 2, рівний і противно-направлений до відпору E , що йде за стрілкою 1, відхилятиметься від нормали n' до площині AB вгору на кут φ . Таким чином, порівнюючи фіг. 22 й 23 розпору й відпору землі, ми бачимо, що при розпорі тиск землі E й реакція Q скеровані на відповідні нормальні n' та n до площин AB й AC під кутами φ' й φ , а при відпорі землі тиск E стінки на призму ABC й реакція Q скеровані до нормальнів n' та n під кутами $-\varphi'$ й $-\varphi$; отже в трикутникові сил abc (фіг. 23а) кути між Q, G та E будуть: $\angle(Q, G) = \alpha + \varphi$, $\angle(E, G) = \psi = 180^\circ - (\beta - \varphi')$ і $\angle(E, Q) = \beta - \alpha - (\varphi + \varphi')$. Через те всі висновки, що ми давали надалі для розпору, можна прикладти й до відпору землі, треба тільки замінити кути φ' й φ на $-\varphi'$ й $-\varphi$.

Тиск зовні на стінку (фіг. 21) можна уявити собі, як тиск певної важкої маси землі на площину AB , що лежить ліворуч од стінки й спускається похилою площею AN (фіг. 23) в напрямові до призми ABC відпору; отже кут, що його утворює площа AN природнього укосу з поземом, треба відкласти вниз од поземої лінії, себ-то він буде $-\varphi$; тимчасом, коли при розпорі землі (фіг. 22), де йде рух земляної маси справа наліво, кут лінії AN природнього укосу утворює з поземом кут $+\varphi$. Через те, що призма відпору, перебуваючи в граничній рівновазі (хиткий, себ-то тільки що не ковзается вгору), ставить найменший опір посуванню вгору проти всіх інших призм, у яких тиски Q утворюють з нормалями до відповідних площ AC (порівн. фіг. 20), кути ϵ менші за кут φ , то відпір E землі буде найменший, себ-то буде $\min. E$; згідно з виразом (7), в якому замінююмо φ' й φ на $-\varphi'$ й $-\varphi$, матимем вираз для відпору землі:

$$\min. E = G \cdot \frac{\sin(\alpha + \varphi)}{\sin[\beta - \alpha - (\varphi + \varphi')]} \quad (9)$$

Порівнюючи цей вираз відпору $\min. E$ з виразом (8) розпору $\max. E$, бачимо, що $\min. E > \max. E$, себ-то відпір землі буде більший за розпір землі. Це відношення відпору до розпору землі можна написати в такій формі:

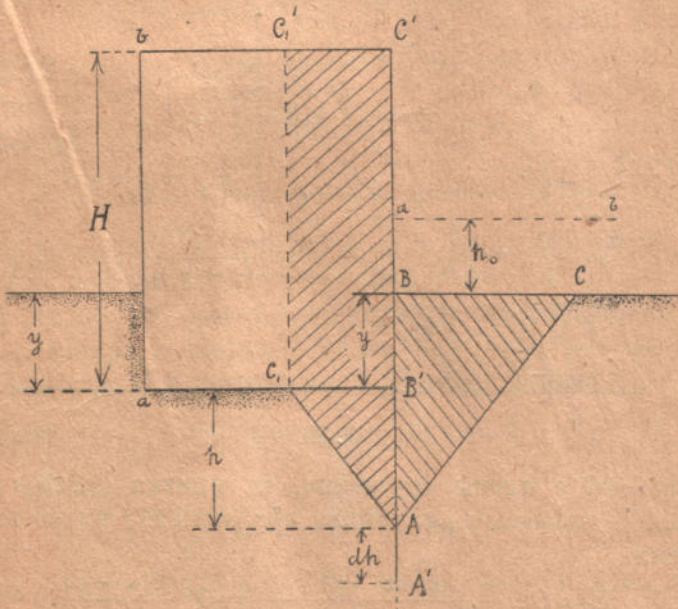
$$\frac{\min. E}{\max. E} = n, \quad (10)$$

де n є число більше за одиницю; у деяких випадках відпір землі переважає розпір землі в декілька разів.

Відпір землі не має особливого практичного значення в питанні про те, як запобігти боковим переміщенням підпір будови (напр. підпори AB склепіння на фіг. 21), бо раніше, як виявиться відпір землі, підпора будови (стінка AB на фіг. 21) матиме певне переміщення (на фіг. 21 в напрямові стрілки); а таке переміщення підпори будови може викликати небезпечні деформації для самої будови, напр. розколини в склепінні на фіг. 21; таким чином, раніше ніж виявиться корисна дія відпору, будова буде пошкоджена. Через те в таких випадках, як на фіг. 21, вираховують підпору склепіння (стінку AB), що підлягає силі тиску землі тільки з одного боку, себ-то розраховують тільки на розпір землі.

Але відпір землі має велике значення в тих випадках, де треба протидіяти осіданню земляних мас, що буває в наслідок сповзання

їх од навантаження вміщеної на них будови; такому сповзанню й чинить опір відпір землі. Це місце переважно в основах фундаментів і обумовлює глибину їх закладки. Припустімо, що на фіг. 24 прямокутник $A'B'C'D'$ являє собою стовп ґрунту заввишки H і замінює навантаження даної будови на основу $A'B'$ ґрунту; і нехай глибина закладки будови є $BB' = y$, при чому цю глибину беруть нижче за лінію ab , що вміщена на даній висоті h_0 (напр. нижче за лінію розмиву ґрунту при мо-

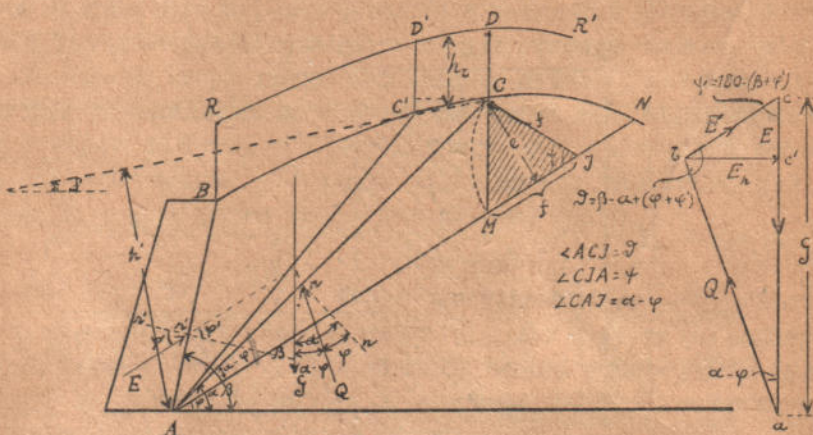


Фіг. 24.

стових та гідротехнічних спорудженнях). Якщо розмив у ґрунту не чекають, то $h_0 = 0$; у цьому випадкові глибина BB' закладки дорівнюватиме або буде більша за глибину промерзання ґрунту. Якщо площа зрушення для будови буде площа AC_1 , а AC — площа зрушення для ґрунту справа, то призма $AC_1 C' C A$ буде призмою зрушення, а призма ABC буде призмою відпору. Для того, щоб під тиском будови не відбувалося витиснення ґрунту по лінії AC , разом з осіданням ґрунту під сподом $A'B'$ основи будови, треба, щоб розпір землі таx. E для призми зрушення $AC_1 C' C A$ був менший за відпір землі таx. E для призми відпору ABC . Таким чином тут відпір землі виявляє своє корисне діяння.

✓ § 7. Плоска стінка й довільна (криволінійна) поверхня землі.
Положення площини зрушення. Величина тиску землі (роздір).

Припустімо, що нам дано плоску стінку AB (фіг. 25) й криволінійну поверхню BN землі; на цій поверхні розміщено розподілену вантажу, зведену до землі, вантажна лінія якої є крива RR' ; величина цієї зведеного вантажу в якійсь точці поверхні землі



Фіг. 25.

Фіг. 25'.

є h . Якщо AC є площа зрушення, то призма ABC є призма зрушення. З силового трикутника abc (фіг. 25') маемо величину тиску землі

$$E = G \cdot \frac{\operatorname{sn}(\alpha - \varphi)}{\operatorname{sn}[\beta - \alpha + (\varphi + \varphi')]} = G \cdot \frac{\operatorname{sn}(\alpha - \varphi)}{\operatorname{sn}\theta}.$$

Через те, що тиск землі E залежить од кута α і для призми зрушення він найбільший, то ми маемо умову, що $\frac{dE}{d\alpha} = 0$; отже ми дістаємо, що

$$G \cdot \frac{\operatorname{sn}\theta \cdot \operatorname{cs}(\alpha - \varphi) - \operatorname{sn}(\alpha - \varphi) \cdot \operatorname{cs}\theta \cdot \frac{d\theta}{d\alpha}}{\operatorname{sn}^2\theta} + \frac{\operatorname{sn}(\alpha - \varphi)}{\operatorname{sn}\theta} \cdot \frac{dG}{d\alpha} = 0$$

або

$$G \cdot \left[\operatorname{sn}\theta \cdot \operatorname{cs}(\alpha - \varphi) - \operatorname{sn}(\alpha - \varphi) \cdot \operatorname{cs}\theta \cdot \frac{d\theta}{d\alpha} \right] + \operatorname{sn}\theta \cdot \operatorname{sn}(\alpha - \varphi) \cdot \frac{dG}{d\alpha} = 0;$$

але $\theta = \beta - \alpha + (\varphi + \varphi')$, отже,

$$\frac{d\theta}{d\alpha} = -1,$$

$b = 45^\circ - \frac{\varphi}{2}$
 $\sin b = \sqrt{1 - \cos^2 b} = \sqrt{1 - \cos^2(45^\circ - \frac{\varphi}{2})}$

а тому

$$G \left[\operatorname{sn} \vartheta \cdot \operatorname{cs}(\alpha - \varphi) + \operatorname{sn}(\alpha - \varphi) \cdot \operatorname{cs} \vartheta \right] + \operatorname{sn} \vartheta \cdot \operatorname{sn}(\alpha - \varphi) \cdot \frac{dG}{d\alpha} = 0,$$

або

$$G \cdot \operatorname{sn}(\vartheta + \alpha - \varphi) + \operatorname{sn} \vartheta \cdot \operatorname{sn}(\alpha - \varphi) \cdot \frac{dG}{d\alpha} = 0;$$

але через те, що

$$\vartheta = 180^\circ - [\psi + (\alpha - \varphi)]$$

і значить

$$\vartheta + \alpha - \varphi = 180^\circ - \psi,$$

то

$$\operatorname{sn} \vartheta = \operatorname{sn}(\alpha - \varphi + \psi)$$

і

$$\operatorname{sn}(\vartheta + \alpha - \varphi) = \operatorname{sn} \psi;$$

тому дістаемо, що

$$G \cdot \operatorname{sn} \psi + \frac{dG}{d\alpha} \cdot \operatorname{sn}(\alpha - \varphi + \psi) \cdot \operatorname{sn}(\alpha - \varphi) = 0.$$

У цьому рівнянні величина dG є вага безконечно-малої призми $ACDD'C'A$, в якій безконечно-малий кут CAC' є $d\alpha$; інакше кажучи, площа AC' взята безконечно близько до площині AC зрушена. З фігури 25 видно, що вага G земляної призми $ACDRBA$ зменшується із збільшенням кута α нахилу площині AC до позему;

а тому похідна $\frac{dG}{d\alpha}$ буде величина від'ємна, її попереднє рівняння матиме вигляд:

$$G \cdot \operatorname{sn} \psi - \frac{dG}{d\alpha} \cdot \operatorname{sn}(\alpha - \varphi + \psi) \cdot \operatorname{sn}(\alpha - \varphi) = 0. \quad (11)$$

Згідно з формулою (5) § 4 вага dG елементарної призми $ACDD'C'A$ (вага елементарної земляної призми ACC' самого насипу її вага земляної елементарної призми $CDD'C'$ однозведені до землі розділеної вантажи) буде:

$$dG = \Delta ACC' \cdot \gamma \cdot \left(1 + \frac{2h_r \cdot \operatorname{cs} \delta}{h'} \right);$$

але через те, що поверхня $\Delta ACC' = \frac{1}{2} \cdot \overline{AC}^2 \cdot d\alpha$ (як поверхня безконечно малого сектора), то

$$dG = \frac{1}{2} \cdot \overline{AC}^2 \cdot d\alpha \cdot \gamma \cdot \left(1 + \frac{2h_r \cdot \operatorname{cs} \delta}{h'} \right),$$

звідки

$$\frac{dG}{d\alpha} = \frac{1}{2} \cdot \overline{AC}^2 \cdot \gamma \cdot \left(1 + \frac{2h_r \cdot \operatorname{cs} \delta}{h'} \right). \quad (12)$$

Проведімо тепер з точки C просту CJ під кутом $\phi = 180^\circ - (\beta + \varphi)$ до напряму AN природнього укосу; тоді матимемо $\triangle ACJ$, де $\angle CJA = \phi$, $\angle JAC = \alpha - \varphi$, і значить $\angle ACJ = 180^\circ - (\phi + \alpha - \varphi) = \beta - \alpha + (\varphi + \varphi') = \theta$; таким чином ми дістали $\triangle ACJ$ подібний до силового трикутника abc (фіг. 25'). Звичайно, мірило сили G в силовому трикутникові abc можна вибрати так, що $G = \overline{ac} = \overline{AJ}$; і тоді трикутник ACJ й силовий трикутник abc будуть рівні. Проста CJ звється базою або основою; хай довжина цієї бази буде f , а висота трикутника ACJ хай буде e . З трикутника ACJ маємо, що $AC = \overline{AJ} \cdot \frac{\sin \phi}{\sin \theta}$ і $AC = \frac{e}{\sin(\alpha - \varphi)}$. Ставлючи ці значення AC в (12), матимемо:

$$\begin{aligned} \frac{dG}{d\alpha} &= \frac{1}{2} \cdot \overline{AJ} \cdot \frac{\sin \phi}{\sin \theta} \cdot \frac{e}{\sin(\alpha - \varphi)} \cdot \gamma \cdot \left(1 + \frac{2 \cdot h_r \cdot \operatorname{cs} \delta}{h'} \right) = \\ &= \frac{1}{2} \cdot \overline{AJ} \cdot \frac{\sin \phi}{\sin[180^\circ - (\phi + \alpha - \varphi)]} \cdot \frac{e}{\sin(\alpha - \varphi)} \cdot \gamma \cdot \left(1 + \frac{2 \cdot h_r \cdot \operatorname{cs} \delta}{h'} \right) = \\ &= \frac{1}{2} \cdot \overline{AJ} \cdot \frac{\sin \phi}{\sin(\phi + \alpha - \varphi)} \cdot \frac{e}{\sin(\alpha - \varphi)} \cdot \gamma \cdot \left(1 + \frac{2 \cdot h_r \cdot \operatorname{cs} \delta}{h'} \right); \end{aligned}$$

ставлячи цей вираз $\frac{dG}{d\alpha}$ в рівняння (11), знайдемо:

$$G = \frac{1}{2} \cdot \overline{AJ} \cdot e \cdot \gamma \cdot \left(1 + \frac{2 \cdot h_r \cdot \operatorname{cs} \delta}{h'} \right). \quad (13)$$

Через те, що $\frac{1}{2} \overline{AJ} \cdot e$ є поверхня $\triangle ACJ$, вага G приами $ACDRBA$ буде

$$G = \triangle ACJ \cdot \gamma \cdot \left(1 + \frac{2 \cdot h_r \cdot \operatorname{cs} \delta}{h'} \right). \quad (14)$$

Якщо пов. основи $ACDRBA$ земляної призми є F , то вага $G = F \cdot 1 \cdot \gamma = F \cdot \gamma$; тут довжина 1 являє собою висоту земляної призми в напрямі нормальному до площини рисунку, себто одиницю довжини стінки. Ставлячи цей вираз ваги G у залежність (14), знаходимо, що

$$F = \triangle ACJ \cdot \left(1 + \frac{2 \cdot h_r \cdot \operatorname{cs} \delta}{h'} \right). \quad (14')$$

Ця залежність і становить нам геометричну ознаку того, що площа AC є справжня площа зрушенні (сковзання); отже, треба

підібрати положення площині AC так, щоб ця залежність (14') спрощувалася. Таким чином, ми повинні керуватися залежністю (14'), щоб визначити положення площині зрушения.

Якщо розподілена вантага дастється нам як вантага p на одиницю поверхні BN (фіг. 25) землі, то за § 4 „зведена до землі висота“ буде $h_r = \frac{p}{\gamma \cdot \text{csd}}$; отже залежність (14) матиме вигляд:

$$G = \Delta ACJ \cdot \left(\gamma + \frac{2 \cdot p}{h'} \right); \quad (15)$$

беручи $\gamma + \frac{2 \cdot p}{h'} = \gamma'$, цю залежність (15) можна написати в такій формі:

$$G = \gamma' \cdot \Delta ACJ. \quad (15')$$

Так само залежність (14') набере вигляду:

$$F = \Delta ACRBA \cdot \left(1 + \frac{2 \cdot p}{\gamma \cdot h'} \right). \quad (15'')$$

Якщо поверхня землі не буде навантажена, то $h_r = 0$; у цьому випадкові поверхня $ACDRBA$ заміниться на поверхню ACB основи призми зрушения, і вага G буде вагою призми ACB ; тоді з залежностів (14) та (14') знайдемо, що $G = \gamma \cdot \Delta ACJ \dots$ (16) і поверхня $\Delta ABC =$ пов. $\Delta ACJ \dots$ (17).

Із залежності (17) видно, що коли нема вантаги, то площа AC зрушения ділить нарівно поверхню, що обмежена лініями стінки, землі, бази й природного укосу. Цю тезу вивів французький інженер Poncet (Понслé). Згодом Ребган (Rebhann) довів це для довільного обрису заднього боку стінки (у формі ламаної лінії) та для довільної поверхні землі; через це висловлене положення також має називу 1-ої теореми Ребгана-Понслé.

Коли вантаги нема, то $p = 0$; тоді з (15) та (15'') матимемо ті самі формули (16) та (17).

З силового трикутника abc (фіг. 25') маемо

$$E = G \frac{\sin(\alpha - \varphi)}{\sin \theta};$$

але з трикутника ACJ маемо, що

$$\frac{\sin(\alpha - \varphi)}{\sin \theta} = \frac{CJ}{AJ} = \frac{f}{AJ};$$

ззначить

$$E = G \cdot \frac{f}{AJ};$$

підставляючи в цей вираз E величину G з (14), матимем

$$E = \Delta ACJ \cdot \gamma \left(1 + \frac{2h_r \cdot \text{cs} \delta}{h'} \right) \cdot \frac{f}{AJ};$$

але поверхня $\Delta ACJ = \frac{1}{2} \cdot AJ \cdot e$, отже

$$E = \frac{1}{2} \cdot f \cdot e \cdot \gamma \left(1 + \frac{2 \cdot h_r \cdot \text{cs} \delta}{h'} \right). \quad (18)$$

Цей вираз (18) і являє собою величину тиску землі на стінку, якщо ця стінка плоска, а поверхня землі криволінійна й навантажена розподіленою вантагою.

Відкладімо від точки J (фіг. 25) на лінії AJ відтинок $JM = CJ = f$ і з'єднаймо точку M з точкою C ; тоді матимем ΔCJM з основою $JM = f$ і висотою e ; через те, що поверхня цього трикутника $CJM = \frac{1}{2} \cdot f \cdot e$, тиск землі на стінку, згідно з (18), можна записати так:

$$E = \Delta CJM \cdot \gamma \left(1 + \frac{2 \cdot h_r \cdot \text{cs} \delta}{h'} \right). \quad (19)$$

З цього виразу бачимо, що тиск землі на стінку пропорціональний вазі трикутної земляної призми з основою в формі трикутника CJM , або, що те саме, пропорціональний поверхні трикутника CJM ; щоб дістати цей тиск E землі на стінку, треба поверхню трикутника CJM помножити на $\gamma \left(1 + \frac{2 \cdot h_r \cdot \text{cs} \delta}{h'} \right)$; тому цей трикутник CJM , як міра тиску землі на стінку, звуться трикутником тиску. За § 4 величина $\gamma \left(1 + \frac{2 \cdot h_r \cdot \text{cs} \delta}{h'} \right) = \gamma + \frac{2 \cdot p}{h'} = \gamma'$, тому тиск землі на стінку за (18) та (19) можна написати в такому вигляді:

$$E = \frac{1}{2} \cdot f \cdot e \left(\gamma + \frac{2 \cdot p}{h'} \right) \dots \quad (20) \quad \text{та} \quad E = \Delta CJM \left(\gamma + \frac{2 \cdot p}{h'} \right) \quad (20')$$

або

$$E = \frac{1}{2} \cdot f \cdot e \cdot \gamma' \dots \quad (21) \quad \text{та} \quad E = \gamma' \cdot \Delta CJM. \quad (21')$$

Якщо поверхня землі не навантажена, то $h_r = 0$ й $p = 0$;
значить, тиск землі буде:

$$E = \frac{1}{2} \cdot f \cdot e \cdot \gamma \quad (22)$$

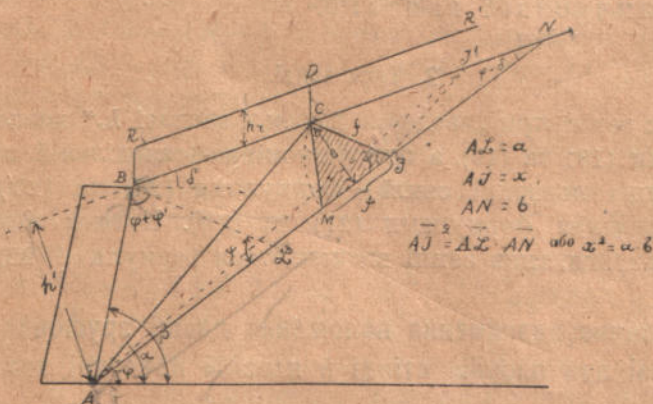
або

$$E = \gamma \cdot \Delta CJM. \quad (23).$$

§ 8. Плоска стінка й плоска поверхня землі (фіг. 26).

1. Положення площини зрушення.

У даному випадкові кут δ й довжина h' нормали з точки A в напрям BN є величини постійні. Поверхня земляної призми $ABRDOA$ дорівнює:



Фір. 26.

$$F = \triangle ABC + h_r \cdot \overline{BC} \cdot \text{cs} \delta = \triangle ABC \left(1 + \frac{h_r \cdot \overline{BC} \cdot \text{cs} \delta}{\triangle ABC} \right);$$

або

$$\triangle ABC = \frac{1}{2} \cdot \overline{BC} \cdot h',$$

з тогу

$$F = \triangle ABC \cdot \left(1 + \frac{2 \cdot h_r \cdot \text{cs} \delta}{h'} \right);$$

або, згідно з (14'), ця поверхня $F = \triangle ACJ \cdot \left(1 + \frac{2 h_r \cdot \text{cs} \delta}{h'} \right)$,

$$\triangle ABC \cdot \left(1 + \frac{2 \cdot h_r \cdot \text{cs} \delta}{h'} \right) = \triangle ACJ \cdot \left(1 + \frac{2 \cdot h_r \cdot \text{cs} \delta}{h'} \right); \quad (24)$$

звідси ми матимемо, що

$$\triangle ABC = \triangle ACJ. \quad (25)$$

Ця залежність теж являє собою 1-шу теорему Понслé-Ребгана для плоскої стінки й плоскої поверхні землі; вона дає нам геометричну ознаку того, що площа AC є справжня площа зрушення; отже треба підібрати положення площині AC так, щоб ця формула справджувалась.

Якщо поверхня землі не навантажена, то $h_r = 0$, і з рівності (24) ми знову матимем, що $\triangle ABC = \triangle ACJ$. Через те, що рівність поверхнів $\triangle ABC$ й $\triangle ACJ$ матиме місце і тоді коли є, і коли нема вантаги (при h_r і при $h_r = 0$, себ-то при всякій величині вантаги), то робимо ми звідси висновок, що при плоскій стінці й плоскій поверхні землі положення площині AC зрушення не залежить од величини тимчасової вантаги.

2. Тиск землі.

Тиск землі при „зведеній до землі вантажі h_r “ визначається формулами (18) та (19), а при рівномірно-розподіленій вантажі r на одиницю поверхні землі — формулами (20) та (20'); або ж в обох випадках формулами (21) та (21'). Коли ж немає тимчасової вантаги, тиск землі визначається формулами (22) та (23).

§ 9. Графічне визначення положення площині зрушення й тиску землі при плоскій стінці й плоскій поверхні землі.

Виведімо ще одну геометричну залежність, що служить для збудування положення площині зрушення. Проведімо з точки B (фіг. 26) просту BL , рівнобіжну з базою CJ до перетину її в точці L з лінією AN природнього укосу; ця приста BL , як видно з фіг. 26, утворюватиме з напрямом AB стінки кут $\angle ABL = 180^\circ - [\phi + (\beta - \varphi)] = 180^\circ - [180^\circ - (\beta + \varphi') + (\beta - \varphi)] = = \beta + \varphi' - \beta + \varphi = \varphi + \varphi'$. З фіг. 26 видно, що, визначивши положення точки J на присті AN природнього укосу, ми визнаємо й положення точки C , а значить і площині AC зрушення: треба тільки з точки J провести присту JC , рівнобіжну з пристою BL , що утворює кут $\varphi + \varphi'$ з стінкою AB . Таким чином, положення площині AC зрушення визначається по присті BL ; тому ця приста BL має назву напрямної або орієнтовної лінії (die Stellungslinie, directrice). Проведімо тепер з точки J присту JJ' рівнобіжну з AC до перетину її в точці J' з лінією BN землі; тоді матимемо подібні трикутники ACN та

$JJ'N$ і подібні трикутники BNL та CNJ . З'єднавши точку A з J' , матимемо трикутника ACJ' . Через те, що $JJ' \parallel AC$, то трикутники ACJ' й ACJ при спільній основі AC мають рівні висоти; значить поверхня $\triangle ACJ$ дорівнює поверхні $\triangle ACJ'$; але за 1-ою теоремою Понсле-Ребгана $\triangle ABC = \triangle ACJ$ (див. формулу (25)), а тому $\triangle ABC = \triangle ACJ'$; ці два рівні один одному трикутники ABC та ACJ' , маючи спільну висоту h' (фіг. 26), мають також рівні основи BC та CJ' , себ-то $BC = CJ'$. З подібності трикутників ACN та $JJ'N$ ми маємо залежність $CJ':CN = AJ:AN$ або через те, що $BC = CJ'$, залежність $BC:CN = AJ:AN \dots$ (a); з подібних трикутників BNL та CNJ маємо залежність $BC:CN = LJ:JN \dots$ (b). З цих залежностів (a) та (b) матимемо, що $AJ:AN = LJ:JN \dots$ (c), але з фіг. 26 видно, що $LJ = AJ - AL$ і $JN = AN - AJ$, через це залежність (c) матиме вигляд $AJ:AN = (AJ - AL):(AN - AJ)$, або $AJ \cdot AN - AJ^2 = AJ \cdot AN - AL \cdot AN$, звідки

$$AJ^2 = AL \cdot AN. \quad (26)$$

Ця залежність показує, що відтинок AJ , відтятий базою CJ на лінії AN природнього укосу, в середні пропорціональна між відтинком AN лінії природнього укосу й відтинком AL , що його відрізав орієнтаційна лінія BL на лінії AN природнього укосу. Цю тезу дав теж Понслé (Poncelet), але, зважаючи на дальші праці Ребгана, вона має також називу 2-ої торееми Ребгана. Якщо взяти $AL = a$, $AJ = x$ та $AN = b$, то залежність (26) ми напишемо так:

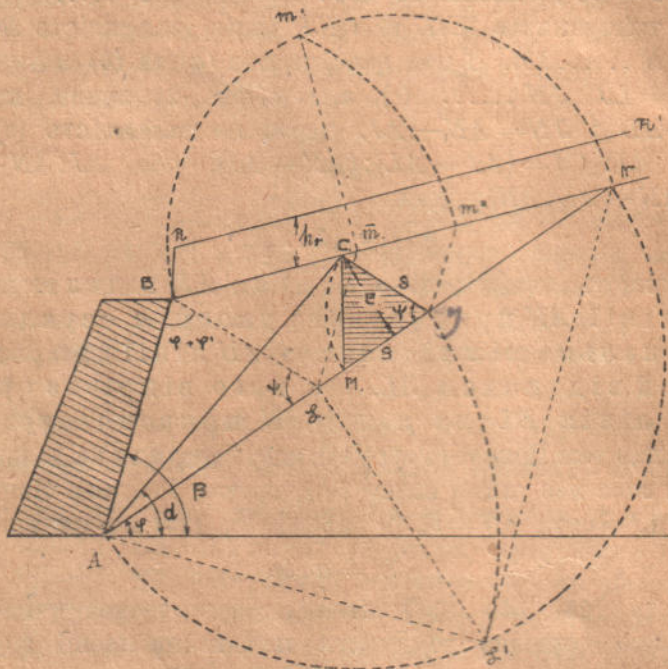
$$x^2 = a \cdot b. \quad (26')$$

Залежність (26) або (26') являє собою геометричне відношення, яке дозволяє збудувати положення площини зрушення. Положення площини зрушення AC (фіг. 26) визначиться, якщо визначити положення точки J або точки C . Визначити положення точки J , себ-то визначити середню пропорціональну величину AJ можна різними засобами; на фіг. 27, 28 й 29 вказані різні будування для визначення положення точки J , а на фіг. 30 дано будування для визначення точки C .

1. На лінії AN природнього укосу (фіг. 27), як на поперечнікові, будуємо півколо; в точці L орієнтаційної лінії BL стаммо до AN нормальню до перетину її в точці L' з півколом; з'єднавши точку L' з точками A та N , матимемо прямокутний трикутник $AL'N$, з якого маємо залежність $AL'^2 = AL \cdot AN$.

Порівнюючи цю залежність із (26), знаходимо, що $AL' = AJ$; через це, щоб збудувати положення точки J , затинаємо з осередку A на лінії AN відтинок $AJ = AL'$; далі з J проводимо присту JC рівнобіжну до напрямної BL до перетину з лінією BN землі в точці C ; тоді площа AC буде площею зрушения. На цей спосіб збудування положення площи зрушения вказав Понслé (Poncelet), хоч деякі автори приписують його Ребганові.

2. Півколо описують на BN (фіг. 27) як на поперечникі; з кінця L напрямної BL проводять присту $Lm \parallel AB$ до перетину



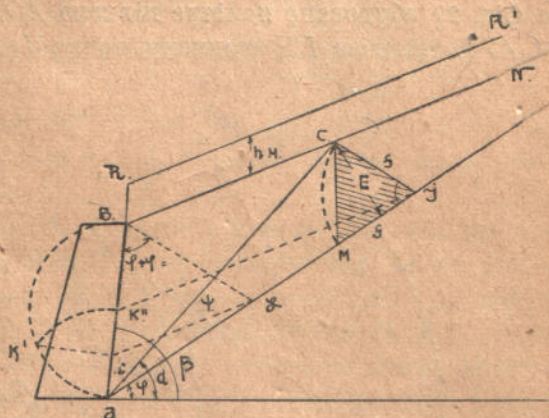
Фіг. 27.

Її в точці m з BN ; в точці m проводять нормальню до BN до перетину її в точці m' з півколом; далі з осередку B затинають дугою кола луча Bm' відтинок $Bm'' = Bm'$ на пристій BN , і з точки m'' проводять присту $m''J \parallel AB$ до перетину її в точці J з лінією AN природнього укосу. Коли проведемо з J присту $JC \parallel BL$ до перетину її з BN в точці C , матимемо площа AC зрушения.

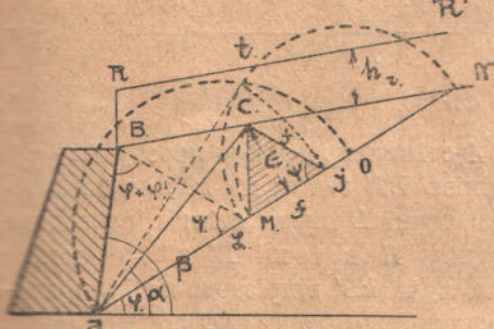
Довід. З півколо на BN маємо $\widehat{Bm'^2} = Bm \cdot BN$ або за рівністю $Bm' = Bm''$, маємо $Bm : Bm'' = Bm'' : BN \dots \dots (a)$; через те, що

прості AB , Lm та Jm'' одна з одною рівнобіжні, то $Bm : Bm'' = AL : AJ \dots (b)$; з подібності трикутників BNA та $m''NJ$ маємо $Bm'' : BN = AJ : AN \dots (c)$. З залежностей (a), (b) та (c) знаходимо, що $AL : AJ = AJ : AN$, або $\overline{AJ}^2 = AL \cdot AN$, себ-то приходимо до залежності (26).

3. Якщо точка N перетину лінії землі з лінією природнього укосу виходить за межі рисунку (фіг. 28), себ-то якщо не можна збудувати півколо на AN ні на BN , то півколо будують на лінії AB стінки; далі з точки L основи направної BL проводять просту $Lk \parallel BN$ до перетину її з AB в точці k ; в точці k ставлять нормальню до AB до перетину її в точці k' з півколом; далі з точки A із осередку затишають дугою луча Ak' відтинок $Ak'' = Ak'$ і з k'' проводять просту $k''J \parallel BN$ до перетину її в точці J з лінією AN природнього укосу; коли тепер провести з J просту $JC \parallel BL$ до перетину її в точці C з BN , матимемо площину AC зрушення.



Фіг. 28.

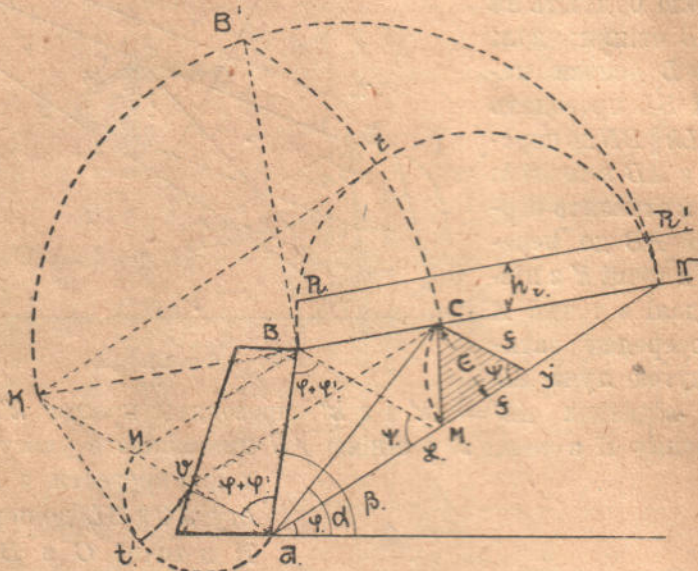


Фіг. 29.

Довід. З півколо на AB ми маємо залежність: $\overline{Ak}^2 = Ak \cdot AB$, або $\overline{Ak''}^2 = Ak \cdot AB$, звідки $Ak : Ak'' = Ak'' : AB \dots (a)$. З подібних трикутників kAL та $k''AJ$ маємо, що $Ak'' : AB = AJ : AN \dots (b)$, а з подібних трикутників $k''AL$ та BAN маємо $Ak'' : AB = AJ : AN \dots (c)$; із залежностей (a), (b) та (c) знаходимо, що $AL : AJ = AJ : AN$, себ-то $\overline{AJ}^2 = AL \cdot AN$; отже нашу ми приходимо до залежності (26).

4. На фіг. 29 будуємо півколо на LN , як на поперечникові, і з точки A (спід стінки) проводимо до цього півколо дотичну At ; далі з точки A , як з осередку, дугою луча At затинаємо на AN відтинок $AJ = At$. Отже, точка J , а значить, і точка C визначені.

Довід. Із властивості дотичної At їй січної AN маемо, що $At^2 = AL \cdot AN$; порівнюючи цю залежність з (26), бачимо, що $At = AJ$. На фіг. 29 збудоване помічне півколо AO для збудування дотичної At до півколо LN , причому точка O є осередок півколо LN .



Фіг. 30.

5. На фіг. 30 через спід A стінки проводимо присту $AK \parallel BL$ до перетину II в точці k з лінією BN землі; на kN , як на поперечникові, будуємо півколо; в точці B верху стінки проводимо до BN нормалю BB' до перетину II в точці B' з півколом, а з точки k , як з осередку, дугою луча kB' відрізаємо на kN відтинок $kC = kB'$; тоді точка C визначить площину AC зрушення.

Довід. Для півколо маемо залежність $kB^2 = kB \cdot kN$, або $kC^2 = kB \cdot kN$, звідки $kB : kC = kB : kN \dots (a)$. Прості KA , BL та CJ рівнобіжні, а тому $kB : kC = AL : AJ \dots (b)$; з подібних трикутників kNA та CNJ маемо $kC : kN = AJ : AN \dots (c)$. З цих залежностів (a), (b) та (c) знаходимо, що $AL : AJ = AJ : AN$ або $AJ^2 = AL \cdot AN$, себ-то ми знову маемо залежність (26).

6. На фіг. 30 будуємо півколо на BN , як на поперечниківі, а з точки k перетину лінії BN землі з пристою Ak рівнобіжною до BL проводимо дотичну kt ; далі з точки k , як з осередку, другою луною kt відрізаємо на простій kN відтинок $kC = kt$, і таким чином визначаємо положення точки C , а значить і площини AC зрушення.

Довід. Із властивості дотичної та січної маємо $\bar{kt}^2 = kB \cdot kN$, або $\bar{kC}^2 = kB \cdot kN$, звідки $kB : kC = kC : kN \dots (a)$. Прості kA , BL та CJ рівнобіжні, тому маємо, що $kB : kC = AL : AJ \dots (b)$; з подібних трикутників kNA та CNJ маємо, що $kC : kN = AJ : AN \dots (c)$. Звідно з цими трьома залежностями (a) , (b) та (c) маємо, що $AL : AJ = AJ : AN$, або $\bar{AJ}^2 = AL \cdot AN$, себто знову маємо залежність (26) .

7. На фіг. 30 з точки B проводимо присту $Bu \parallel AN$ до перетину її в точці u з пристою kA ; на довжині uA , як на поперечниківі, будуємо півколо й з точки k проводимо до нього дотичну kt' ; потім з точки k , як із осередку, луною kt' відрізаємо на простій kA відтинок $kv = kt'$, а з точки v проводимо присту $vC \parallel AN$ до перетину її в точці C з BN . Отже положення площини AC зрушення є визначене.

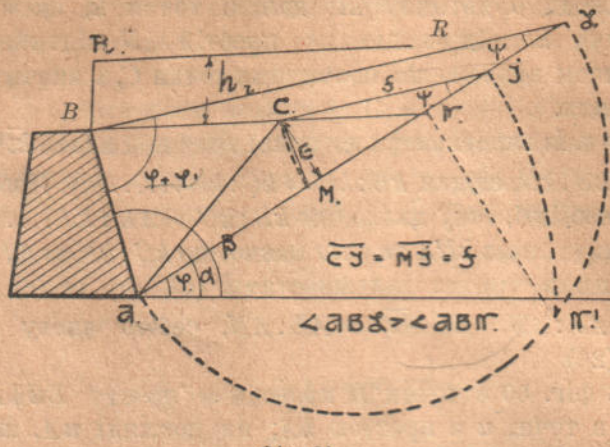
Довід. Із властивості дотичної та січної маємо $\bar{kt}^2 = ku \cdot kA$, або $\bar{kv}^2 = ku \cdot kA$, звідки $ku : kv = kv : kA \dots (a)$; з подібних трикутників vkC та ukB маємо, що $ku : kv = uB : vC$, або вважаючи їх рівністю відтинків $uB = AL$, а $vC = AJ$, маємо: $ku : kv = AL : AJ \dots (b)$; з подібних трикутників kAN та vkC маємо $ku : kv = kA : vC$ або $kv : kA = AJ : AN \dots (c)$. Із залежностей (a) , (b) та (c) знаходимо, що $AL : AJ = AJ : AN$, або $\bar{AJ}^2 = AL \cdot AN$, себто ми маємо знову доведену вище залежність (26) . Зазначене збудування для визначення положення площини AC зрушення називається Понсле (Poncelet).

Окремі випадки.

1. *Бут ABL , що його утворює орієнтаційна лінія BL з стінкою AB , більший за кут ABN , що його утворює лінія землі з стінкою $(\angle ABL > \angle ABN)$ (фіг. 31).*

У цьому випадкові півколо будують на AL , як на поперечниківі, а в точці N проводять до AN нормальню NN' до перетину BN з півколом у точці N' ; далі на AN відкладають відтинок

$AJ = AN$ і одержують точку J ; коли проведемо з J приступу $JC \parallel BL$, то визначимо точку C , а значить і площа AC зрушения. Дійсно,

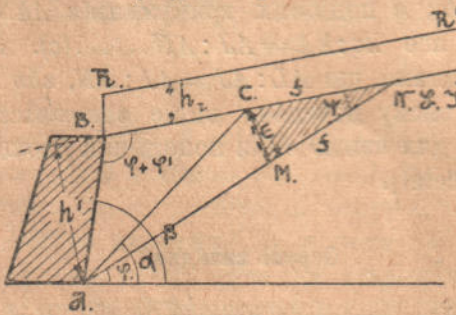


Фіг. 31.

з півколо ми маємо, що $\overline{AN}^2 = AL \cdot AN$, або $\overline{AJ}^2 = AL \cdot AN$, себ-то знову маємо залежність (26). Трикутник тиску буде $\triangle CJM$.

2. Кут ABL , що його утворює орієнтаційна лінія BL з стінкою AB , дорівнює кутові ABN , що його утворює лінія землі з стінкою ($\angle ABL = \angle ABN$) (фіг. 32).

У цьому випадкові точки N , L та J збігаються. А що $\triangle ABC = \triangle ACJ$ (див. залежність (25)), то при тій самій їх висоті h' основи

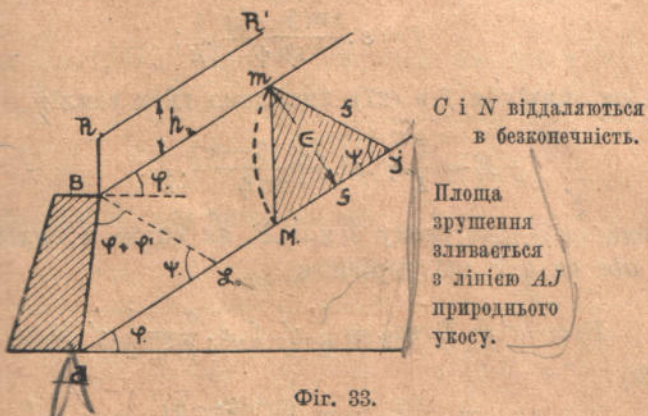


Фіг. 32.

їхні BC та CJ рівні, себ-то $BC = CJ$; отже, щоб отримати точку C , проводимо лінію AN природнього укусу до перетину її в точці N з лінією землі й ділимо довжину BN на дві рівні частини; середина BN і буде точка C . Зважаючи на злиття точок N, L та J , ми маємо, що $CJ = CN = CL = f$. Трикутник тиску є $\triangle CJM$.

3. Ділянка землі рівнобіжна з лінією природного укосу (фіг. 33).

У цьому випадкові точка N перетину лінії землі та лінії природного укосу й точка C площи зрушення віддаляються від безкоєнечності; площа зрушення зливається з лінією природного



Фіг. 33.

укосу. Трикутника тиску tJM будують для довільної точки m , що відстань tJ рівний f зберегає свою довжину як постійну між рівнобіжними прямими BN землі та AN природнього укосу.

§ 10. Аналітичне визначення тиску землі й положення площи зрушення (фіг. 26).

Згідно з виразом (21) § 7 тиск землі $E = \frac{1}{2} \cdot f \cdot e \cdot \gamma'$; але $e = f \cdot \sin \phi$ (фіг. 26), а через це

$$E = \frac{1}{2} \cdot f^2 \cdot \sin \phi \cdot \gamma'. \quad (27)$$

Із подібних трикутників BNL та CNJ маємо, що $f : BL = JN : LN$, або $f : BL = (b - x) : (b - a)$, звідки $f = \overline{BL} \cdot (b - x) : (b - a) = \overline{BL} \cdot (b - \sqrt{a \cdot b}) : (b - a) = \overline{BL} \cdot \left(1 - \sqrt{\frac{a}{b}}\right) : \left(1 - \frac{a}{b}\right) = \overline{BL} \cdot \left(1 - \sqrt{\frac{a}{b}}\right) : \left[1 - \left(\sqrt{\frac{a}{b}}\right)^2\right] = \overline{BL} \cdot \left(1 - \sqrt{\frac{a}{b}}\right) : \left(1 - \sqrt{\frac{a}{b}}\right) \left(1 + \sqrt{\frac{a}{b}}\right) = \overline{BL} : \left(1 + \sqrt{\frac{a}{b}}\right)$;

беручи $k = 1 + \sqrt{\frac{a}{b}}$, ми маємо $f = \frac{\overline{BL}}{k}$; але з $\triangle BLA$ маємо

$$\overline{BL} = s \cdot \frac{\operatorname{sn}(\beta - \varphi)}{\operatorname{sn} \psi},$$

отже

$$f = s \cdot \frac{\operatorname{sn}(\beta - \varphi)}{\operatorname{sn} \psi} \cdot \frac{1}{k}; \quad (28)$$

ставлячи це значення f в (27), знайдемо тиск землі:

$$E = \frac{1}{2} \cdot \gamma' \cdot s^2 \cdot \frac{\operatorname{sn}^2(\beta - \varphi)}{\operatorname{sn} \psi} \cdot \frac{1}{k^2}. \quad (29)$$

Позема складова тиску землі E , як видно з силового трикутника abc на фіг. 25', дорівнює

$$E_h = \overline{bc'} = E \cdot \operatorname{sn} \psi = \frac{1}{2} \cdot \gamma' \cdot f \cdot e \cdot \frac{e}{f} = \frac{1}{2} \cdot \gamma' \cdot e^2 \quad (30)$$

або за (29)

$$E_h = \frac{1}{2} \cdot \gamma' \cdot s^2 \cdot \frac{\operatorname{sn}^2(\beta - \varphi)}{k^2}. \quad (30')$$

З того-ж силового трикутника abc на фіг. 25' одержимо прямо-вісну складову тиску землі:

$$E_r = \overline{c'c} = E_h \cdot \operatorname{ctg} \psi = \frac{1}{2} \cdot \gamma' \cdot s^2 \cdot \frac{\operatorname{sn}^2(\beta - \varphi)}{k^2} \cdot \operatorname{ctg} \psi. \quad (31)$$

Так само з фіг 25' можна визначити реакцію на площині AC :

$$Q = E \frac{\operatorname{sn} \psi}{\operatorname{sn}(\alpha - \varphi)}$$

або

$$Q = \frac{1}{2} \cdot \gamma' \cdot s^2 \cdot \frac{\operatorname{sn}^2(\beta - \varphi)}{\operatorname{sn}(\alpha - \varphi)}; \quad (32)$$

але з трикутника ACJ (фіг. 26)

$$\frac{\operatorname{sn} \psi}{\operatorname{sn}(\alpha - \varphi)} = \frac{AC}{CJ} = \frac{AC}{f},$$

отже

$$Q = E \frac{\operatorname{sn} \psi}{\operatorname{sn}(\alpha - \varphi)} = E \frac{AC}{f}.$$

Вважаючи, що $AC = L$, матимем, що

$$Q = \frac{1}{2} \cdot f \cdot e \cdot \gamma' \cdot \frac{L}{f} = \frac{1}{2} \cdot \gamma' \cdot e \cdot L. \quad (33)$$

в $\triangle ABL$ та ABN маємо, що

$$AL = a = s \cdot \frac{\operatorname{sn}(\varphi + \varphi')}{\operatorname{sn} \psi} \quad (34)$$

$$AN = b = s \frac{\operatorname{sn}(180^\circ - \beta + \delta)}{\operatorname{sn}(\varphi - \delta)} = s \cdot \frac{\operatorname{sn}(\beta - \delta)}{\operatorname{sn}(\varphi - \delta)}, \quad (35)$$

звідки $\frac{a}{b} = \frac{\operatorname{sn}(\varphi + \varphi') \cdot \operatorname{sn}(\varphi - \delta)}{\operatorname{sn}(\beta - \delta) \cdot \operatorname{sn} \psi}$; що $k = 1 + \sqrt{\frac{a}{b}}$, значить

$$k = 1 + \sqrt{\frac{\operatorname{sn}(\varphi + \varphi') \cdot \operatorname{sn}(\varphi - \delta)}{\operatorname{sn}(\beta - \delta) \cdot \operatorname{sn} \psi}}. \quad (36)$$

Визначімо тепер для скорочення:

$$m = \frac{\operatorname{sn}(\beta - \varphi)}{k}; \quad (36a)$$

тоді згідно з (29) та (30') тиск землі буде:

$$E = \frac{1}{2} \cdot \gamma' \cdot s^2 \cdot m^2 \frac{1}{\operatorname{sn} \psi} \quad (37)$$

І позема складова земляного тиску

$$E_h = \frac{1}{2} \cdot \gamma' \cdot s^2 \cdot m^2. \quad (38)$$

Положення площині AC зрушения (фіг. 26) можна визначити відповідно BC точки C од вершини B стінки. З подібних $\triangle \triangle BNL$ та CNJ маємо, що

$$\begin{aligned} BC &= CN \cdot \frac{LJ}{JN} = CN \frac{x-a}{b-x} = CN \frac{\sqrt{a \cdot b} - a}{b - \sqrt{a \cdot b}} = \\ &= CN \frac{\sqrt{\frac{a}{b}} - \frac{a}{b}}{1 - \sqrt{\frac{a}{b}}} = CN \frac{\sqrt{\frac{a}{b}} \left(1 - \sqrt{\frac{a}{b}} \right)}{\left(1 - \sqrt{\frac{a}{b}} \right)} = CN \sqrt{\frac{a}{b}}; \end{aligned}$$

що $k = 1 + \sqrt{\frac{a}{b}}$, то $\sqrt{\frac{a}{b}} = k - 1$, а тому $BC = CN \cdot (k - 1)$;

в $\triangle CNJ$ маємо, що

$$CN = CJ \cdot \frac{\operatorname{sn}(180^\circ - \phi)}{\operatorname{sn}(\varphi - \delta)} = f \cdot \frac{\operatorname{sn} \phi}{\operatorname{sn}(\varphi - \delta)}$$

або згідно з (28)

$$CN = s \cdot \frac{\operatorname{sn}(\beta - \varphi)}{\operatorname{sn}(\varphi - \delta)} \cdot \frac{1}{k};$$

отже

$$BC = s \cdot \frac{\operatorname{sn}(\beta - \varphi)}{\operatorname{sn}(\varphi - \delta)} \cdot \frac{k-1}{k},$$

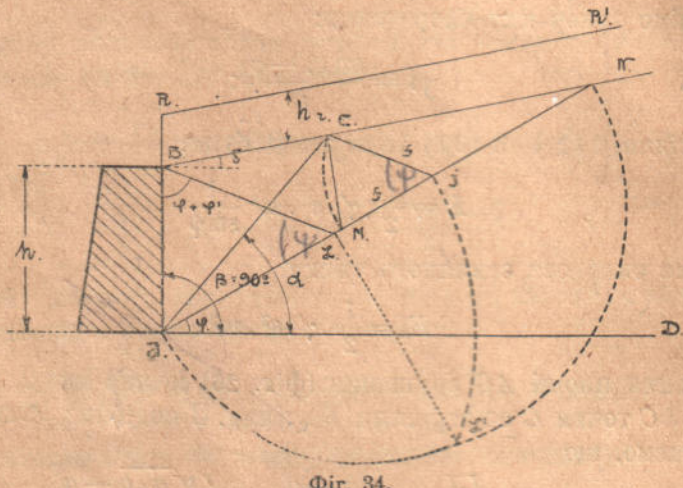
або згідно з (37)

$$BC = s \cdot m \cdot \frac{k-1}{\operatorname{sn}(\varphi - \delta)}. \quad (39)$$

Окремі випадки.

1. Прямоїсна стінка й похила лінія землі (фіг. 34).

У даному випадкові $\beta = 90^\circ = \angle BAD$, $s = h$; отже $\phi = 180^\circ - (\beta + \varphi') = 180^\circ - (90 + \varphi') = 90^\circ - \varphi'$; а тому $\operatorname{sn} \phi = \operatorname{sn} (90^\circ - \varphi') =$



Фіг. 34.

$= \operatorname{cs} \varphi'$, $\operatorname{sn}(\beta - \delta) = \operatorname{sn}(90^\circ - \delta) = \operatorname{cs} \delta$, і $\operatorname{sn}(\beta - \varphi) = \operatorname{cs} \varphi$; тоді згідно з (36) та (37) маємо

$$k = 1 + \sqrt{\frac{\operatorname{sn}(\varphi + \varphi') \cdot \operatorname{sn}(\varphi - \delta)}{\operatorname{cs} \delta \cdot \operatorname{cs} \varphi'}} \quad (40)$$

і

$$m = \frac{\operatorname{cs} \varphi}{k}. \quad (41)$$

Згідно з (29), (30') та (39) маємо:

$$E = \frac{1}{2} \cdot \gamma' \cdot h^2 \cdot \frac{\operatorname{cs}^2 \varphi}{k^2} \cdot \frac{1}{\operatorname{cs} \varphi'}, \quad (42)$$

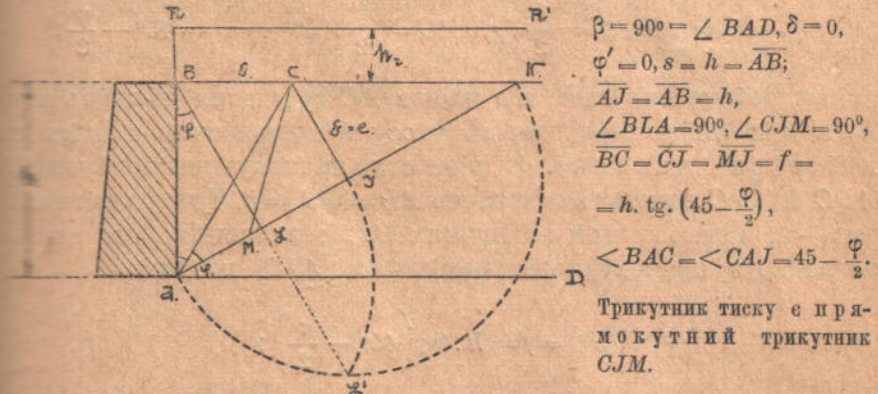
$$E_h = \frac{1}{2} \cdot \gamma' \cdot h^2 \cdot \frac{\operatorname{cs}^2 \varphi}{k^2}, \quad (43)$$

і

$$\overline{BC} = h \cdot \frac{\operatorname{cs} \varphi}{\operatorname{sn}(\varphi - \delta)} \cdot \frac{k-1}{k}. \quad (44)$$

2. Прямоісна рівна стінка й позема лінія землі (фіг. 35).

В даному разі $\varphi' = 0$, отже орієнтаційна лінія BL утворює прямоісною стінкою AB кут $ABL = \varphi$, а через те орієнтаційна лінія BL нормальна до лінії AN природнього укосу, себ-то $\triangle BLA$ прямокутний трикутник з прямим кутом у точці L . Якщо будувати площу зрушення, то за Poncelet орієнтаційна лінія BL та нормаля LL' до AN лінії природнього укосу зливаються



Фіг. 35.

з одній прости BL' ; приста JC , рівнобіжна до BL , буде нормальнію AN лінії природнього укосу, отже трикутник AJC буде прямоокутний при вершині J . Для даного випадку ми маємо: $s = h$, $\beta = 90^\circ$, $\varphi' = 0$ і $\delta = 0$; отже $\operatorname{sn}(\varphi + \varphi') = \operatorname{sn}\varphi$, $\operatorname{sn}(\varphi - \delta) = \operatorname{sn}\varphi$, $\operatorname{sn}(\beta - \varphi) = \operatorname{cs}\varphi$, $\psi = 180^\circ - (\beta + \varphi') = 90^\circ$ і $\operatorname{sn}\varphi = 1$; тому

$$k = 1 + \operatorname{sn}\varphi (45) \text{ і } m = \frac{\operatorname{cs}\varphi}{k} = \frac{\operatorname{cs}\varphi}{1 + \operatorname{sn}\varphi} \quad (46),$$

$$E = E_h = \frac{1}{2} \cdot \gamma' \cdot h^2 \cdot \frac{\operatorname{cs}^2 \varphi}{(1 + \operatorname{sn}\varphi)^2} = \frac{1}{2} \cdot \gamma' \cdot h^2 \cdot \operatorname{tg}^2\left(45^\circ - \frac{\varphi}{2}\right). \quad (47)^*$$

$$\begin{aligned} \frac{\operatorname{es}^2 \varphi}{(1 + \operatorname{sn}\varphi)^2} &= \frac{1 - \operatorname{sn}^2 \varphi}{(1 + \operatorname{sn}\varphi)^2} = \frac{(1 + \operatorname{sn}\varphi) \cdot (1 - \operatorname{sn}\varphi)}{(1 + \operatorname{sn}\varphi) \cdot (1 + \operatorname{sn}\varphi)} = \frac{1 - \operatorname{sn}\varphi}{1 + \operatorname{sn}\varphi} = \\ &= \frac{\operatorname{es}^2 \frac{\varphi}{2} + \operatorname{sn}^2 \frac{\varphi}{2} - 2 \cdot \operatorname{sn} \frac{\varphi}{2} \cdot \operatorname{es} \frac{\varphi}{2}}{\left(\operatorname{es} \frac{\varphi}{2} + \operatorname{sn} \frac{\varphi}{2}\right)^2} = \frac{\left(\operatorname{es} \frac{\varphi}{2} - \operatorname{sn} \frac{\varphi}{2}\right)^2}{\left(\operatorname{es} \frac{\varphi}{2} + \operatorname{sn} \frac{\varphi}{2}\right)^2} = \left(\frac{\operatorname{es} \frac{\varphi}{2} - \operatorname{sn} \frac{\varphi}{2}}{\operatorname{es} \frac{\varphi}{2} + \operatorname{sn} \frac{\varphi}{2}}\right)^2 = \\ &= \frac{\left(\frac{1 - \operatorname{tg} \frac{\varphi}{2}}{1 + \operatorname{tg} \frac{\varphi}{2}}\right)^2}{\left(\frac{1 + \operatorname{tg} \frac{\varphi}{2}}{1 + 1 \cdot \operatorname{tg} \frac{\varphi}{2}}\right)^2} = \left(\frac{\operatorname{tg} 45^\circ - \operatorname{tg} \frac{\varphi}{2}}{1 + \operatorname{tg} 45^\circ \cdot \operatorname{tg} \frac{\varphi}{2}}\right)^2 = \operatorname{tg}^2\left(45^\circ - \frac{\varphi}{2}\right). \end{aligned}$$

$$\overline{BC} = h \cdot \frac{\operatorname{cs} \varphi}{1 + \operatorname{sn} \varphi} = h \cdot \operatorname{tg} \left(45^\circ - \frac{\varphi}{2} \right). \quad (48)$$

Тут тиск землі E на прямовісну стінку направлений поземо, бо кут цього тиску з нормаллю до стінки, себ-то з вертикаллю, дорівнює нулеві ($\varphi' = 0$). Через те, що прямокутні трикутники ABC й AJC , маючи спільну гіпотенузу AC , за першою теоремою Понслé-Ребгана мають рівні поверхні, то

$$\angle JAC = \angle BAC = \frac{1}{2} \cdot \angle JAC = \frac{1}{2} \cdot (90^\circ - \varphi) = 45^\circ - \frac{\varphi}{2};$$

звідси робимо висновок, що площа AC зрушення ділить кут BAN між лінією природного укосу й прямовісною стінкою на дві рівні частини. З рівності прямокутних трикутників ABC й AJC виходить також, що $AB = AJ = h$. Трикутник тиску тут — це прямокутний трикутник CJM ; величина його катета, як видно з прямокутного трикутника AJC , дорівнює

$$JC = f = h \cdot \operatorname{tg} \left(45^\circ - \frac{\varphi}{2} \right);$$

а тому тиск землі E ми можемо одержати безпосередньо з поверхні трикутника тиску, а саме

$$E = \frac{1}{2} \cdot \gamma' \cdot f \cdot e = \frac{1}{2} \cdot \gamma' \cdot f^2 = \frac{1}{2} \cdot \gamma' \cdot h^2 \cdot \operatorname{tg}^2 \left(45^\circ - \frac{\varphi}{2} \right);$$

так само з фіг. 35 матимем

$$\overline{BC} = AB \cdot \operatorname{tg} \left(45^\circ - \frac{\varphi}{2} \right) = h \cdot \operatorname{tg} \left(45^\circ - \frac{\varphi}{2} \right).$$

Через те що $\gamma' = \gamma \left(1 + \frac{2 \cdot h_r \cdot \operatorname{cs} \delta}{h'} \right)$, ми маємо в даному разі при $\delta = 0$ та $h' = h$, що $\gamma' = \gamma \left(1 + \frac{2 \cdot h_r}{h} \right)$; отже, згідно з (47) тиск землі можна написати в такій формі:

$$E = E_h = \frac{1}{2} \gamma \cdot h^2 \cdot \operatorname{tg}^2 \left(45^\circ - \frac{\varphi}{2} \right) \cdot \left(1 + \frac{2 \cdot h_r}{h} \right) \quad (47a)$$

або

$$E = E_h = \frac{1}{2} \gamma \cdot \operatorname{tg}^2 \left(45^\circ - \frac{\varphi}{2} \right) \cdot (h^2 + 2 \cdot h_r \cdot h). \quad (47b)$$

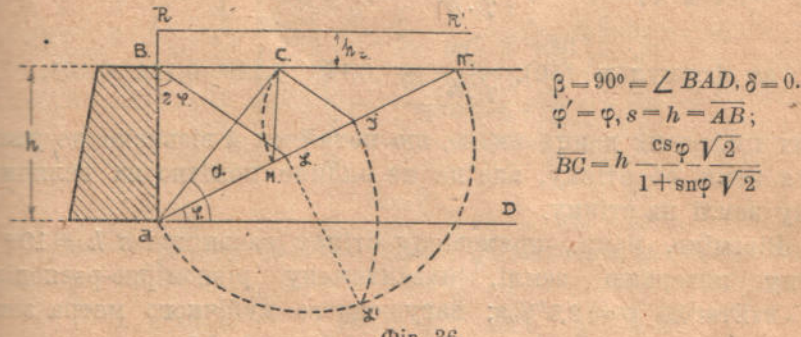
Якщо позема поверхня землі не навантажена, то $h_r = 0$, а, значить, $\gamma' = \gamma$; а через те тиск землі буде:

$$E = \frac{1}{2} \cdot \gamma \cdot \operatorname{tg}^2 \left(45^\circ - \frac{\varphi}{2} \right) \cdot h^2. \quad (47c)$$

Положення площини зрушенння AC можна визначити і в цьому разі за (48).

3. Прямоїсна стінка при поземій поверхні землі й $\varphi' = \varphi$ (Фіг. 36).

В даному разі $\beta = 90^\circ$, $\delta = 0$, $\varphi' = \varphi$ й $s = h$; а тому $\operatorname{sn}(\varphi + \varphi') = \operatorname{sn}2\varphi$, $\operatorname{sn}(\varphi - \delta) = \operatorname{sn}\varphi$, $\operatorname{sn}(\beta - \delta) = 1$, $\operatorname{sn}\phi = \operatorname{sn}[180^\circ - (90^\circ + \varphi)] =$



Фіг. 36.

$= \operatorname{sn}(90^\circ - \varphi) = \operatorname{cs}\varphi$ й $\operatorname{sn}(\beta - \varphi) = \operatorname{sn}(90^\circ - \varphi) = \operatorname{cs}\varphi$; тоді за (36) та (36a) маємо

$$k = 1 + \sqrt{\frac{\operatorname{sn}2\varphi \cdot \operatorname{sn}\varphi}{\operatorname{cs}\varphi}} = 1 + \sqrt{2 \operatorname{sn}^2\varphi} = 1 + \operatorname{sn}\varphi \cdot \sqrt{2}$$

$$m = \frac{\operatorname{cs}\varphi}{1 + \operatorname{sn}\varphi \cdot \sqrt{2}};$$

це згідно з (37) та (38) тиск землі

$$E = \frac{1}{2} \cdot \gamma' \cdot h^2 \cdot \frac{\operatorname{cs}\varphi}{(1 + \operatorname{sn}\varphi \cdot \sqrt{2})^2}, \quad (49)$$

а позема складова тиску землі

$$E_h = \frac{1}{2} \cdot \gamma' \cdot h^2 \cdot \frac{\operatorname{cs}^2\varphi}{(1 + \operatorname{sn}\varphi \cdot \sqrt{2})^2}. \quad (50)$$

Положення площини зрушенні за (39) визначиться віддаллю

$$\begin{aligned} \overline{BC} = h \cdot \frac{\operatorname{cs}\varphi}{1 + \operatorname{sn}\varphi \cdot \sqrt{2}} \cdot \frac{\operatorname{sn}\varphi \cdot \sqrt{2}}{\operatorname{sn}\varphi} &= h \cdot \frac{\operatorname{cs}\varphi \cdot \sqrt{2}}{1 + \operatorname{sn}\varphi \cdot \sqrt{2}} = \\ &= h \cdot \frac{\operatorname{cs}\varphi}{\operatorname{sn}45^\circ + \operatorname{sn}\varphi}. \end{aligned} \quad (51)$$

Щоб вияснити вплив тертя землі об стінку, порівнямо формули (47) та (50) для випадків 2 й 3 ($\varphi' = 0$ та $\varphi' = \varphi$) з різними значіннями кута φ ; тоді отримаємо такі цифри:

$$\text{при } \varphi = 25^\circ \quad 30^\circ \quad 35^\circ \quad 40^\circ$$

$$\text{за формулою (47): } \frac{E}{\gamma' \cdot h^2} = 0,203 \quad 0,166 \quad 0,136 \quad 0,109$$

$$\text{за формулою (50): } \frac{E}{\gamma' \cdot h^2} = 0,178 \quad 0,149 \quad 0,124 \quad 0,105;$$

з цих цифрових даних видно, що нехай ми й візьмемо до уваги тертя землі об стінку, але це не вплине помітно на величину тиску землі на стінку.

Візьмімо, напр., прямовісну стінку заввишки з $h = 10^m$ і позему поверхню землі, навантажену рівномірно-розподіленою вантагою $p = 2,5^{tn}/m^2$; вагу одного кубічного метра землі беремо $\gamma = 1,8^{tn}/m^3$; тоді $\gamma' = \gamma + \frac{2 \cdot p}{h} = 1,8 + \frac{2 \cdot 2,5}{10} = 2,3^{tn}/m^3$. Значить, у цьому випадкові ми маємо такі цифри:

$$\text{при } \varphi = 25^\circ \quad 30^\circ \quad 35^\circ \quad 40^\circ$$

$$\text{за формулою (47): } E = 46,69^t \quad 38,2^t \quad 31,3^t \quad 25,1^t$$

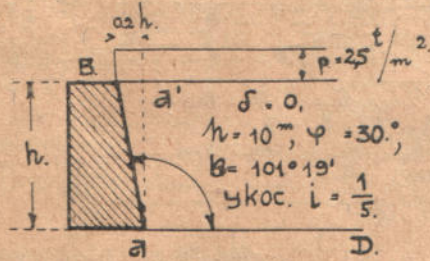
$$\text{за формулою (50): } E = 41^t \quad 34,3^t \quad 28,5^t \quad 24,2^t;$$

звідси знову видно, що величини тиску землі E за обома формулами мало різнятися, хоч за формулою (47) ці величини трохи більші. Через те іноді при поземій поверхні землі для того, щоб піднести ступінь надійності стінки, коли вона прямовісна, обчислюють тиск землі за формулою (47), хоч цей тиск і становить з нормаллю до стінки (в даному разі з поземою лінією) кут φ' .

Розглянемо тепер вплив кута тертя φ' при похилій стінці. Припустімо, що ми маємо стінку (фіг. 37), для якої $h = 10^m$, $\angle \beta = \angle BAD = 101^\circ 19'$, $\delta = 0$ і $p = 2,5^{tn}/m^2$; похил стінки AB до

вертикали дорівнюють $i = 0,2 = \frac{1}{5} = \operatorname{tg} \angle BAA'$; вага кубічного метра землі $\gamma = 1,8^{tn}/m^3$, отже $\gamma' = \gamma + \frac{2p}{h} = 1,8 + \frac{2 \cdot 2,5}{10} = 2,3^{tn}/m^3$. Кут φ при рідинного укосу візьмімо в 30° ; тоді $\operatorname{sn}(\varphi + \varphi') = \operatorname{sn}(30^\circ + \varphi')$, $\operatorname{sn}(\varphi - \delta) = \operatorname{sn} 30^\circ = \frac{1}{2}$, $\operatorname{sn}(\beta - \delta) = \operatorname{sn} 101^\circ 19' = \operatorname{cs} 11^\circ 19' = 0,98056$, $\operatorname{sn} \phi = \operatorname{sn}[180^\circ - (\beta + \varphi')] = \operatorname{sn}(78^\circ 41' - \varphi')$, $\operatorname{sn}(\beta - \varphi) = \operatorname{sn}(101^\circ 19' - 30^\circ) = \operatorname{sn} 71^\circ 19' = 0,94731$; далі $s^2 = 10^2 + 2^2 = 104$, отже

$$\gamma' \cdot s^2 = 2,3 \cdot 104 = 239.$$



Фіг. 37.

Надаючи різних значінь кутові φ' , матимемо величини тиску

за (37)

$\varphi' = 0^\circ$	10°	20°	30°
$k = 1,51$	$1,59$	$1,68$	$1,77$
$m = 0,627$	$0,595$	$0,565$	$0,535$
$\frac{E}{\gamma' \cdot s^2} = 0,200$	$0,189$	$0,186$	$0,190$
$E = 47,8^{tn}$	$45,2^{tn}$	$44,5^{tn}$	$45,4^{tn}$

З цих значінь E видно, що в межах значінь φ' од 10° до 30° кут φ' при похилій стінці теж не впливає помітно.

§ 11. Тиск води на стінку.

Користуючись з формули (29) тиску землі на стінку, можна залити величину тиску води на стінку, якщо взяти $\varphi = 0$, $\varphi' = 0$ (води немає тертя), $\delta = 0$ (рівень води поземний), а замість γ — вагу одиниці об'єму води; тоді $\operatorname{sn}(\varphi + \varphi') = 0$, $\operatorname{sn}(\varphi - \delta) = 0$, $\operatorname{sn}(\beta - \delta) = \operatorname{sn}\beta$, $\operatorname{sn}\phi = \operatorname{sn}[180^\circ - (\beta + \varphi')] = \operatorname{sn}(180^\circ - \beta) = \operatorname{sn}\beta$ і $\operatorname{sn}(\beta - \varphi) = \operatorname{sn}\beta$; згідно з (36) та (36a) маємо $k = 1$ і $m = \operatorname{sn}\beta$;

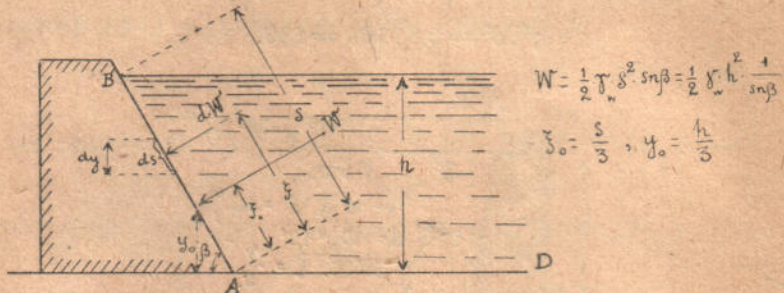
отже за (29) тиск води на стінку буде

$$W = \frac{1}{2} \cdot \gamma_w \cdot s^2 \cdot \operatorname{sn}\beta. \quad (52)$$

Якщо висота рівня води є h (фіг. 38), то $s = \frac{h}{\operatorname{sn}\beta}$, і значить за (52) тиск води

$$W = \frac{1}{2} \cdot \gamma_w \cdot h^2 \cdot \frac{1}{\operatorname{sn}\beta}. \quad (53)$$

Тиск W води спрямований нормальню до стінки AB , бо



Фіг. 38.

$\varphi' = 0$. Якщо задній бік AB стінки прямовісний (фіг. 39), то $\beta = 90^\circ$, отже $\operatorname{sn}\beta = 1$; а тому тиск води буде:

$$W = \frac{1}{2} \cdot \gamma_w \cdot h^2 \quad (54)$$

Звичайно, тиск води на стінку можна визначити й незалежно від формули (29). Справді, елементарний тиск на елементарну площинку $ds \cdot 1$ (фіг. 38) буде $ds \cdot 1 \cdot y \cdot \gamma_w$ або $ds \cdot y \cdot \gamma_w$; отже цілий тиск води на всю стінку AB буде

$$W = \int_{y=0}^{y=h} ds \cdot y \cdot \gamma_w;$$

але

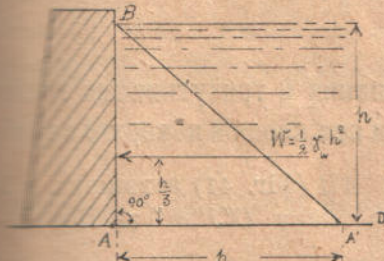
$$ds = \frac{dy}{\operatorname{sn}\beta},$$

отже

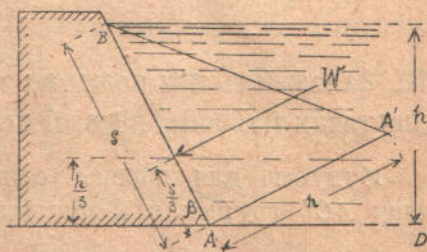
$$W = \int_{y=0}^{y=h} \frac{\gamma_w}{\operatorname{sn}\beta} \cdot y \cdot dy = \frac{\gamma_w}{\operatorname{sn}\beta} \cdot \frac{h^2}{2} = \frac{1}{2} \gamma_w \cdot h^2 \cdot \frac{1}{\operatorname{sn}\beta},$$

себ-то теж саме, що й за формулою (53). А що $h = s \cdot \operatorname{sn}\beta$, то $W = \frac{1}{2} \cdot \gamma_w \cdot s^2 \cdot \operatorname{sn}\beta$, себ-то те самісіньке, що й за формулою (52).

$\frac{1}{2} h^2 \cdot \frac{1}{\operatorname{sn}\beta} = \frac{1}{2} \cdot h \cdot \frac{h}{\operatorname{sn}\beta} = \frac{1}{2} \cdot h \cdot s$ дорівнює поверхні прямокутного трикутника з катетами s та h (фіг. 40), тому, щоб знайти тиск води на стінку, треба призму BAA' (з основою в формі прямокутного трикутника BAA' й висотою рівною 1) помножити на вагу γ_w одиниці об'єму води. Отже тиск води пропорціональний поверхні прямокутного трикутника BAA' , що й звуться трикутником тиску. Коли стінка AB прямовісна (фіг. 39), трикутник



Фіг. 39.



Фіг. 40.

буде прямокутний трикутник BAA' з рівними катетами $AB = AA' = h$.

Через те, що момент відносно основи A (фіг. 38) стінки тиску W води дорівнює сумі моментів елементарних ділянок $ds \cdot \gamma_w \cdot y$, то маємо згідно з позначеннями фіг. 38, що $W = \int ds \cdot \gamma_w \cdot y \cdot \xi$; підставляючи сюди величину W з (53) і

$\xi = \frac{dy}{\operatorname{sn}\beta}$ і $\xi_0 = \frac{h - y}{\operatorname{sn}\beta}$ матимем, що

$$\frac{1}{2} \cdot \gamma_w \cdot \frac{h^2}{\operatorname{sn}\beta} \cdot \xi_0 = \gamma_w \cdot \frac{1}{\operatorname{sn}^2\beta} \int_{y=0}^{y=h} y(h-y) \cdot dy$$

$$\frac{1}{2} \cdot h^2 \cdot \xi_0 = \frac{1}{\operatorname{sn}\beta} \left(\frac{hy^2}{2} - \frac{y^3}{3} \right) \Big|_{y=0}^{y=h} = \frac{1}{\operatorname{sn}\beta} \cdot \frac{h^3}{6},$$

знаходимо

$$\xi_0 = \frac{h}{3} \cdot \frac{1}{\operatorname{sn}\beta}. \quad (55)$$

Зад $h = s \operatorname{sn}\beta$, тому

$$\xi_0 = \frac{s}{3}. \quad (55a)$$

Коли бік AB стінки прямовісний (фіг. 39), то $\operatorname{sn} \beta = \operatorname{sn} 90^\circ = 1$, і тому за (55) віддаль зачепної точки тиску W від основи A буде

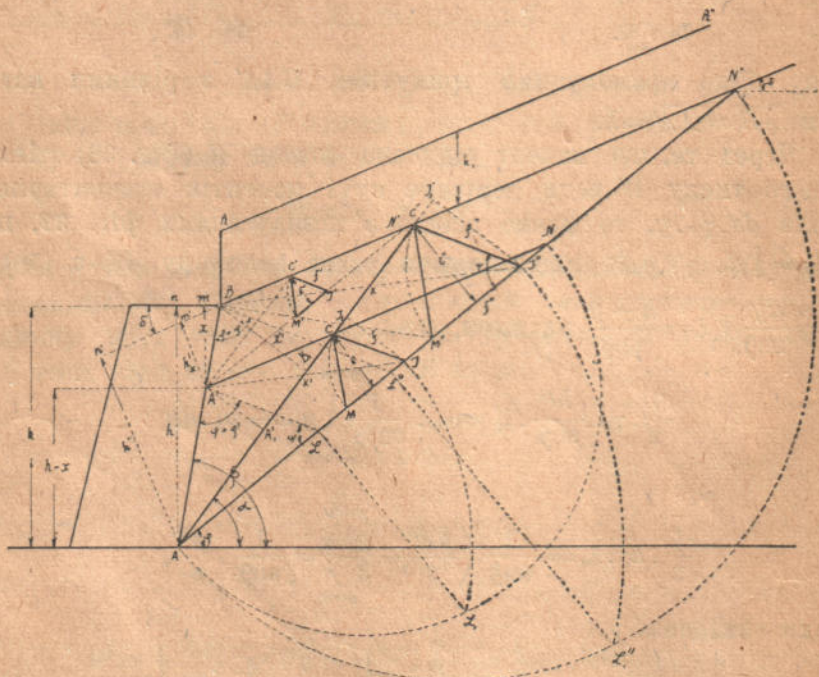
$$\xi_0 = \frac{h}{3}. \quad (55b)$$

Якщо прямовісна віддаль зачепної точки тиску води W від нижньої горизонтали AD при похилій стінці (фіг. 38) є y_0 , то

$$y_0 = \xi_0 \cdot \operatorname{sn} \beta = \frac{h}{3}. \quad (55c)$$

§ 12. Залежність між площами зрушення й трикутниками тиску на частинах тієї самої плоскої стінки при плоскій поверхні землі.

Збудуймо для плоскої стінки AB (фіг. 41) заввишки з h площею AC'' зрушення й трикутника тиску $C''J''M''$ за Понслé-



Фіг. 41.

Ребганом. Далі візьмімо частину $A'B$ стінки висотою x й розглянемо цю частину, як самостійну стінку заввишки з x ; тоді

що неї можна збудувати, за Понслé-Ребганом, площа $A'C'$ зрушення і трикутник $C'J'M'$ тиску; причому напрям природнього зрушту для неї буде $A'N' \parallel AN$, що проходить через спід A' стінки. За другою теоремою Понслé-Ребгана маємо, що $\overline{AJ''^2} = AL'' \cdot AN'$ і $\overline{AJ''^2} = A'L' \cdot A'N'$; отже

$$\frac{\overline{AJ''^2}}{\overline{A'J'^2}} = \frac{AL''}{A'L'} \cdot \frac{AN''}{A'N'} . \quad (a)$$

Точки L' та L'' лежать на одній напрямній прямій BL'' , тому трикутники ABL'' та $A'BL'$ подібні, і

$$\frac{AL''}{A'L'} = \frac{AB}{A'B} ; \quad (b)$$

з розрахунками трикутників ABN'' та $A'BN'$ маємо

$$\frac{AN''}{A'N'} = \frac{AB}{A'B} ; \quad (c)$$

заставляючи в залежності (a) величини відношень $\frac{AL''}{A'L'}$ та $\frac{AN''}{A'N'}$ з (b) та (c), знаходимо, що

$$\frac{\overline{AJ''^2}}{\overline{A'J'^2}} = \frac{\overline{AB}^2}{\overline{A'B}^2} ,$$

$$\frac{AJ''}{A'J'} = \frac{AB}{A'B} ;$$

з цієї залежності робимо висновок, що точки J' та J'' лежать на одній прямій BJ'' . Завдяки цьому легко можна збудувати положення площи $A'C'$ зрушення й трикутник тиску $C'JM'$ для частини стінки $A'B$ з висотою x , зробивши збудування за Понслé-Ребганом тільки для всієї стінки AB : для цієї точки J'' , що ми її отримали збудуванням для стінки AB , треба з'єднати з точкою B простою BJ'' та визначити точку перетину J' цієї простої з лінією $A'N'$, що була-б рівнобіжна до AN і проходила через точку A' ; далі треба з точки J' провести пряму $J'C' \parallel BL''$ до перетину її в точці C' з лінією BN'' землі; цим буде визначено площа $A'C'$ зрушення. Відкладавши відтинок $J'M' = J'C'$ та з'єднавши точку M' з C' , матимемо трикутника тиску $C'J'M'$ для стінки $A'B$ з висотою x .

Через те що $C'J' \parallel C''J''$, маємо з подібності $\triangle\triangle J'BC'$ та $J''BC''$, що

$$\frac{BJ''}{BJ'} = \frac{BC''}{BC'}; \quad (e)$$

з подібності $\triangle\triangle ABJ''$ та $A'BJ'$ маємо, що

$$\frac{BJ''}{BJ'} = \frac{AB}{A'B}; \quad (f)$$

отже з цих двох залежностей (e) та (f) маємо, що

$$\frac{BC''}{BC'} = \frac{AB}{A'B};$$

звідсіп робимо висновок, що трикутники ABC'' та $A'B'C'$ подібні, себ-то $AC'' \parallel A'C'$; а тому при плоскій поверхні землі та плоскій стінці для різних частин стінки площа зрушения рівнобіжні.

З рівнораменних трикутників тиску $C'J'M'$ та $C''J''M''$ маємо, що їхні основи $C'M' = 2 \cdot \overline{C'J'} \cdot \sin \frac{\phi}{2}$ та $C''M'' = 2 \cdot \overline{C''J''} \cdot \sin \frac{\phi}{2}$; отже

$$\frac{C'M'}{C''M''} = \frac{C'J'}{C''J''}; \quad (h)$$

з подібності $\triangle\triangle CBJ'$ та $C''BJ''$ маємо залежність

$$\frac{C'J'}{C''J''} = \frac{BC'}{BC''}; \quad (k)$$

з цих залежностей (h) та (k) знаходимо, що

$$\frac{C'M'}{C''M''} = \frac{BC'}{BC''};$$

з цієї залежності виходить, що $C'M' \parallel C''M''$, а точки M' та M'' лежать на одній прямій BM'' . Таким чином ми знайшли, що: 1) трикутники тиску $C'M'J'$ та $C''M''J''$ подібні, і 2) площа зрушения $A'C'$ і трикутник тиску $C'M'J'$ для частини $A'B$ стінки заввишки x збудуються, якщо зробити будування за Понслé-Ребганом тільки для всієї стінки AB .

З подібних трикутників $J'BC'$ та $J''BC''$ маємо, що

$$\frac{BC''}{B'C} = \frac{C''J''}{C'J'} = \frac{f''}{f'}; \quad (k)$$

з подібних трикутників ABC'' та $A'B'C'$ маємо

$$\frac{BC''}{BC'} = \frac{AB}{A'B'}, \quad (i)$$

з подібних прямокутних трикутників BnA й BmA' маємо

$$\frac{AB}{A'B'} = \frac{h}{x}; \quad (p)$$

з залежностів (i) та (p) виходить, що

$$\frac{BC''}{BC'} = \frac{h}{x};$$

зрівнюючи цю залежність з залежністю (k), одержимо, що

$$\frac{f''}{f'} = \frac{h}{x};$$

з подібних трикутників тиску $C'J'M'$ та $C''J''M''$ маємо, що

$$\frac{f''}{f'} = \frac{e''}{e'},$$

$$\frac{f''}{f'} = \frac{e''}{e'} = \frac{h}{x}. \quad (56)$$

бачимо, що відношення основ та висот трикутників тиску, збудованих для всієї стінки та частини її (рахуючи від верху B стінки), дорівнює відношенню відповідних висот усієї стінки та частини її.

Вільмімо тепер частину AA' стінки заввишки $h - x$ і побудуємо для неї за Понслé-Ребганом площу зрушення AC та трикутник CJM тиску з основою $MJ = f = CJ$ і висотою e . За другою методикою Понслé-Ребгана для трикутників тиску CJM та $C''J''M''$ буде $\overline{AJ}^2 = AL \cdot AN$ та $\overline{AJ''}^2 = AL'' \cdot AN''$; але з трикутників ALA' , $AL''B$ та $AN''B$ маємо, що

$$AL = \overline{AA'} \cdot \frac{\operatorname{sn}(\varphi + \varphi')}{\operatorname{sn} \psi},$$

$$AN = \overline{AA'} \cdot \frac{\operatorname{sn} AA'N}{\operatorname{sn} A'NA},$$

$$AL'' = AB \cdot \frac{\operatorname{sn}(\varphi + \varphi')}{\operatorname{sn} \psi}$$

$$AN'' = AB \cdot \frac{\operatorname{sn} ABN''}{\operatorname{sn} BN'' A},$$

отже

$$\overline{AJ}^2 = \overline{AA'}^2 \cdot \frac{\operatorname{sn}(\varphi + \varphi')}{\operatorname{sn} \psi} \cdot \frac{\operatorname{sn} AA'N}{\operatorname{sn} A'NA}$$

i

$$\overline{AJ''}^2 = \overline{AB}^2 \cdot \frac{\operatorname{sn}(\varphi + \varphi')}{\operatorname{sn} \psi} \cdot \frac{\operatorname{sn} ABN''}{\operatorname{sn} BN'' A},$$

звідки, розділивши почленно, дістанемо

$$\frac{\overline{AJ''}^2}{\overline{AJ}^2} = \frac{\overline{AB}^2}{\overline{A'A}^2} \cdot \frac{\operatorname{sn} ABN''}{\operatorname{sn} BN'' A} \cdot \frac{\operatorname{sn} A'NA}{\operatorname{sn} AA'N};$$

але $A'N \parallel BN''$, тому

$$\angle ABN'' = \angle AA'N, \text{ а } \angle BN''A = \angle A'NA,$$

i

$$\frac{\overline{AJ''}^2}{\overline{AJ}^2} = \frac{\overline{AB}^2}{\overline{A'A}^2}$$

або

$$\frac{AJ''}{AJ} = \frac{AB}{A'A}. \quad (r)$$

Через те, що за 1-ою теоремою Понслé-Ребгана поверхня $\triangle ABC'' = \text{пов. } \triangle AC''J''$, висоти цих трикутників при спільній основі AC'' рівні, себ-то $\overline{BB}_1 = \overline{J''J}_1$; але $\overline{BB}_1 = \overline{AB} \cdot \operatorname{sn} BAC''$ і $\overline{J''J}_1 = \overline{AJ''} \operatorname{sn} J''AC''$, отже

$$\overline{AB} \cdot \operatorname{sn} BAC'' = \overline{AJ''} \operatorname{sn} J''AC''. \quad (s)$$

Так само через рівність поверхонь $\triangle AA'C$ і ACJ для стінки AA' (за першою теоремою Понслé-Ребгана) маємо, що $\overline{A'A}_1 = \overline{JJ}_1$; але що $\overline{A'A}_1 = \overline{A'A} \cdot \operatorname{sn} A'AC$ і $\overline{JJ}_1 = \overline{AJ} \cdot \operatorname{sn} JAC$, то

$$\overline{A'A} \cdot \operatorname{sn} A'AC = \overline{AJ} \cdot \operatorname{sn} JAC; \quad (t)$$

розділивши залежності (s) і (t) почленно, матимемо, що

$$\frac{\overline{AB}}{\overline{A'A}} \cdot \frac{\operatorname{sn} BAC''}{\operatorname{sn} A'AC} = \frac{\overline{AJ''}}{\overline{AJ}} \cdot \frac{\operatorname{sn} J''AC''}{\operatorname{sn} JAC}$$

або, згідно з відношенням (r) маємо:

$$\frac{\operatorname{sn} BAC''}{\operatorname{sn} A'AC} = \frac{\operatorname{sn} J''AC''}{\operatorname{sn} JAC}. \quad (u)$$

Коли площини зрушення AC'' та AC для всієї стінки AB й частини її AA' утворюють з поземом кути відповідно α та α' ,

то $\angle BAC'' = \beta - \alpha$, $\angle A'AC = \beta - \alpha'$, $\angle J''AC'' = \alpha - \varphi$ і $\angle JAC = \alpha' - \varphi$; а тому, згідно з залежністю (u) маємо

$$\frac{\operatorname{sn}(\beta - \alpha)}{\operatorname{sn}(\beta - \alpha')} = \frac{\operatorname{sn}(\alpha - \varphi)}{\operatorname{sn}(\alpha' - \varphi)},$$

звідки

$$\operatorname{sn}(\beta - \alpha) \cdot \operatorname{sn}(\alpha' - \varphi) = \operatorname{sn}(\beta - \alpha') \cdot \operatorname{sn}(\alpha - \varphi);$$

у цій рівності ліва й права частина її складені цілком однаково, відносно α та α' , значить, $\alpha = \alpha'$ (теж саме матимем і просто, розкривши рівність); таким чином знаходимо, що $\angle BAC'' = \angle A'AC$, себ-то площа зрушення для всієї стінки AB і частини її AA' (рахуючи від нижньої основи A) є одна спільна; отже точка C лежить на простій AC'' .

Через те що $A'C \parallel BC''$ і $CJ \parallel C''J''$, то $\triangle BAC''$ подібний до $\triangle A'AC$ і $\triangle CAJ$ подібний до $\triangle C''AJ''$; а тому маємо

$$\frac{\overline{AB}}{\overline{A'A}} = \frac{\overline{AC''}}{\overline{AC}}$$

і

$$\frac{\overline{AC''}}{\overline{AC}} = \frac{\overline{C''J''}}{\overline{CJ}} = \frac{f''}{f};$$

отже

$$\frac{f''}{f} = \frac{\overline{AB}}{\overline{A'A}}.$$

З прямокутних подібних трикутників nAB та $mA'B$ маємо:

$$\frac{\overline{A'B}}{\overline{AB}} = \frac{x}{h},$$

або:

$$\frac{\overline{AB} - \overline{A'A}}{\overline{AB}} = \frac{x}{h},$$

звідки

$$\frac{\overline{A'A}}{\overline{AB}} = \frac{h - x}{h};$$

отже з залежності (v) знайдемо, що

$$\frac{f''}{f} = \frac{h}{h - x};$$

з подібності трикутників тиску $C''J''M''$ та CJM маємо, що

$$\frac{f''}{f} = \frac{e''}{e},$$

значить,

$$\frac{f'}{f} = \frac{e''}{e} = \frac{h}{h-x}. \quad (57)$$

Із залежностів (56) та (57) одержуємо для частин $A'B$ та AA' стінки:

$$\frac{f'}{f} = \frac{e'}{e} = \frac{x}{h-x}. \quad (58)$$

Проста BJ'' перетинає лінію AC'' зрушення в точці k , тому маємо два прямокутні трикутники kB_1B та $kJ''J''$, з рівними катетами (висотами) BB_1 та $J''J''$ і рівними кутами при точці k , отже ці два прямокутні трикутники рівновеликі; а звідси виходить, що $\overline{Bk} = \overline{kJ''}$, себ-то точка k ділить просту BJ'' на дві рівні частини. Так само для частини стінки AA' ми знайшли-б, що точка k' ділить просту $A'J$ нарівно, причому згідно з залежністю (r) проста $A'J \parallel BJ''$.

§ 13. Визначення тиску землі на навантажену тимчасовою вантагою плоску стінку за допомогою тисків землі на нена- вантажені уявні (фіктивні) плоскі стінки.

Припустімо, що ми маємо плоску стінку AB заввишки з h (фіг. 42), навантажену тимчасовою вантагою, що й зведена висота є h_r . Якщо проведемо далі просту AB заднього боку даної стінки до перетину в точці B' з лінією тимчасової вантаги, то матимемо дві уявні стінки AB' та BB' заввишки $h+k$ та k (фіктивні стінки), що не мають ніякої вантаги; збудуймо для цих уявних стінок та для даної стінки AB трикутники тисків $C''J''M''$ (для стінки AB'), $C'J'M'$ (для стінки BB') й CJM (для даної стінки AB) з відповідними основами й висотами f'' та e'' , f' та e' , f та e . Тиск землі на дану стінку AB , як на таку, що має вантагу h_r , згідно з виразом (18) § 7 буде

$$E = \frac{1}{2} \cdot f \cdot e \cdot \gamma \left(1 + \frac{2 \cdot h_r \cdot \cos \delta}{h'} \right);$$

з фіг. 42 бачимо, що $h_r \cdot \cos \delta = B's = h_1'$; з подібних прямокутних трикутників $B'm'B$ та BnA й $B'B''B$ та BB_0A маємо, що

$$\frac{h_1'}{h'} = \frac{BB'}{AB}$$

i

$$\frac{BB'}{AB} = \frac{BB''}{B_0B} = \frac{k}{h},$$

отже

$$\frac{h_1'}{h'} = \frac{k}{h},$$

через це

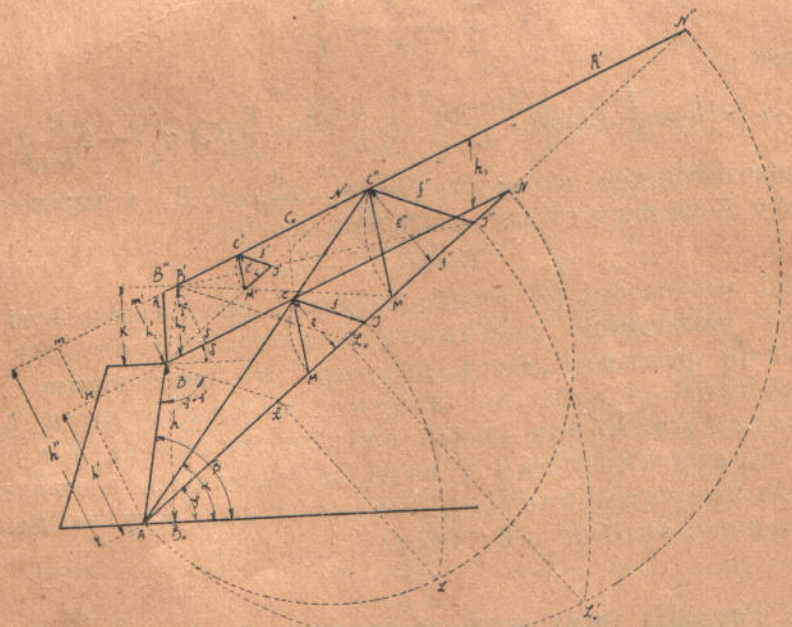
$$h_1' = h' \cdot \frac{k}{h} = h_r \cdot \operatorname{cs} \delta,$$

отже

$$\frac{h_r \cdot \operatorname{cs} \delta}{h'} = \frac{k}{h};$$

а тому тиск землі на навантажену дану стінку AB буде

$$E = \frac{1}{2} f \cdot e \cdot \gamma \left(1 + 2 \frac{k}{h} \right). \quad (a)$$



Фіг. 42.

Візьмімо тепер тиск землі на фіктивні ненавантажені стінки AB' й BB' ; ці тиски згідно з (22) § 7 будуть: на стінку AB' :

$$E_{h+k} = \frac{1}{2} f'' \cdot e'' \cdot \gamma,$$

а на стінку BB' :

$$E_k = \frac{1}{2} f' \cdot e' \cdot \gamma;$$

вільзмімо різницю цих тисків E_{h+k} та E_h ; вона буде

$$E_{h+k} - E_h = \frac{1}{2} \cdot \gamma \cdot (f'' \cdot e'' - f' \cdot e');$$

помноживши її розділивши цю різницю на добуток $f \cdot e$, знайдемо, що

$$E_{h+k} - E_h = \frac{1}{2} \cdot f \cdot e \cdot \gamma \left(\frac{f''}{f} \cdot \frac{e''}{e} - \frac{f'}{f} \cdot \frac{e'}{e} \right);$$

але згідно з формулами (57) та (58) § 12 для фіг. 42 маємо

$$\frac{f''}{f} = \frac{e''}{e} = \frac{h+k}{k}$$

і

$$\frac{f'}{f} = \frac{e'}{e} = \frac{k}{h};$$

отже

$$E_{h+k} - E_h = \frac{1}{2} \cdot f \cdot e \cdot \gamma \left[\left(\frac{h+k}{h} \right)^2 - \left(\frac{k}{h} \right)^2 \right] = \frac{1}{2} \cdot f \cdot e \cdot \gamma \left(1 + 2 \frac{k}{h} \right) \quad (b)$$

Порівнюючи цей вираз (b) різниці $E_{h+k} - E_h$ з виразом (a) тиску E на дану стінку, знаходимо, що

$$E = E_{h+k} - E_h \quad (c)$$

з цієї залежності (b) робимо висновок, що тиск землі на дану навантажену тимчасовою вантагою стінку дорівнює різниці тисків землі на ненавантажені дві фіктивні стінки, що в одної з них основа зливається з основою даної стінки (точка A), а в другої з вершиною даної стінки (точка B), а спільна лінія землі зливається з вантаженою лінією даної навантаженої стінки (лінія BB').

§ 14. Розподіл тиску землі по задньому боці плоскої стінки, беручи плоску поверхню землі. Напруга тиску землі. Точка зачепу тиску землі.

Розподіл тиску землі по висоті стінки.

Тиск землі на стінку AB (фіг. 43) заввишки h , навантажену тимчасовою вантагою h_r , згідно з (18) § 7 дорівнює

$$E_h = \frac{1}{2} \cdot f \cdot e \left(1 + \frac{2 \cdot h_r \cdot \cos \delta}{h} \right) \cdot \gamma;$$

а тиск на стінку $A'B$, заввишки x (фіг. 43), навантажену тією самою вантагою h_r , буде

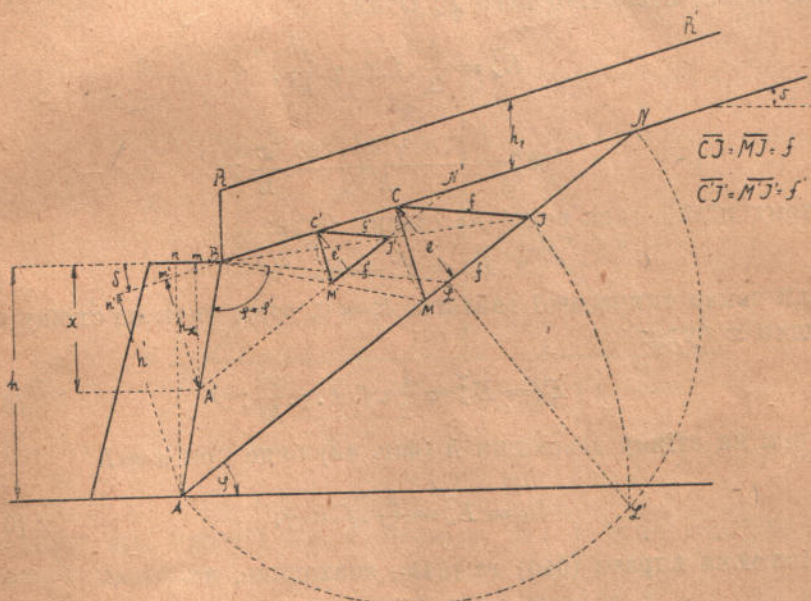
$$E_x = \frac{1}{2} \cdot f' \cdot e' \cdot \left(1 + \frac{2 \cdot h_r \cdot \cos \delta}{h'_x} \right) \cdot \tau. \quad (59)$$

З подібних прямокутних трикутників BmA' та BnA і $Bm'A'$ та $Bn'A$ маємо

$$\frac{BA'}{BA} = \frac{mA'}{nA} = \frac{x}{h}$$

та

$$\frac{AB'}{BA} = \frac{h'_x}{h'},$$



Фіг. 43.

звідки

$$\frac{x}{h} = \frac{h'_x}{h'}. \quad (60)$$

Отже

$$h'_x = h' \cdot \frac{x}{h}. \quad (60a)$$

Згідно з формулою (56) § 12 для фіг. 43 матимем: $\frac{f}{f'} = \frac{e}{e'} = \frac{h}{x}$ (порівн. фіг. 43 та 41); отже $f' = f \cdot \frac{x}{h}$ і $e' = e \cdot \frac{x}{h}$. Ставлячи значення f' , e' та h'_x до виразу (59) тиску землі на стінку $A'B$, зав-

вишки x , матимемо:

$$E_x = \frac{1}{2} \cdot f \cdot e \cdot \gamma \cdot \frac{x^2}{h^2} \left(1 + \frac{2 \cdot h_r \cdot \cos \delta}{h'} \cdot \frac{h}{x} \right) = \frac{1}{2} \cdot f \cdot e \cdot \gamma \cdot \frac{x^2}{h^2} + \\ + \frac{f \cdot e \cdot \gamma \cdot h_r \cdot \cos \delta}{h'} \cdot \frac{x}{h}. \quad (61)$$

Другий член цього виразу (61) має величину h_r , що характеризує собою навантаження поверхні землі, отже цей другий член залежить тільки від тимчасової вантаги; позначімо його через E_x^p . Перший член, що має в собі тільки величину γ — вагу одиниці об'єму землі, залежить тільки від тиску засипаної за стінкою землі; позначімо його E_x^γ . Отже:

$$E_x^\gamma = \frac{1}{2} \cdot f \cdot e \cdot \gamma \cdot \frac{x^2}{h^2}. \quad (62)$$

і

$$E_x^p = \frac{f \cdot e \cdot \gamma \cdot h_r \cdot \cos \delta}{h'} \cdot \frac{x}{h}; \quad (63)$$

а тому цілий тиск землі на стінку буде:

$$E_x = E_x^\gamma + E_x^p. \quad (64)$$

Коли немає тимчасової вантаги, $h_r = 0$, отже тиск на стінку заввишки x буде:

$$E_x = E_x^\gamma = \frac{1}{2} \cdot f \cdot e \cdot \gamma \cdot \frac{x^2}{h^2}; \quad (64a)$$

а тиск на стінку заввишки h (фіг. 43) буде при $x = h$

$$E_h = E_h^\gamma = \frac{1}{2} \cdot f \cdot e \cdot \gamma; \quad (64b)$$

порівнюючи вирази (64a) та (64b), знаходимо, що

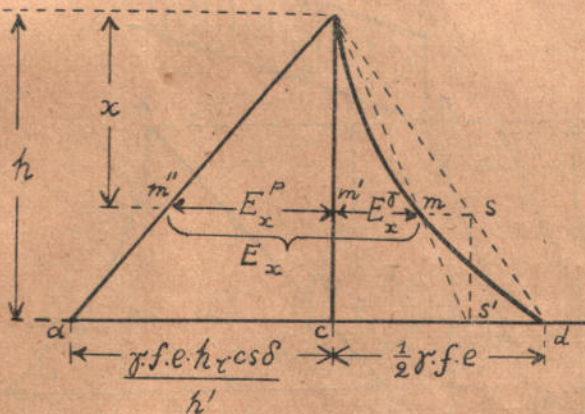
$$\frac{E_x}{E_h} = \frac{E_x^\gamma}{E_h^\gamma} = \frac{x^2}{h^2}; \quad (65)$$

звідси виводимо, що, коли стінка не навантажена, то тиски на частину стінки та на всю стінку відносяться, як квадрати їхніх висот.

З виразів (62) та (63) окремих тисків E_x^γ та E_x^p видно, що тиск землі E_x^γ змінюється зо зміною x за законом параболи другого порядку, а тиск E_x^p од тимчасової вантаги змінюється за законом простої лінії. Коли $x = 0$, тиск $E_x^\gamma = 0$, що відповідає точці b на фіг. 44; коли $x = h$, тиск $E_x^\gamma = \frac{1}{2} \cdot f \cdot e \cdot \gamma = E_h^\gamma = \overline{cd}$,

що відповідає точці d на фіг. 44; отже парабола другого порядку проходить через точки b та d (фіг. 44), причому точка b є вершина параболи; тиск землі на стінку $A'B$ (фіг. 43) заввишки x , себ-то тиск на віддалі x од вершка B стінки (фіг. 43), позначатиметься відтинком $m'm$ (фіг. 44).

Щоб збудувати положення якоїсь точки m параболи (фіг. 44), робимо так: з'єднуємо вершок b параболи з точкою d ІІ простою bd , на віддалі x од вершка b проводимо позему $m's$ до перетину ІІ в точці s з простою bd , через точку s проводимо сторчову лінію до перетину ІІ в точці s' з поземою cd , а точку s' з'єднуємо з вершком b простою $s'b$; тоді точка m пе-

b

Фіг. 44.

ретину цієї простої $s'b$ з поземою $m's$ і буде відшукуваною точкою параболи.

Коли $x = 0$, тиск од тимчасової вантаги $E_x^p = 0$, що відповідає точці b на фіг. 44; коли $x = h$, тиск

$$E_x^p = E_h^p = \frac{f \cdot e \cdot \gamma \cdot h_r \cdot \text{cs} \delta}{h'} = \overline{ac},$$

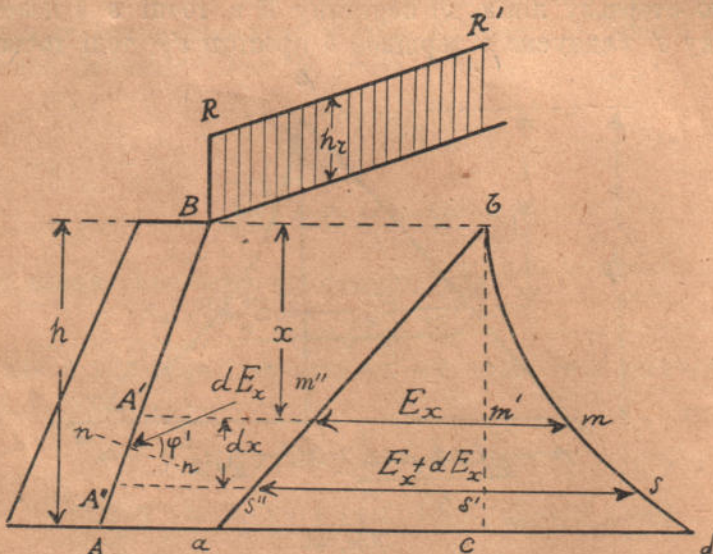
що відповідає точці a на фіг. 44; отже простою, що показує закон зміни E_x^p із зміною висоти x , буде лінія ab ; тиск од тимчасової вантаги на стінку $A'B$ (фіг. 43) заввишки x , на фіг. 44 позначиться відтинком $m''m'$. Цілий тиск землі та тимчасової вантаги на стінку $A'B$ (фіг. 43) заввишки x на фіг. 44 позначиться відтинком $m''m = m''m' + m'm$; це й буде тиск землі E_x на навантажену вантагою h_r стінку $A'B$, заввишки x . А цілий

тиск землі й тимчасової вантаги на стінку AB (фіг. 43 та 44) заввишки h , коли $x = h$, згідно з (61) дорівнюватиме:

$$E_h = \frac{1}{2} f \cdot e \cdot \gamma + \frac{f \cdot e \cdot h_r \cdot \cos \delta}{h}; \quad (66)$$

але $\frac{1}{2} f \cdot e \cdot \gamma = \overline{cd} = E_h^{\gamma}$, а $\frac{f \cdot e \cdot h_r \cdot \cos \delta}{h} = \overline{ac} = E_h^p$, отже цілий тиск

$$E_h = E_h^{\gamma} + E_h^p = \overline{cd} + \overline{ac} = \overline{ad} \text{ (фіг.) 44.}$$



Фіг. 45.

Таким чином цілий тиск на навантажену вантагою h_r стінку AB (фіг. 43), заввишки h , покаже відтинок ad (фіг. 44).

Напруга земляного тиску.

Коли тиск землі на навантажену стінку $A'B$ (фіг. 45) заввишки x є E_x , то тиск на стінку $A''B$ заввишки $x+dx$ буде E_x+dE_x ; отже тиск на елемент стінки $A''A'$ заввишки dx , дорівнює $(E_x+dE_x)-E_x$, себ-то dE_x ; стінка має довжину 1 (одиниця) в напрямові нормальні до площині рисунку, через це dE_x є тиск на стінку з поверхнею $A''A'$. 1 квадр. один.; а тиск на одиницю поверхні стінки буде $\frac{dE_x}{dx}$, що й можна назвати

напругою земляного тиску; назовемо його q_x , тоді маємо

$$\frac{dE_x}{dx} = q_x. \quad (67)$$

Якщо в виразі (61) сучинники при x^2 та x позначити:

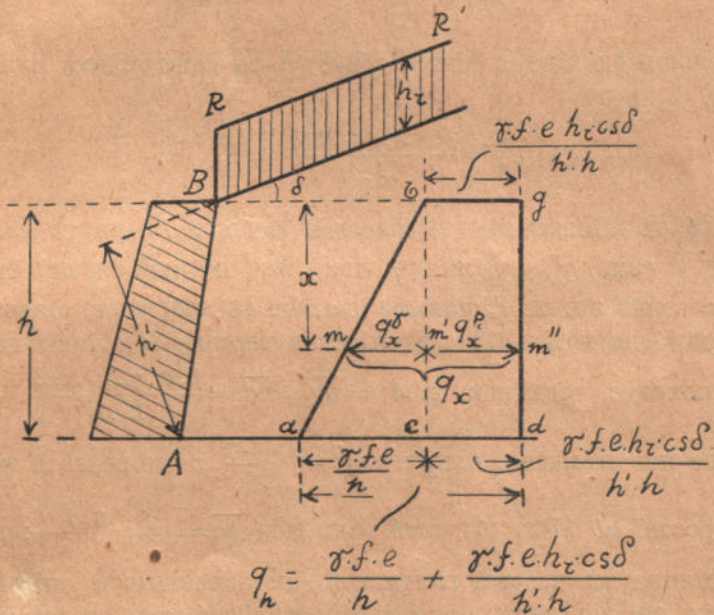
$$A = \frac{1}{2} \cdot f \cdot e \cdot \frac{\gamma}{h^2},$$

а

$$B = \frac{f \cdot e \cdot \gamma \cdot h_r \cdot \cos\delta}{h' \cdot h},$$

то ми можемо написати тиск землі на стінку заввишки x у такій формі:

$$E_x = Ax^2 + Bx; \quad (68)$$



Фіг. 46.

тоді напруга тиску землі буде:

$$q_x = \frac{dE_x}{dx} = 2Ax + B \quad (69)$$

або

$$q_x = f \cdot e \cdot \gamma \cdot \frac{x}{h^2} + \frac{f \cdot e \cdot \gamma \cdot h_r \cdot \cos\delta}{h' \cdot h}. \quad (69a)$$

З виразів (69) та (69a) для q_x видно, що напруга тиску землі q_x змінюється по висоті стінки, за законом простої лінії. Коли

$x=0$ (фіг. 46), напруга тиску землі $q_x = B = \frac{f \cdot e \cdot \gamma \cdot h_r \cdot \cos \delta}{h' \cdot h} = \overline{bg}$ (фіг. 46), що відповідає вершкові B стінки; коли $x=h$, величина $q_x = q_h = 2 \cdot A \cdot h + B = \frac{\gamma \cdot f \cdot e}{h} + \frac{\gamma \cdot f \cdot e \cdot h_r \cdot \cos \delta}{h' \cdot h} = \overline{ad}$ (фіг. 46), що відповідає основі A стінки; отже проста, за якою змінюється напруга q_x , є проста \overline{ab} .

Напруга q_x тиску землі, як це видно з його виразу (69а), складається з двох частин; одна частина є:

$$q_x^r = \frac{f \cdot e \cdot \gamma}{h^2} \cdot x = 2Ax,$$

що залежить од діяння тиску землі (с.-то коли стінка не навантажена), а друга

$$q_x^p = \frac{f \cdot e \cdot \gamma \cdot h_r \cdot \cos \delta}{h' \cdot h} = B,$$

що залежить тільки від тимчасової вантаги h_r ; друга частина напруги, а саме, q_x^p , є величина постійна по всій висоті стінки, через це закон зміни q_x^p покаже на фіг. 46 проста \overline{bc} , рівнобіжна до осі gd ; і на довільній віддалі x од вершка B стінки цю напругу показує відтинок $m'm'' = \overline{bg} = \overline{cd} = \frac{f \cdot e \cdot \gamma \cdot h_r \cdot \cos \delta}{h' \cdot h}$. Коли

стінка не навантажена, напруга $q_x^r = \frac{f \cdot e \cdot \gamma}{h^2} \cdot x$ змінюється за

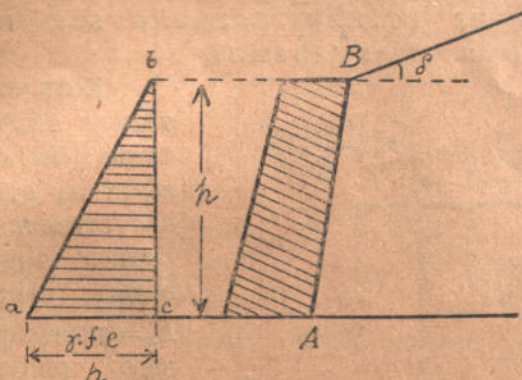
законом простої ab (фіг. 47), якої ордината $\overline{ac} = q_x^r = \frac{\gamma \cdot f \cdot e}{h}$; таким чином, діяння тимчасової вантаги h_r , позначається в епюрі напруг (фіг. 46) додатком прямокутника $cbgd$; отже коли стінка навантажена тимчасовою вантагою, епюра напруг земляного тиску матиме вигляд трапезу $abgda$ (фіг. 46), а коли стінка не навантажена, ця епюра виглядатиме як прямокутний трикутник bsa (фіг. 47). Коли стінка не навантажена (фіг. 46), напруга q_x тиску землі на будь-якій віддалі x од вершка B стінки (фіг. 46) показує відтинок $\overline{mm''} = \overline{mm'} + \overline{m'm''} = q_x^r + q_x^p$.

Коли в епюрі напруг тиску землі (фіг. 48) проведемо через точку g просту $gc' \parallel ab$, то матимемо рівнобіжник $bgc'a$, рівний (поверхнею) з прямокутником $bgdc$, бо $\overline{ac'} = \overline{bg}$; до того,

ми матимемо ще прямокутний трикутник gdc' , якого основа

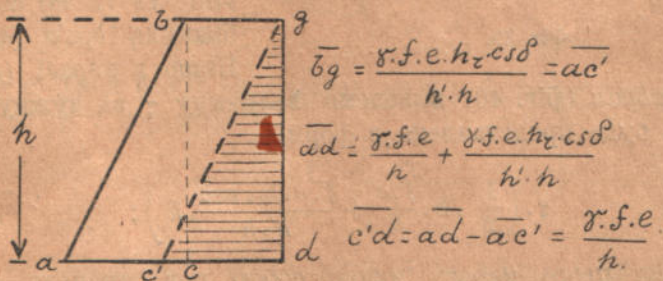
$$\overline{c'd} = \overline{ad} - \overline{ac'} = \frac{\gamma \cdot f \cdot e}{h} + \frac{\gamma \cdot f \cdot e \cdot h_r \cdot \cos \delta}{h' \cdot h} - \frac{\gamma \cdot f \cdot e \cdot h_r \cdot \cos \delta}{h' \cdot h} = \frac{\gamma \cdot f \cdot e}{h},$$

але $\frac{\gamma \cdot f \cdot e}{h}$ є величина основи \overline{ac} прямокутного трикутника на фіг. 46 з тією самою висотою h , отже $\overline{c'd} = \overline{ac}$, себ-то трикутник gdc'



Фіг. 47.

на фіг. 48 є той самий трикутник, що й трикутник bca на фіг. 46. Виходить, що діяння тимчасової вантаги можна представити рівнобіжником $bgc'a$ в епюрі напруг на фіг. 48; епюра-ж напруг



Фіг. 48.

одіяння самої землі, себ-то коли стінка не навантажена, матиме вигляд прямокутного трикутника gdc' , рівного з прямокутним трикутником bca на фіг. 46.

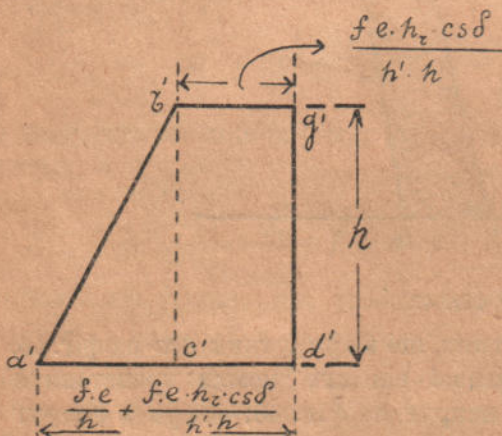
Коли ми візьмемо трапезу $abgda$ (фіг. 46) епюри напруг тиску землі, то, як бачимо з фіг. 46,

$$\text{пов. трапезу } abgda = \frac{1}{2} \cdot h \cdot \frac{\gamma \cdot f \cdot e}{h} + \frac{\gamma \cdot f \cdot e \cdot h_r \cdot \cos \delta}{h' \cdot h} \cdot h. \quad (69)$$

Коли вираз (66) для тиску землі на навантажену стінку заввишки h , помножити й поділити на h , то матимем

$$E_h = \frac{1}{2} \cdot h \cdot \frac{\gamma \cdot f \cdot e}{h} + \frac{\gamma \cdot f \cdot e \cdot h_r \cdot \operatorname{csd}}{h' \cdot h} \cdot h;$$

порівнюючи цей вираз для E_h з величиною (69) поверхні трапезу епюри тисків, бачимо, що $E_h =$ пов. трапезу $abgda$; отже, цілий тиск землі на стінку позначиться поверхнею епюри напруг тиску землі.



Фіг. 49.

Коли стінка навантажена тимчасовою вантагою (фіг. 47), то тиск землі на стінку E_h^y показується площею прямокутного трикутника bca епюри напруг, себто $E_h^y =$ поверхні прямокутного трикутника bca ; а тиск землі E_h^p тільки від тимчасової вантаги h_r представиться поверхнею прямокутника $bgdc$ (фіг. 46 та 48) або рівнобіжника $bgc'a$ (фіг. 48).

Якщо в виразі (69) пов.

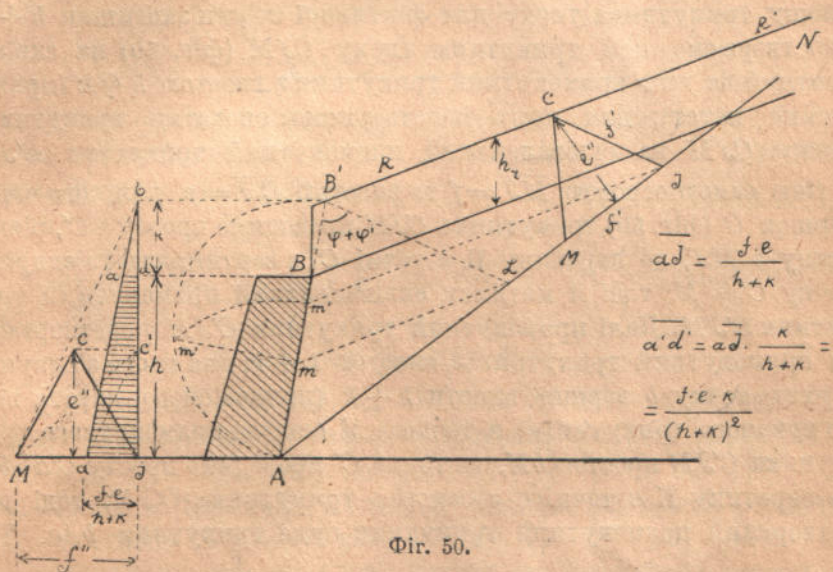
трапезу $abgda$ (фіг. 46) виведено величину γ за дужку, то ця поверхня буде представлена в формі

$$\gamma \cdot \left(\frac{1}{2} \cdot h \cdot \frac{f \cdot e}{h} + \frac{f \cdot e \cdot h_r \cdot \operatorname{csd}}{h' \cdot h} \cdot h \right);$$

але дужка цього виразу являє собою пов. трапезу $a'b'g'd'a'$ на фіг. 49 з висотою h й рівнобіжними боками $\overline{b'g'} = \frac{f \cdot e \cdot h_r \cdot \operatorname{csd}}{h' \cdot h}$ та $\overline{a'd'} = \frac{f \cdot e}{h} + \frac{f \cdot e \cdot h_r \cdot \operatorname{csd}}{h' \cdot h}$.

Отже, щоб одержати величину тиску землі на навантажену тимчасовою вантагою h_r стінку, треба збудувати трапеза $a'b'g'd'a'$ (фіг. 49) і поверхню його помножити на вагу одиниці об'єму землі γ .

Але замість будувати трапез $abgda$ (фіг. 46), або $a'b'g'd'a'$ (фіг. 49), щоб одержати тиск землі на навантажену стінку, можна скористуватися з тисків землі на фіктивні ненавантажені стінки (див. § 13). Для цього, провівши лінію AB (фіг. 50) даної стінки заввишки h до перетину в точці B' з лінією навантаження h_r , визначаємо дві фіктивні стінки AB' з висотою $h+k$ та BB'



Фіг. 50.

з висотою k . Тиск землі на ненавантажену фіктивну стінку AB згідно з (22) § 7 дорівнює

$$E_{h+k} = \frac{1}{2} \cdot f'' \cdot e'' \cdot \gamma,$$

де f'' та e'' це основа й висота трикутника тиску CJM (фіг. 50), збудованого за Понслé-Ребганом для стінки AB' заввишки $h+k$. Тиск землі на ненавантажену фіктивну стінку BB' заввишки k можна визначити, згідно з (65) § 14, із залежності:

$$\frac{E_k}{E_{h+k}} = \frac{k^2}{(h+k)^2},$$

себ-то

$$E_k = E_{h+k} \cdot \frac{k^2}{(h+k)^2} = \frac{1}{2} \cdot f'' \cdot e'' \cdot \gamma \cdot \frac{k^2}{(h+k)^2};$$

отже, згідно з § 13, цілий тиск землі на навантажену тимчасовою вантагою h , стінку AB заввишки x рівнятиметься

$$E_h = E_{h+k} - E_k = \gamma \cdot \left[\frac{1}{2} \cdot f'' \cdot e'' - \frac{1}{2} \cdot f'' \cdot e'' \cdot \frac{k^2}{(h+k)^2} \right]. \quad (70)$$

Перший член $\frac{1}{2} \cdot f'' \cdot e''$ у дужках цього виразу являє собою

площу трикутника тиску для фіктивної стінки заввишки $h+k$; перетворюємо цей трикутник тиску CJM (фіг. 50) на еквівалентний із ним прямокутний трикутник з висотою $h+k$ (прямовісний катет); для цього перетворюємо спочатку трикутника тиску CJM на еквівалентний прямокутний трикутник $C'JM$ з тією самою основою $\overline{MJ} = f$ та висотою $\overline{CJ} = e$, для чого через вершок C (фіг. 50) трикутника CJM проводимо присту CC' , рівнобіжну з MJ , до перетину її в точці C' з вертикальлю і з'єднуємо точку C' з M ; тоді її матимем еквівалентний прямокутний трикутник $C'JM$. Далі прямокутний трикутник $C'JM$ перетворюємо на прямокутний трикутник з висотою $h+k$; для цього з'єднуємо верхню точку b вершка висоти $h+k$ (прямовісного катета відшукованого трикутника) з точкою M основи прямокутного трикутника $C'JM$ пристою bM , а з точки C' проводимо присту $C'a \parallel bM$ до перетину її в точці a з основою трикутника $C'JM$; тоді перетворений прямокутний трикутник буде трикутник bJa . Таким чином перший член $\frac{1}{2} \cdot f'' \cdot e''$ в дужці виразу (70) являє собою площу прямокутного трикутника bJa (фіг. 50) з висотою $h+k$; основу aJ цього прямокутного трикутника bJa ми матимем з подібних трикутників bJM та $C'JM$ із залежностів:

$$\frac{\overline{aJ}}{\overline{MJ}} = \frac{\overline{C'J}}{\overline{bJ}}$$

або

$$\overline{aJ} = \overline{MJ} \cdot \frac{\overline{C'J}}{\overline{bJ}} = \frac{f \cdot e}{h+k}.$$

Через те, що $\frac{1}{2} \cdot f'' \cdot e'' =$ пов. прямокутного трикутника bJa ,

ми можемо вираз (70) для E_h написати в такій формі:

$$E_h = \gamma \cdot \left[\triangle bJa - \triangle bJa \cdot \frac{k^2}{(h+k)^2} \right]. \quad (70a)$$

Якщо ми в прямокутному трикутникові bJa на віддалі k від його вершка b проведемо просту $a'd' \parallel ad$, то матимем прямокутний трикутник $bd'a'$, подібний до трикутника bJa ; з подібності цих прямокутних трикутників $bd'a'$ та bJa маємо, що

$$\frac{\text{пов. } \triangle b'd'a'}{\text{пов. } \triangle bJa} = \frac{\overline{bd}^2}{\overline{bJ}^2} = \frac{k^2}{(h+k)^2},$$

звідки

$$\triangle bd'a' = \triangle bJa \cdot \frac{k^2}{(h+k)^2};$$

отже другий член у дужці виразу (70a) являє собою пов. прямокутного трикутника $bd'a'$; таким чином, тиск землі на навантажену стінку висотою h буде:

$$E_h = \gamma \cdot [\triangle bJa - \triangle bd'a']. \quad (70b)$$

Але різниця $\triangle bJa - \triangle bd'a'$ є пов. трапезу $a'd'Ja$ (зарисованого на фіг. 50); отже

$$E_h = \gamma \cdot \text{пов. трапезу } a'd'Ja. \quad (70c)$$

З цієї залежності (70c) ми матимем графічно величину тиску землі на навантажену тимчасовою вантагою стінку заввишки h таким способом: продовжуємо задній бік сторони AB (фіг. 50) даної стінки до перетину в точці B' з лінією RR' вантаги й одержуємо фіктивну ненавантажену стінку AB' , що для неї будуємо трикутника тиску CJM одним із зазначених способів в § 9 (за Понслé-Ребганом); далі цей трикутник тиску переворюємо на прямокутний трикутник bJa з висотою, рівною висоті фіктивної стінки BB' (в лівій частині фіг. 50) і через вершок B даної стінки AB проводимо просту, рівнобіжну до основи aJ цього трикутника (катета); тоді ця проста відтинає від трикутника bJa трапезу $a'd'Ja$; пов. цього трапезу $a'd'Ja$, помножена на вагу одиниці обсягу землі γ , дасть нам тиск землі на навантажену стінку AB .

Точніше можна представити відшуканий тиск землі на навантажену стінку AB вагою земляної призми з основою в формі трапезу $a'd'Ja$ та висотою рівною одиниці (в напрямові нормальному до площині рисунку); отже

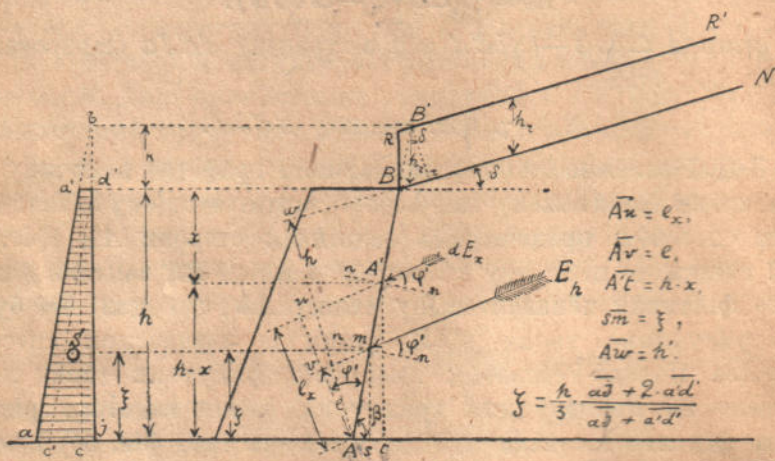
$$E_h = \gamma \cdot \text{пов. трапезу } a'd'Ja \cdot 1;$$

відкинувши тут чинника 1, маємо вираз (70c), виводячи який, чинника 1 зарані відкинуто.

Коли ми проводили на фіг. 50 через вершок B даної стінки просту, рівнобіжну з основою aJ прямокутного трикутника bJa , що відтинає від нього трапез $a'd'Ja$, то цим самим ми віднімали від трикутника bJa малий прямокутник $bd'a'$. Але цей прямокутний трикутник $bd'a'$ є перетворений трикутник тиску, забудований для фіктивної ненавантаженої стінки BB' з висотою, рівною висоті вантажної лінії RR' ; але в дійсності такої фіктивної стінки BB' нема, через це ми й відкидаємо цей фіктивний трикутник $bd'a'$.

Точка зачепу земляного тиску.

Якщо в точці A' (фіг. 51) на віддалі x од вертикаль стінки елементарний тиск землі є dE_x , то момент цього тиску відносно



Фіг. 51.

точки A основи стінки дорівнює $dE_x \cdot e_x$; а цілий момент відносно точки A всіх елементарних тисків, що їх ми узяли по всій висоті h стінки, дорівнює

$$\int_{x=0}^{x=h} dE_x \cdot e_x.$$

Момент рівнодійної E_h усіх елементарних тисків dE_x , або інакше кажучи цілого тиску землі на стінку AB відносно тієї самої точки A дорівнює $= E_h \cdot e$; отже

$$E_h \cdot e = \int_{z=0}^{z=h} dE_x \cdot e_x. \quad (71)$$

З прямокутних трикутників $A'uA$ та $A'tA$ маємо, що

$$e_x = \overline{Au} = \overline{AA'} \cdot \operatorname{cs}\varphi'$$

i

$$\overline{AA'} = \frac{\overline{At}}{\operatorname{sn}\beta} = \frac{h - x}{\operatorname{sn}\beta};$$

отже

$$e_x = \frac{h - x}{\operatorname{sn}\beta} \cdot \operatorname{cs}\varphi'.$$

З прямокутних трикутників mva та msA маємо, що

$$e = \overline{Av} = \overline{Am} \cdot \operatorname{cs}\varphi'$$

i

$$\overline{Am} = \frac{\overline{sm}}{\operatorname{sn}\beta} = \frac{\xi}{\operatorname{sn}\beta};$$

отже

$$e = \frac{\xi}{\operatorname{sn}\beta} \cdot \operatorname{cs}\varphi'.$$

Підставляючи знайдені величини e_x та e у залежність (71), матимемо, що

$$\xi \cdot E_h = \int_{x=0}^{x=h} (h - x) \cdot dE_x. \quad (71a)$$

Ставлячи в цю рівність (71a) величину E_h із (68) при $x = h$ та dE_x із (69), знайдемо, що

$$\xi \cdot (A \cdot h^2 + B \cdot h) = \int_{x=0}^{x=h} (2Ax + B) \cdot (h - x) \cdot dx;$$

звідси прямовісна віддаль ξ від споду стінки точки m зачепу тиску E_h землі на стінку дорівнює:

$$\xi = \frac{1}{6} \cdot \frac{3B \cdot h + 2A \cdot h^2}{Ah + B};$$

ставлячи сюди раніше показані величини $A = \frac{1}{2} \cdot f \cdot e \cdot \gamma \cdot \frac{1}{h^2}$ та

$B = \frac{f \cdot e \cdot \gamma \cdot h_r \cdot \operatorname{cs}\delta}{h' \cdot h}$, матимемо, що:

$$\xi = \frac{h}{3} \cdot \frac{3 \cdot h_r \cdot \operatorname{cs}\delta + h'}{2 \cdot h_r \cdot \operatorname{cs}\delta + h'}. \quad (72)$$

Розділивши чисельника і знаменника цього виразу (72) на h' , матимемо, що

$$\xi = \frac{h}{3} \cdot \frac{\frac{3h_r \cdot \cos\delta}{h'} + 1}{\frac{2h_r \cdot \cos\delta}{h'} + 1};$$

але з фіг. 42 та 51 маємо

$$\frac{h_r \cdot \cos\delta}{h'} = \frac{k}{h},$$

отже

$$\xi = \frac{h}{3} \cdot \frac{\frac{3 \cdot \frac{k}{h}}{2 \cdot \frac{k}{h} + 1} + 1}{\frac{k}{h} + 1} \quad (a)$$

З прямокутних трикутників тиску bJa та $bd'a'$ (фіг. 51 та 50), збудованих для фіктивних стінок AB' та BB' , маємо, що

$$\frac{\overline{aJ}}{\overline{a'd'}} = \frac{h+k}{k} = \frac{h}{k} + 1,$$

звідки

$$\frac{h}{k} = \frac{\overline{aJ} - \overline{a'd'}}{\overline{a'd'}},$$

або

$$\frac{k}{h} = \frac{\overline{a'd'}}{\overline{aJ} - \overline{a'd'}},$$

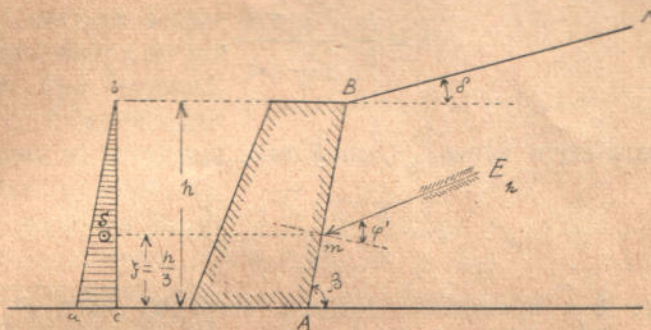
це значіння $\frac{k}{h}$ ставимо в рівність (a) і маємо, що

$$\xi = \frac{h}{3} \cdot \frac{\overline{aJ} + 2 \cdot \overline{a'd'}}{\overline{aJ} + \overline{a'd'}},$$

але цей вираз ξ являє собою прямовісну віддалу осередка ваги S трапезу тиску $a'd'Ja$ (фіг. 51 та 50) від основи його aJ ; таким чином точка зачепу тиску землі E_h на навантажену тимчасовою вантажою стінку лежить на висоті осередка ваги трапезу тиску.

Якщо поверхня землі не навантажена, то $h_r = 0$, отже за (72) буде $\xi = \frac{h}{3}$, себ-то точка зачепу земляного тиску E_h на стінку лежить на висоті осередку ваги S прямокутного трикутника bca тиску (фіг. 52).

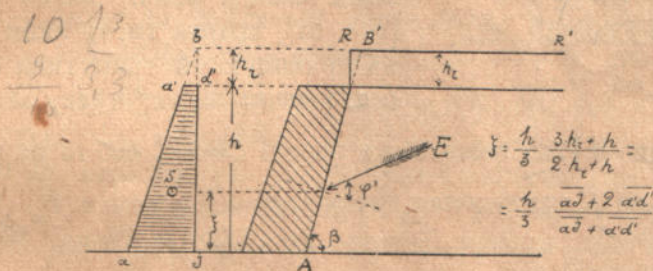
Те, що на поверхні землі немає навантаження h_r змінює трапез тиску $a'd'Ja$ (фіг. 51) на прямокутний трикутник bca тиску (фіг. 52), віднімаючи від нього прямокутник $a'd'Jc$ (фіг. 51), або рівний з ним рівнобіжник $a'd'c'a$; причому прямокутний трикутник abc на фіг. 52 є той самий, що й на фіг. 51 прямокутний трикутник $a'ca$ або $d'Jc'$; таким чином діяння самої



Фіг. 52.

тимчасової вантаги виявляється прямокутником $a'd'Jc$ або рівним з ним рівнобіжником $a'd'c'a$ (фіг. 51). Коли стінка не навантажена (фіг. 52), тиск землі на стінку дорівнює

$$E_h = \gamma \cdot \Delta bca. \quad (73)$$



Фіг. 53.

Коли лінія землі позема (фіг. 53), то $h' = h$ і $\delta = 0$, отже $\cos\delta = 1$, і тому за (72) маємо:

$$\xi = \frac{h}{3} \cdot \frac{3 \cdot h_r + h}{2 \cdot h_r + h}. \quad (74)$$

З прямокутних трикутників bJa та $bd'a'$ (фіг. 53) маємо, що

$$\frac{\overline{aJ}}{a'd'} = \frac{h_r + h}{h_r} = 1 + \frac{h}{h_r},$$

звідки

$$\frac{h_r}{h} = \frac{\overline{a'd'}}{\overline{aJ} - \overline{a'd'}},$$

розділивши на h чисельника й знаменника в (74), матимем

$$\xi = \frac{h}{3} \cdot \frac{\frac{h_r}{h} + 1}{2 \frac{h_r}{h} + 1},$$

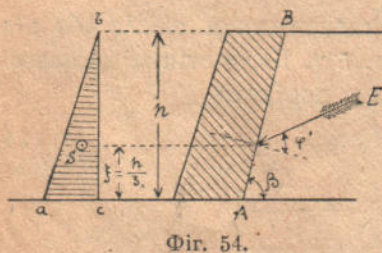
поставивши сюди вираз $\frac{h_r}{h}$, знайдемо, що

$$\xi = \frac{h}{3} \cdot \frac{\overline{aJ} + 2 \cdot \overline{a'd'}}{\overline{aJ} + \overline{a'd'}},$$

а це саме є прямовісна віддаль осередку ваги S (фіг. 53) трапезу тиску $a'd'Ja$ від основи його aJ ; отже вираз (74) для ξ

знову показує, що точка зачепу тиску землі E на стінку лежить на висоті осередку ваги тискового трапезу.

Коли немає вантаги на поземій площі землі, маємо $h_r = 0$ (фіг. 54); трапез тиску змінюється на прямокутний трикутник тиску bca , і точка зачепу тиску землі на стінку, згідно з (74), лежить на висоті $\xi = \frac{h}{3}$, себ-то на висоті осередку ваги S трикутника тиску bca .



Фіг. 54.

§ 15. Різні випадки тимчасової вантаги при плоскій стінці та плоскій поверхні землі.

Визначаючи положення площі зрушення навантаженої тимчасовою вантагою стінки, ми беремо на увагу вагу земляної приєми $ABRC_0C$ (фіг. 42), себ-то вагу саме земляної приєми зрушення ABC і зведену до землі тимчасову вантагу, що розміщена вдовж BC , себ-то над приємою зрушення; таким чином у тискові на стінку AB бере участь тільки тимчасова вантага впродовж BC , а вантага справа від C жадного тиску на стінку не чинить.

1. Тимчасову рівномірно-розподілену вантагу розміщено не на всьому протязі BC між верхом стінки й площею зрушення (фіг. 55).

Припустімо, що зведену до землі тимчасову вантагу h_r розміщено між B і C на довжині mC (фіг. 55); вантажна лінія цієї вантаги є пряма RR' . Положення площи зрушення при плоскій стінці та плоскій поверхні землі не залежить від тимчасової вантаги (див. § 8), через це будемо площею зрушення AC для ненавантаженої стінки AB якщо положення точки C ; тоді в тискові на стінку AB братиме участь тільки тимчасова вантага на довжині mC , себ-то вага земляної

зми з основою в формі рівнобіжника $mRC'C$ і висотою, що дорівнює одиниці (в напрямі нормальному до площини рисунка); вага цієї земляної призми дорівнює

$$G' = \gamma \cdot \text{пов. } mRC'C \cdot 1 = \gamma \cdot h_r \cdot \overline{mC} \cdot \text{cs} \delta.$$

Щоб одержати тимчасову вантагу h'_r , розподілену на всьому протязі BC (фіг. 55), що діяла була-б так само, як і дана вантага G' , треба вагу земляної призми $BDC''C$ прирівняти до ваги G' земляної призми $mRC'C$; вага земляної призми $BDC''C$ дорівнює

$$G'' = \gamma \cdot \text{пов. } BDC''C \cdot 1 = \gamma \cdot h'_r \cdot \overline{BC} \cdot \text{cs} \delta,$$

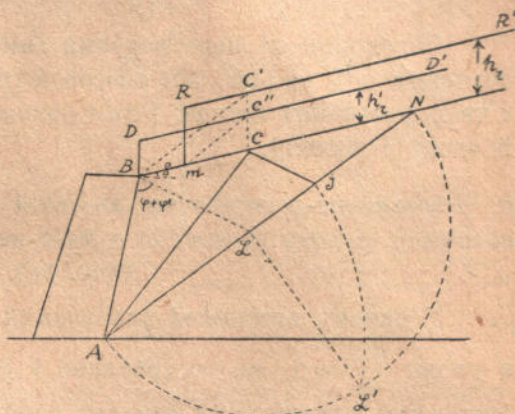
отже,

$$\gamma \cdot h_r \cdot \overline{mC} \cdot \text{cs} \delta = \gamma \cdot h'_r \cdot \overline{BC} \cdot \text{cs} \delta;$$

звідси

$$\frac{h'_r}{h_r} = \frac{\overline{mC}}{\overline{BC}},$$

себ-то вся справа в тому, щоб перетворити рівнобіжника $mRC'C$ на еквівалентний з ним рівнобіжник $BDC''C$. Для графічного перетворення рівнобіжника $mRC'C$ на еквівалентний рівнобіжник $BDC''C$ роблять, як відомо, так: точку C' з'єднують із точкою B



Фіг. 55.

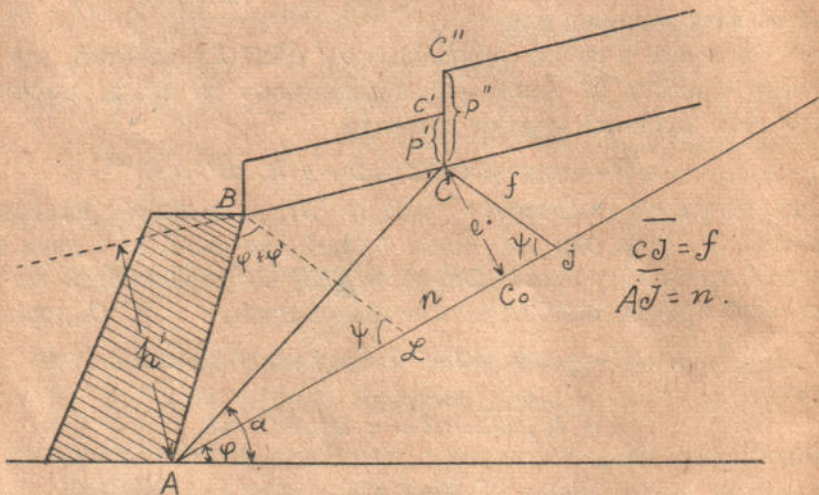
простою BC' , і через точку m проводять присту $mC'' \parallel BC'$ до перетину її в точці C'' з вертикальлю в точці C ; тоді відтинок $\overline{CC''}$ і буде „зведеню висотою h_r “ рівномірно розподіленої по лінії BN землі тимчасової вантаги; справді, з подібності трикутників mCC'' та BCC' маємо написану раніше пропорцію:

$$\frac{\overline{CC''}}{\overline{CC'}} = \frac{\overline{mC}}{\overline{BC}} = \frac{h_r}{h_r}.$$

Перевівши це перетворення тимчасової вантаги, будуємо за значенням у § 14 (фіг. 50) способом трапеза тиску, користуючись з двох фіктивних стінок; і так визначаємо величину тиску землі й точку її зачепу.

2. Рівномірно-розподілена вантага переривна і змінює свою величину відразу (раптом) в якій-небудь точці поверхні землі (фіг. 56).

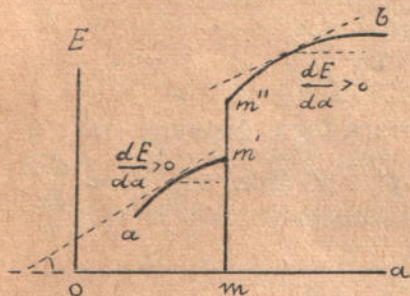
У даному випадкові визначення тах. E не можна зробити з умови $\frac{dE}{dx} = 0$, як це зроблено в § 7 при непереривній рівномірно-розподіленій вантазі; значить визначення положення



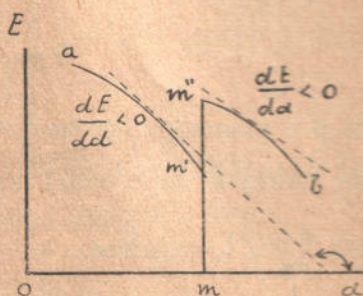
Фіг. 56.

площі зрушення не можна зробити так, як це показано в § 7. Тут через переривність вантаги, де вона в точці C відразу змінюється з величини p_1 на величину p_2 , значіння похідної $\frac{dE}{dx}$ може

бути й додатне (більше від нуля) і від'ємне (менше від нуля) і з лівого й з правого боку від точки C розподілу вантаги, а може бути додатне ліворуч од точки C і від'ємне праворуч од точки C ; при цьому величина тиску E землі буде змінюватися раптом для місця, де вантага переривається. На фіг. 57 крива $E = f(\alpha)$, де α є кут нахилу площині AC (фіг. 56) до позему, має такий вигляд переривної кривої, що для обох її частин am' і $m''b$ з лівого



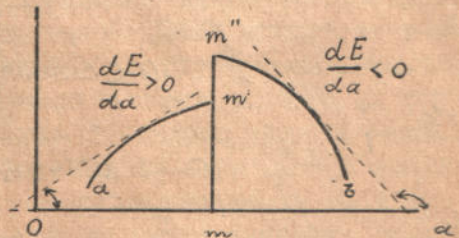
Фіг. 57.



Фіг. 57'.

і правого боку від місця перерви суцільності (точка m) тангенс кута нахилу дотичної до позему, себ-то $\frac{dE}{d\alpha}$, більший за нуль (цей кут гострий); у цьому випадкові, як видно з фіг. 57, max. E буде праворуч од місця перерви суцільності кривої $E = f(\alpha)$, а саме в частині $m''b$ кривої; себ-то на фіг. 56 площа зрушення буде правіша за площину AC , що відповідає точці C розподілу вантаги. Якщо крива $E = f(\alpha)$ іде, як зазначено на фіг. 57',

де $\frac{dE}{d\alpha} < 0$ (від'ємне) для обох галузів кривої am' і $m''b$, то max. E буде ліворуч од місця перерви m суцільності кривої, себ-то на галузі am' ; через те на фіг. 56 площа зрушення буде лівіша від площини AC , що відповідає точці C розподілу вантаги. Якщо ж тиск E землі змінюється переривно з зміною кута α так, що ліворуч од точки розподілу C вантаги $\frac{dE}{d\alpha} > 0$ (фіг. 57''), а праворуч $\frac{dE}{d\alpha} < 0$, то max. E буде в місці



Фіг. 57''.

перерви суцільності, а саме $\max.E = \overline{mm''}$; через те на фіг. 56 площа зрушення буде площа AC , що відповідає точці C розподілу вантаги.

При непереривній рівномірно-розподіленій вантажі в § 7 з умови $\frac{dE}{dx} = 0$ знайшли, що вага земляної призми зрушення разом із зведеню до землі вантагою дорівнює

$$G = \Delta ACJ \cdot \left(\gamma + \frac{2p}{h'} \right),$$

де p є рівномірно-розподілена вантага (див. формулу (15) в § 7).

На випадок переривної вантаги p' і p'' (фіг. 56), коли $\frac{dE}{dx} > 0$

або $\frac{dE}{dx} < 0$, матимемо

$$G \leq \Delta ACJ \left(\gamma + \frac{2p}{h'} \right);$$

для точки C (фіг. 56) розподілу вантаги непереривно розподілена вантага p' раптом переходить у p'' , отже для площині AC маємо

$$G > \Delta ACJ \left(\gamma + \frac{2p'}{h'} \right)$$

і

$$G < \Delta ACJ \left(\gamma + \frac{2p''}{h'} \right),$$

або

$$G - \Delta ACJ \left(\gamma + \frac{2p'}{h'} \right) > 0 \quad \left. \begin{array}{l} \\ \end{array} \right\}$$

і

$$G - \Delta ACJ \left(\gamma + \frac{2p''}{h'} \right) < 0 \quad \left. \begin{array}{l} \\ \end{array} \right\}$$

(75)

перша із залежностей (75) додатня, себ-то $\frac{dE}{dx} > 0$, а друга від'ємна,

себ-то $\frac{dE}{dx} < 0$, отже площа зрушення буде площа AC (фіг. 56)

і точці C розподілу відповідає $\max.E$ (порівн. фіг. 57"). Коли

обидві залежності (75) додатні, себ-то $\frac{dE}{dx} > 0$, то площа зрушення буде правіша від площині AC (порівн. фіг. 57); коли ж обидва

вирази (75) будуть від'ємні, себ-то $\frac{dE}{da} < 0$, то площа зрушення буде лівіша за площу AC (фіг. 56) (порівн. фіг. 57). Отже, щоб визначити положення площи зрушення при переривній рівномірно-розподіленій вантажі ми тримаємося знака виразів (75), себ-то знаки двох величин:

$$\left. \begin{array}{l} G - \Delta ACJ \left(\gamma + \frac{2p'}{h'} \right) \\ i \\ G - \Delta ACJ \left(\gamma + \frac{2p''}{h'} \right) \end{array} \right\} \quad (75')$$

Якщо основа $\triangle ACJ$ (фіг. 56) є $\overline{AJ} = n$ і висота $\overline{C_0C} = e$, то $\Delta ACJ = \frac{1}{2} \cdot n \cdot e$; а тому величини (75') можна написати так:

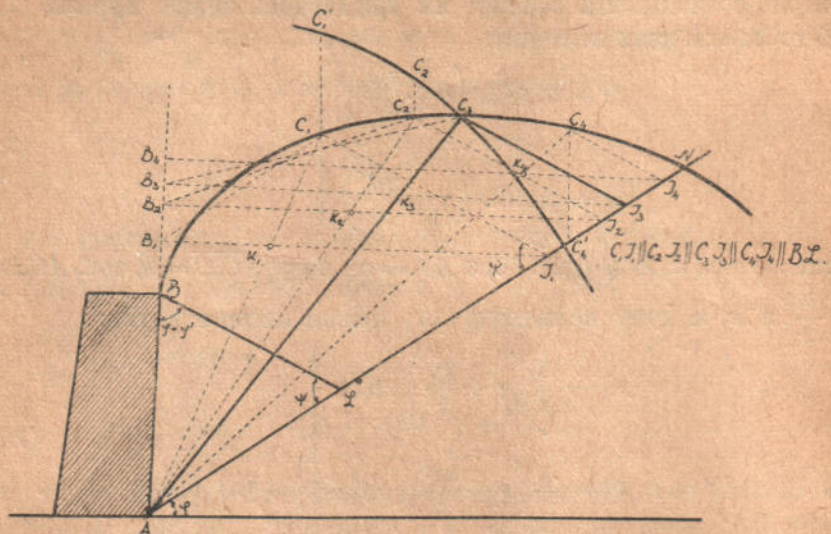
$$\left. \begin{array}{l} G - \frac{1}{2} \left(\gamma + \frac{2p'}{h'} \right) \cdot n \cdot e \\ i \\ G - \frac{1}{2} \left(\gamma + \frac{2p''}{h'} \right) \cdot n \cdot e \end{array} \right\} \quad (75'')$$

3. Коли на поверхню землі діють зосереджені вантаги, ці вантаги замінюються вагою певного стовпа землі, себ-то замінюються зведеню до землі рівномірно-розподіленою вантагою; при цьому одержана непереривна рівномірно-розподілена вантага розподіляється на поверхні землі, починаючи з верху B стінки (фіг. 56). Величина цієї непереривної вантаги залежить од того, як передається землі тиск зосередженими вантагами; так, наприклад, тиск коліс паротягу на землю передається через постіль злежня й баластний шар під кутом у 30° до вертикали, як це й було зазначено в § 4. При цьому беруть на увагу, звичайно, тільки зосереджені вантаги, розміщені над призмою зрушення на протязі BC (фіг. 56).

§ 16. Визначення положення площи зрушення спробами при довільному обрисі поверхні землі (спосіб Вінклерів).

Припустімо, що поверхня землі є довільна крива поверхня BB' (фіг. 58); щоб одшукати спробами положення площи зрушення в даному випадкові, ми вже в § 5 зазначали спосіб Pillet, який, однаке, не досить швидко доводить мети. Зазначений

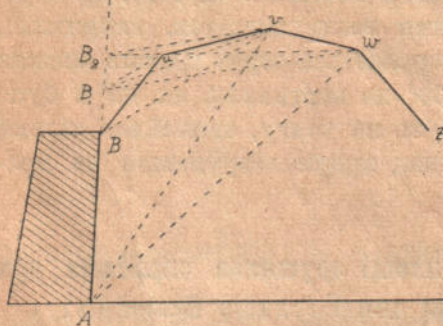
нижче спосіб, що на нього вказав проф. Вінклер (Winkler), є простіший і швидший. Припустімо, що справжня лінія зрушения є лінія AC_3 (фіг. 58). Перетворімо пов. ABC_3 в еквівалентний трикутник AB_3C_3 ; щоб перетворити, замінимо криву



Фіг. 58.

BC_3 на ламану лінію і зробимо перетворення в трикутник, як це зазначено на фіг. 59. На фіг. 59 лінію землі дано вигляді

ламаної $Buvw$; пов. $ABuv$ перетворена в рівну їй пов. трикутника AB_1v , що його вершок B_1 лежить на продовженні заднього боку AB стінки; щоб перетворити $ABuv$ в рівний (поверхнею) трикутник AB_1v , з'єднуємо B і v простою Bv , із точки u проводимо пристою $uB_1 \parallel Bv$ до перетину її в точці B_1 , з продовженням пристої AB ; тоді одержимо два еквівалентні трикутники Buv і BB_1v ; прикладаючи до трикутника ABv трикутник Buv , матимемо пов. $ABuv$; а прикладаючи до того-ж трикутника ABv трикутник BB_1v , еквівалентний з трикутником Buv , одержимо трикутник AB_1v ;



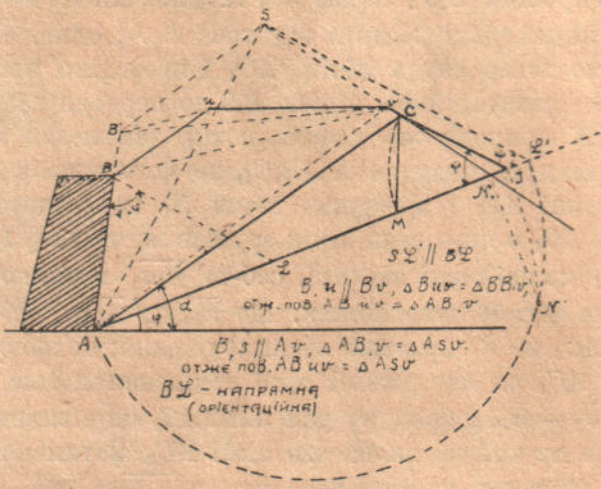
Фіг. 59.

отже поверхня трикутника AB_1v дорівнює пов. AB_1w . Далі на фіг. 59 перетворюємо так само пов. AB_1vw на еквівалентний трикутник AB_2w , проводячи просту $vB_2 \parallel wB_1$ і маючи два еквівалентні трикутники B_1vw і B_1B_2w . Зробивши перетворення поверхні ABC_3 (фіг. 58) в рівновеликий їй трикутник AB_1C_3 , ми прийшли до випадку простолінійної форми поверхні землі B_3C , як це є наприклад на фіг. 41; тільки тут, на фіг. 58, за вершок стінки ми вважаємо точку B_3 . Взявши точку B_3 за верх стінки, будуємо за Понслé-Ребганом положення точки J_3 , яку з'єднуємо з точкою B_3 простою B_3J_3 ; якщо AC_3 є площа зрушения, то точка k_3 перетину AC_3 з простою B_3J_3 згідно з § 12 (див. кінець його) є точка, що ділить надві рівні частині відтинок B_3J_3 , отже, $\overline{B_3k_3} = \overline{k_3J_3}$.

Візьмімо тепер якусь лінію AC_1 і проведімо просту C_1J_1 , рівнобіжну з орієнтаційною лінією BL до перетину її в точці J_1 з лінією AN природнього укосу; потім замінююмо пов. ABC_1 на рівну з нею пов. трикутника AB_1C_1 , що його вершок B_1 лежить на продовженні AB , і з'єднуємо точки B_1 та J_1 простою B_1J_1 . Якщо лінія AC_1 є справжня лінія зрушения, то за § 12 точка k_1 ділить B_1J_1 на дві рівні частині, себ-то $\overline{B_1k_1}$ повинно дорівнювати $\overline{k_1J_1}$; на фіг. 58 виявляється, що $\overline{k_1J_1} > \overline{B_1k_1}$, себ-то проведена лінія AC_1 не є справжня лінія зрушения; похибку у відхиленні лінії AC_1 од справжньої лінії зрушения можна виразити різницею $\overline{k_1J_1} - \overline{B_1k_1}$, причому для лінії AC_1 ця різниця додатня. Так само для другої взятої наоко лінії AC_2 матимемо похибку $\overline{k_2J_2} - \overline{B_2k_2}$ (фіг. 58), що теж додатня, бо $\overline{k_2J_2} > \overline{B_2J_2}$. Для лінії AC_4 (фіг. 58) похибка $\overline{k_4J_4} - \overline{B_4J_4}$ від'ємна, бо $\overline{k_4J_4} < \overline{B_4J_4}$. Взявши декілька ліній AC_1, AC_2, AC_4 , ї т. і. на спробу, ми визначимо для них величини похибок, які відповідали б нашому припущення, що ці лінії є справжні лінії зрушения; далі відзначимо величини цих похибок по вертикалях у відповідних точках C_1, C_2, C_4 , ї т. і. так, що $\overline{k_1J_1} - \overline{B_1J_1} = \overline{C_1C'_1}, \overline{k_2J_2} - \overline{B_2J_2} = \overline{C_2C'_2}, \overline{k_4J_4} - \overline{B_4J_4} = \overline{C_4C'_4}$ й ін.; з'єднавши кінці C'_1, C'_2, C'_4 , ї т. і. лінією, ми матимемо криву $C'_1C'_2C'_4\dots$ похибок, що в ній ординати $\overline{C_1C'_1}, \overline{C_2C'_2}, \dots$, відкладені вгору від лінії BN землі, додатні, а ординати $\overline{C_4C'_4}, \dots$, відкладені вниз од лінії BN землі, від'ємні. Ця крива $C'_1C'_2C'_4\dots$ похибок перетинає лінію землі BN в якісь точці C_3 , що для неї ордината, себ-то похибка, є нуль; отже точка C_3 відповідає справжній площині зрушения AC_3 , що для неї маємо рівність $\overline{k_3J_3} = \overline{B_3k_3}$.

§ 17. Визначення тиску землі при плоскій стінці та ламаній лінії землі.

На фіг. 60 нарисовано плоску стінку AB і лінію землі в формі ламаної $Buvw$. Припустімо, що за Вінклеровим способом спробами визначено, що справжня площа зрушения AC іде так, що точка C міститься на частині vw лінії землі; на таке положення площини AC нам указує те, що на лінії vw землі будуть і додатні й від'ємні похибки. Як зазначено в § 16 (див. фіг. 59), перетворюємо поверхню $ABuv$ в рівну з нею поверхню

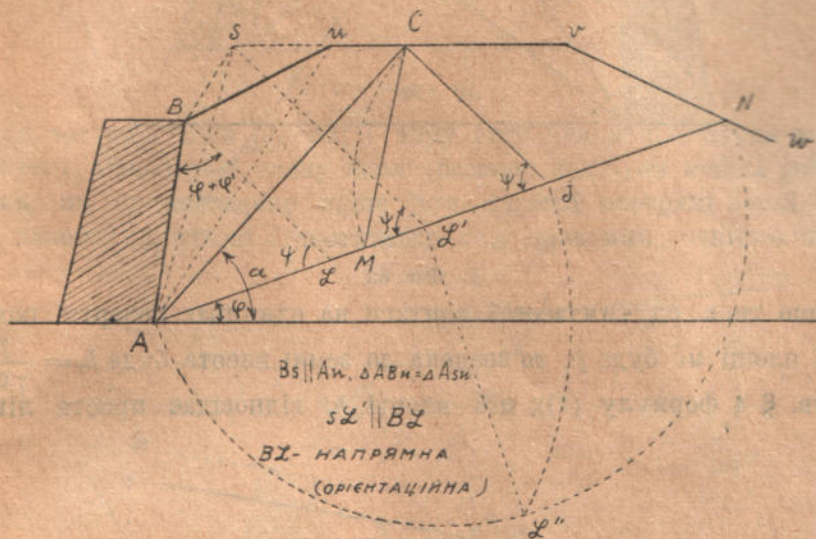


Фіг. 60.

трикутника AB_1v , що його вершок B_1 лежить на продовженні AB . Далі пов. трикутника AB_1v перетворюємо на рівну пов. трикутника Asv , для чого через точку B_1 проводимо пристру $B_1s \parallel Av$ до перетину її в точці s з пристрою vw землі; отже пов. $ABuv =$ пов. $\triangle Asv$, а через це й пов. $ABuvC =$ пов. $\triangle AsC$. За Понслé-Ребганом пов. $ABuvC =$ пов. $\triangle ACJ$, через це й пов. $\triangle AsC =$ пов. $\triangle ACJ$; положення точки J визначиться через Понслé-Ребганове будування: через точку s проводимо пристру sL' рівнобіжно з напрямною BL до перетину її в точці L' з лінією природнього укосу й будуємо відтинок AJ як середню пропорціональну між AN і AL' , і таким чином маємо трикутника тиску CJM , що й визначає тиск землі на стінку AB . На фіг. 60 напрямна лінія BL іде вище за лінію sw землі; а тому при будуванні за Понслé-Ребганом півколо накреслюємо на AL' як на

поперечникові, а нормалю NN' до AN проводимо з точки N перетину uv землі з лінією AN природнього укусу.

На фіг. 61 вказано випадок, коли точка C лінії зрушення AC міститься на частині uv землі. Тут перетворюємо трикутник ABu в рівновеликий йому трикутник Asu , проводячи через вершок B стінки просту $Bs \parallel Au$ до перетину uv в точці s з простором uv землі; тоді $\triangle ABu = \triangle Asu$, і значить, пов. $ABuC =$ пов. $\triangle AsC =$ пов. $\triangle ACJ$; положення точки J визначаємо за Понслé-Ребгановим збудуванням, проводячи через s просту $sL' \parallel BL$. На фіг. 62 наведено такий випадок, коли лінія землі обмежена двома простими

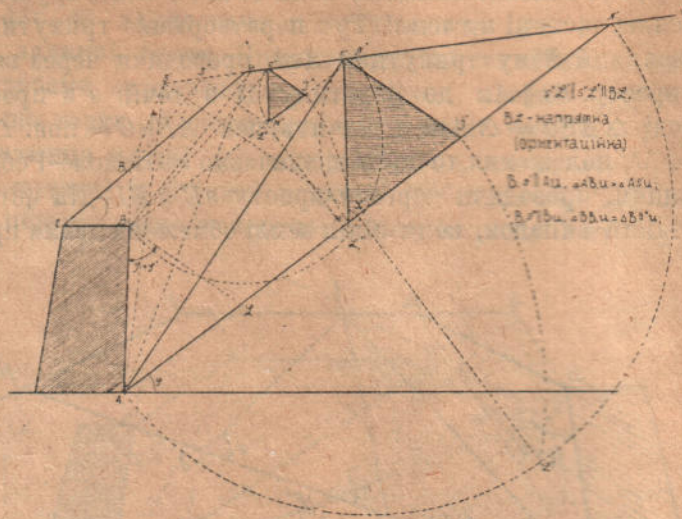


Фіг. 61.

tu та uv , причому горішня площа стінки вкрита землею. В цьому випадкові, продовживши AB до перетину з tu в точці B_1 , маємо дві фіктивні стінці AB_1 і BB_1 . Визначаємо за Вінклером положення точок C' і C'' площ зрушення для цих двох стінок; потім перетворюємо, як це зазначено на фіг. 61, пов. AB_1uC' і BB_1uC'' в рівні з ними пов. трикутників $As'C'$ і $Bs'C''$ і будуємо за Понслé-Ребганом трикутники тисків $C'J'M'$ і $C''J''M''$. Тиск землі на фіктивну стінку AB_1 дорівнюватиме $\triangle C'J'M' \cdot \gamma$, де γ є вага одиниці об'єму землі; а тиск землі на фіктивну стінку BB_1 буде $\triangle C''J''M'' \cdot \gamma$; отже тиск землі на дану стінку AB , коли немає тимчасової вантажі, буде:

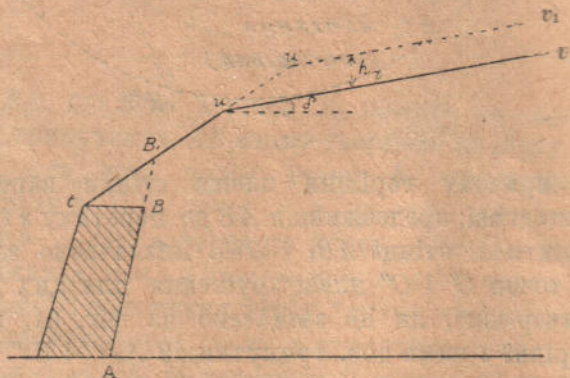
$$E = \gamma \cdot \triangle C'J'M' - \gamma \cdot \triangle C''J''M'' = \gamma \cdot (\triangle C'J'M' - \triangle C''J''M'').$$

На фіг. 63 вказано випадок, коли горішню частину стінки вкрито землею і на лінії uv землі міститься тимчасова вантага.



Фіг. 62.

Якщо тиск од тимчасової вантаги на одиницю поверхні похилої площині uv буде p , то зведена до землі висота буде $h_r = \frac{p}{\gamma \operatorname{cs} \delta}$ (див. § 4 формулу (2)); цій висоті h_r відповідає приста лінія

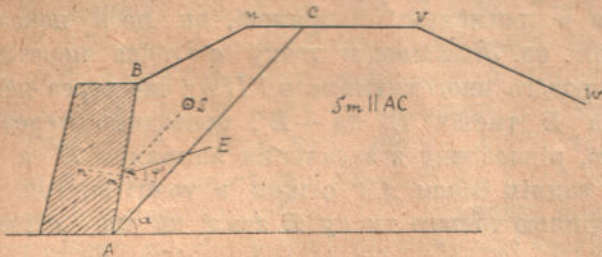


Фіг. 63.

вантаги $u'v'$, рівнобіжна до uv . Якщо лінія uv позема, то зведена висота $h_r = \frac{p}{\gamma}$, бо $\operatorname{cs} \delta = 1$.

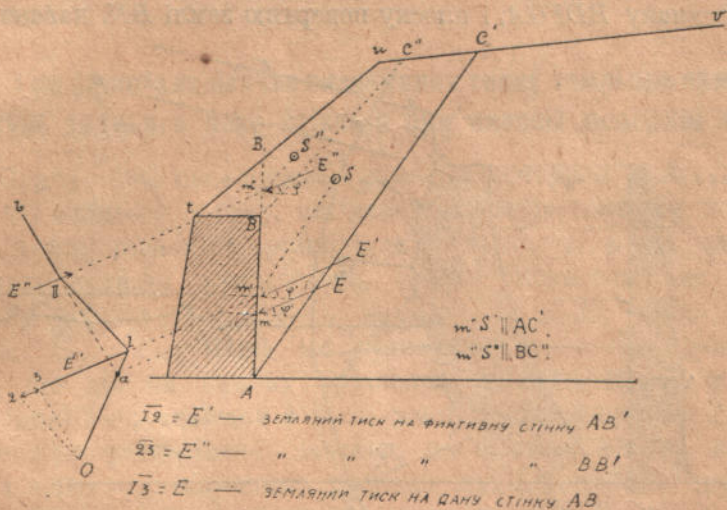
Збудувавши вантажну лінію $u'v'$, беремо нову лінію землі по ламаній $tu'v'$ і переводимо далі будування за фіг. 62.

Розглядаючи фіг. 62, бачимо, що для частини плоскої стінки BB_1 і всієї стінки AB_1 площини зрушення BC'' і AC' не рівнобіжні, як тоді, коли лінія землі проста, приміром на фіг. 41; отже закон розподілу тиску землі на задній бік стінки буде



Фіг. 64.

для частин стінки різний; а тому визначення положення точок зачепу рівнодійної тиску землі (роздору землі) не можна робити так, як це зазначено вище для плоскої поверхні землі. Але в даному випадкові з достатньою для практики точністю положення точок зачепу можна визначити, якщо використати



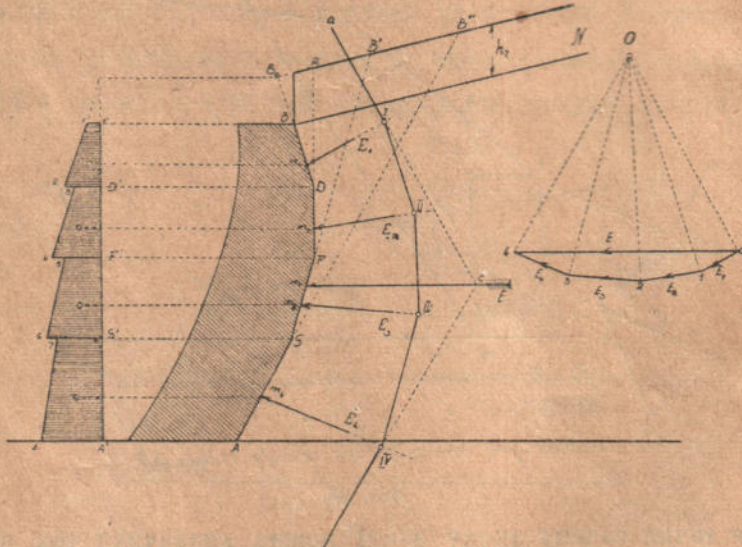
Фіг. 65.

ження точки зачепу тиску землі можна визначити так: визначивши положення осередку ваги S призми зрушенння (фіг. 64), проводимо через нього просту рівнобіжну з площею зрушенння; тоді ця приста перетне задній бік стінки в точці t , що й буде зачіпною точкою тиску землі. В тому випадкові, коли горішня площа стінки вкрита землею (фіг. 65), визначаємо за фіг. 64

положення точки m' зачепу земляного тиску E' на фіктивну стінку AB_1 (фіг. 65) і точки m'' зачепу тиску землі E'' на фіктивну стінку BB_1 ; тиск E землі на дану стінку AB визначається різницею тисків E' та E'' , і щоб знайти положення цієї рівнодійної E за допомогою шнурового многокутника, силу E'' треба прикладти в протилежному напрямові, як це й показано в лівій частині фіг. 65. Знайшовши точку a (точка перетину крайніх боків шнурового многокутника $a \text{---} II \text{---} b$), що через неї проходить рівнодійна E тисків E' та $-E''$, проводимо через цю точку приступу am , рівнобіжну з загальним напрямом E' та E'' до перетину її з заднім боком AB стінки в точці m ; тоді ця точка m і буде зачіпною точкою тиску E землі на дану стінку AB .

§ 18. Графічне визначення тиску землі при плоскій поверхні землі й при стінці, що її задній бік являє ламану або криву лінію (фіг. 66).

На фіг. 66 нарисовано стінку, що обрис її заднього боку являє ламану $BDFGA$, і плоску поверхню землі BN , навантажену



Фіг. 66.

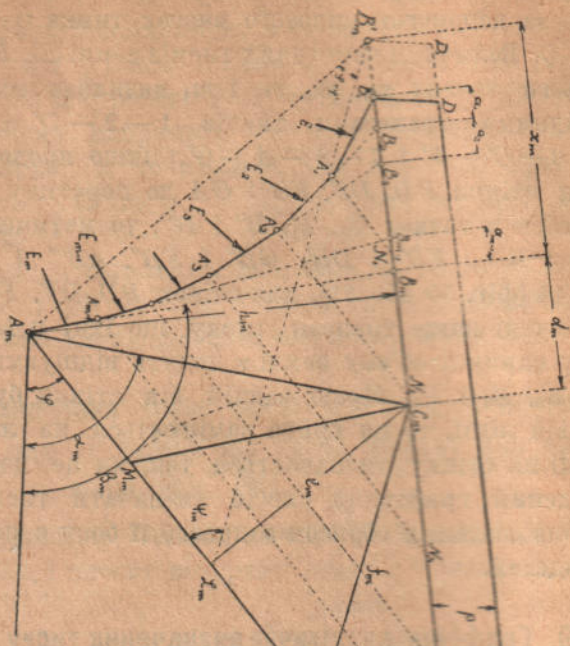
рівномірно-розділеною зведеню вантагою h_r . Щоб визначити цілий тиск землі E на стінку $BDFGA$ й точку m зачепу його, треба знайти тиски E_1 , E_2 , E_3 і E_4 на окремі частині BD , DF ,

FG і GA стінки, і ці частинні тиски додати в рівнодійну E за допомогою шнурового многокутника $a \text{---} III \text{---} IV \text{---} b$, побудованого за допомогою силового многокутника $0 \text{---} 1 \text{---} 2 \text{---} 3 \text{---} 4$ з полюсом O . Величини частинних тисків землі E_1, E_2, E_3 та E_4 і точки їхнього зачепу m_1, m_2, m_3 і m_4 визначаються згідно з § 14 відповідними трапезами тисків $1 \text{---} 2 \text{---} D' \text{---} 1'$, $3 \text{---} 4 \text{---} F' \text{---} D'$, $5 \text{---} 6 \text{---} G' \text{---} F'$ і $7 \text{---} 8 \text{---} A \text{---} G'$. Якщо продовжимо напрями частин стінки BD, DF, FG і GA до перетину з лінією зведеної вантаги в точках B_0, B', B'' і B''' , то матимемо фіктивні стінки DB_0 і BB_0 , FB' і DB' , GB'' і FB'' , AB''' і GB''' ; тоді, згідно з § 14 (фіг. 50 або 51), для стінок BD, DF, FG і GA збудуються зазначені вище трапези тиску, що їхні поверхні помножені на вагу одиниці об'єму землі γ , дадуть відшукувані частинні тиски E_1, E_2, E_3 і E_4 . Якщо задній бік стінки буде обрисований по кривій лінії, то ця крива замінюється на ламану лінію, і тиск землі на стінку визначається так, як це допіру вказано. Викладений графічний спосіб визначати тиск землі на стінку з криволінійним обрисом заднього її боку є найпростіший і найшвидший.

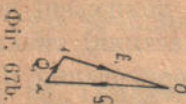
§ 19. Графічно-аналітичне визначення тиску землі при ламаному контурі заднього боку стінки й при плоскій поверхні землі.

Припустімо, що є стінка з ламаним контуром $B_1A_1A_2A_3\dots A_m$ (фіг. 67) заднього її боку, що навантажена по плоскій поверхні B_1N_m землі рівномірно-розподіленою вантагою p на одиницю поверхні похилої площині B_1N_m землі. Тиски землі на окремі частини стінки $B_1A_1, A_1A_2, A_2A_3, \dots A_{m-1}, A_m$ нехай будуть $E_1, E_2, E_3, \dots E_m$. Якщо ми позначимо через G_m прямовісну силу, що діє на призму зрушення $A_mB_1C_m$ (A_mC_m є площа зрушення) і складається з ваги самої земляної призми $A_mB_1C_m$ і рівномірно-розподіленої вантаги, що діє на неї на довжині B_1C , і через Q_m позначимо реакцію на площині A_mC_m зрушення з боку маси землі, що міститься нижче, то сили $E_1, E_2, E_3, \dots E_m, G_m$ і Q_m перебуватимуть у рівновазі (граничній) і утворять замкнений силовий многокутник $0123\dots mao$ (фіг. 67a). Якщо тиски землі $E_1, E_2, E_3, \dots E_{m-1}$ визначити, то визначиться і тиск E_m . Щоб визначити E_m , продовжимо вектора E_m на фіг. 67a до перетину його в точці m' з напрямом сили G_m ; тоді сила G_m розкладеться на дві частині $G'_m = \overline{om'}$ і $G''_m = \overline{m'a}$, причому сила G'_m

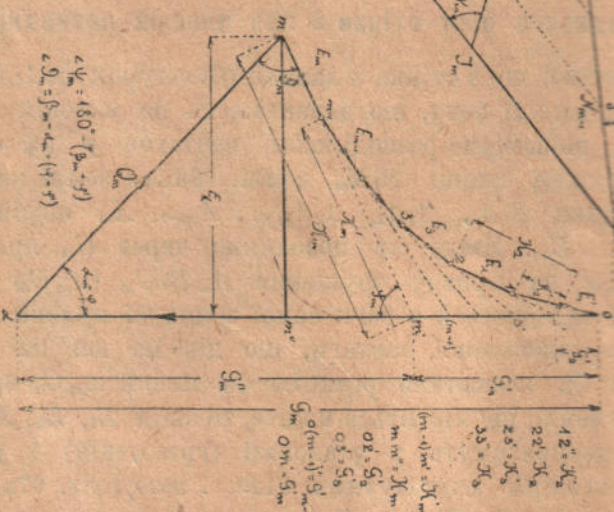
цілком визначиться, бо сили $E_1, E_2, E_3, \dots, E_{m-1}$ дано величиною й напрямом, а силу E_m дано напрямом (під кутом φ до



Фіг. 67



Фіг. 67b.



Фіг. 67а

нормали частини стінки $A_{m-1}A_m$ на фіг. 67); так само буде відома й сила $K'_m = \overline{(m-1)m'}$, що являє собою бік, що замикає силовий многокутник $0123\dots m-1, m'$; коли силу, що

Її представляє вектор $\overrightarrow{mm'}$ на фіг. 67а, позначити через K_m , то відшуканий тиск

$$E_m = \overline{mm'} - (m - 1)\overline{m'} = K_m - K'_m; \quad (76)$$

отже визначення величини тиску землі E_m на будь-який m -ий бік $A_{m-1}A_m$ ламаного контуру заднього боку стінки полягає в визначенні сил K_m і K'_m . Сили K_m , G''_m і Q_m перебувають у рівновазі й утворюють замкнений силовий трикутник $mm'a$ (фіг. 67а), де сила $G''_m = G_m - G'_m$. Із силового трикутника $mm'a$ маємо, що $K_m = G''_m \cdot \frac{\operatorname{sn}(\alpha_m - \varphi)}{\operatorname{sn}\vartheta} = G''_m \cdot \frac{\operatorname{sn}(\alpha_m - \varphi)}{\operatorname{sn}[\beta_m - \alpha_m + (\varphi + \varphi')]};$ вважаючи, що K_m змінюється неперервно з зміною кута α_m нахилу площини зрушенні до позему, матимемо $\max. K_m$ із умовою $\frac{dK_m}{d\alpha_m} = 0$. Величина K_m складається так само, як у § 5, з величини тиску землі E (див. формулу (7) § 5), а тому із умовою $\frac{dK_m}{d\alpha_m} = 0$ ми матимемо такий самий вираз для сили G''_m , як ми мали в § 7 для сили G із умовою $\frac{dE}{dz} = 0$, а саме вираз однаковий із виразом (15') § 7, себ-то

$$G''_m = \gamma' \cdot \Delta A_m C_m J_m, \quad (77)$$

де $\gamma' = \gamma + \frac{2p}{h_m}$, причому h_m в даному разі є довжина нормали з точки A_m (фіг. 67) на напрям лінії B_1N_m землі.

Візьмімо тепер на лінії B_1N_m землі якусь точку B'_m так, щоб пов. $\Delta A_m B'_m C_m$ дорівнювала пов. $\Delta A_m C_m J_m$; тоді ми матимемо уявну (фіктивну) площину стінки $A_m B'_m$ з плоскою поверхнею землі $B'_m N_m$, що навантажена рівномірно-розподіленою вантагою p з лінією вантаги D_1D' (як додано крапковою лінією на фіг. 67). Для такої стінки $A_m B'_m$ і побудовано за Понслé-Ребганом трикутника $A_m C_m J_m$, причому приста $B'_m L$ є напрямна лінія (орієнтаційна); база $C_m J_m = f_m$ трикутника $A_m C_m J_m$ рівнобіжна з напрямною $B'_m L$ і висота його e_m є висота трикутника тиску $C_m J_m M_m$. З будування $\Delta A_m B'_m C_m = \Delta A_m C_m J_m$, отже $\gamma' \cdot \Delta A_m B'_m C_m = \gamma' \cdot \Delta A_m C_m J_m$; але за (77) сила $G'' = \gamma' \cdot A_m C_m J_m$, а тому

$$\gamma' \Delta A_m B'_m C_m = G''_m = G_m - G'_m. \quad (78)$$

Продовжимо напрями стінок B_1A_1 , A_1A_2 , $A_2A_3, \dots, A_{m-1}, A_m$ (фіг. 67) до перетину їх з лінією B_1N_m землі відповідно в точках

$B_1, B_2, B_3, \dots, B_{m-1}, B_m$; визначивши положення на лінії B_1N_m землі точок $B'_1, B'_2, B'_3, \dots, B'_{m-1}, B'_m$ із умов рівності поверхонь $\triangle A_1B'_1C_1 = \triangle A_1C_1J_1$, $\triangle A_2B'_2C_2 = \triangle A_2C_2J_2$, $\triangle A_3B'_3C_3 = \triangle A_3C_3J_3, \dots, \triangle A_{m-1}B'_{m-1}C_{m-1} = \triangle A_{m-1}C_{m-1}J_{m-1}$, $\triangle A_mB'_mC_m = \triangle A_mC_mJ_m$, позначімо віддалі точок $B'_1, B'_2, B'_3, \dots, B'_{m-1}, B'_m$ від точок $B_1, B_2, B_3, \dots, B_{m-1}, B_m$ відповідно через $x_1, x_2, x_3, \dots, x_{m-1}, x_m$; при цьому, очевидчики, для першої стінки B_1A_1 точка B'_1 впаде на точку B_1 і віддаль $x_1 = 0$, себ-то ми в цьому випадкові маемо дійсну плоску стінку B_1A_1 . Довжини нормалів на напрям лінії B_1N_m землі з точок $A_1, A_2, A_3, \dots, A_{m-1}, A_m$, або, що те саме, висоти трикутників $A_1B_1C_1, A_2B_2C_2, A_3B_3C_3, \dots, A_{m-1}B_{m-1}C_{m-1}, A_mB_mC_m$ позначімо відповідно через $h_1, h_2, h_3, \dots, h_{m-1}, h_m$; віддалі точок $B_1, B_2, B_3, \dots, B_{m-1}, B_m$ від відповідних їм точок $C_1, C_2, C_3, \dots, C_{m-1}, C_m$ площин зрушення позначімо через $d_1, d_2, d_3, \dots, d_{m-1}, d_m$; взаємні віддалі точок $B_1, B_2, B_3, \dots, B_{m-1}, B_m$ через $a_1, a_2, a_3, \dots, a_{m-1}, a_m$. На фіг. 67 для більшої ясності рисунка точки $B'_2, B'_3, \dots, B'_{m-1}$ і точки $C_1, C_2, C_3, \dots, C_{m-1}$, площин зрушення, що відповідають дійсній плоскій стінці B_1A_1 і фіктивним плоским стінкам $B'_2A_2, B'_3A_3, \dots, B'_{m-1}A_{m-1}$, не нанесені; ці точки B'_m і C_m зазначені тільки для m -ої фіктивної стінки $B'_m A_m$. Залежність (78) буде спрощуватися для всіх фіктивних стінок $B'_2A_2, B'_3A_3, \dots, B'_{m-1}A_{m-1}, B'_m A_m$, причому індексові m у цій залежності треба надати значення від 2 до m ; а для дійсної стінки B_1A_1 , що для неї точка B'_1 припадає на точку B_1 , сила $G'_1 = 0$, як видно з фіг. 67a, де сила E_1 перетинає силу G_m в точці O ; у цьому випадкові сила G_m буде прямовісною силою, що діє на призму зрушення $A_1B_1C_1$ і рівна з G_1 , як це показано на фіг. 67b в силовому трикутнику $1Oa$, де сили E_1, G_1 і реакція Q_1 уміщеної нижче від площин зрушення A_1C_1 маси землі перебувають у рівновазі.

Визначимо тепер для m -ої фіктивної стінки $B'_m A_m$ віддалі $B'_m B_m = x_m$. Із фіг. 67 маемо $\triangle A_m B'_m C_m = \frac{1}{2} (x_m + d_m) \cdot h_m$; себ-то згідно з (78) матимемо

$$\gamma' \cdot \frac{1}{2} (x_m + d_m) \cdot h_m = G_m - G'_m,$$

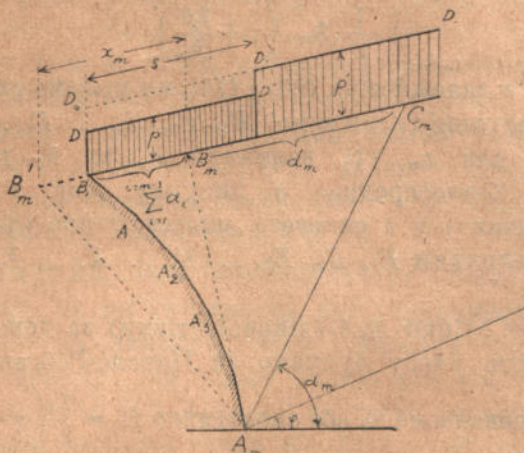
або

$$\frac{1}{2} \left(\gamma + \frac{2p}{h_m} \right) \cdot (x_m + d_m) \cdot h_m = G_m - G'_m. \quad (79)$$

Але прямовісна сила G_m , як це видно із позначень фіг. 67, дорівнює

$$G_m = \sum_{i=1}^{i=m-1} p \cdot a_i \cdot 1 + p \cdot d_m \cdot 1 + \sum_{i=1}^{i=m-1} \frac{1}{2} \cdot a_i \cdot h_i \cdot 1 \cdot \gamma + \frac{1}{2} \cdot d_m \cdot h_m \cdot 1 \cdot \gamma = \\ = \sum_{i=1}^{i=m-1} p \cdot a_i + p \cdot d_m + \sum_{i=1}^{i=m-1} \frac{1}{2} \cdot a_i \cdot h_i \cdot \gamma + \frac{1}{2} \cdot d_m \cdot h_m \cdot \gamma,$$

тут індекс i для всіх віддалів a , d і висот h змінюється від 1 до $m-1$. Ставлячи цей вираз G_m в рівність (79), знаходимо, що



Фіг. 68.

$$x_m = \frac{\frac{1}{2} \gamma \sum_{i=1}^{i=m-1} a_i \cdot h_i + p \sum_{i=1}^{i=m-1} a_i - G'_m}{\frac{1}{2} \cdot \gamma \cdot h_m + p} = \frac{\sum_{i=1}^{i=m-1} \left(\frac{1}{2} \gamma \cdot a_i \cdot h_i + p \cdot a_i \right) - G'_m}{\frac{1}{2} \cdot h_m \cdot \left(\gamma + \frac{2p}{h_m} \right)} = \\ = \frac{\sum_{i=1}^{i=m-1} a_i \cdot \frac{1}{2} \cdot h_i \left(\gamma + \frac{2p}{h_i} \right) - G'_m}{\frac{1}{2} h_m \cdot \left(\gamma + \frac{2p}{h_m} \right)}. \quad (80)$$

Якщо рівномірно-розподілена вантага дана так, як це зазначено на фіг. 68, де на довжині DD' іде вантага p , а на довжині $D_1 D_1'$ вантага p' (переривна вантага), то можна уявити собі, що вантага p' іде на всій довжині $D_0 D_1'$, с.-то від вершка B_1 стінки; тоді прямовісна сила G_m , що діє на призму $A_m A_{m-1} \dots A_3 A_2 A_1 B_1 C_m$ зрушення дорівнюватиме вантажі на довжині $B_1 C_m$ від рівно-

мірно-роаподіленої вантаги p' і ваги самої земляної призми $A_m A_{m-1} \dots A_3 A_2 A_1 C_m$, віднявши вантагу на довжні s од рівномірно-розподіленої вантаги $p' - p$; отже

$$G_m = \sum_{i=1}^{i=m-1} p'.a_i + p'.d_m + \sum_{i=1}^{i=m-1} \frac{1}{2} \cdot a_i \cdot h_i \cdot \gamma + \frac{1}{2} \cdot d_m \cdot h_m \cdot \gamma - (p' - p) \cdot s;$$

ставлячи це значення G_m в залежність (79), знайдемо, що

$$x_m = \frac{\sum_{i=1}^{i=m-1} a_i \cdot \frac{1}{2} \cdot h_i \cdot \left(\gamma + \frac{2p'}{h_i} \right) - G'_m - (p' - p) \cdot s}{\frac{1}{2} \cdot h_m \cdot \left(\gamma + \frac{2p'}{h_m} \right)}. \quad (80')$$

Користуючись з залежностей (80) і (76), ми можемо визначити по-слідно всі частинні тиски землі $E_1, E_2, E_3, \dots E_i, \dots E_{m-1}, E_m$. У виразі (80) для x_m усі величини a_i та h_i дано, бо ми одержуємо їх безпосередньо з рисунку (фіг. 67); а величини G'_m визначаються з силового многокутника (фіг. 67a). Визначатимемо величини $E_1, E_2, E_3, \dots E_i, \dots E_{m-1}, E_m$ за таким способом.

Для першої стінки $B_1 A_1$ (дійсної стінки) за допомогою лінії $A_1 N_1$ природнього укосу будуємо за Понслé-Ребганом трикутника тиску й визначаємо E_1 або аналітично $E_1 = \frac{1}{2} \left(\gamma + \frac{2p}{h_1} \right) \cdot e_1 \cdot f_1$, де e_1 і f_1 це висота й основа трикутника тиску, або графічно, перетворюючи трикутника тиску на прямокутний трикутник тиску, як це зазначено в § 14 на фіг. 50; далі з силового многокутника на фіг. 67a беремо величини G'_2 і K'_2 (виміром за рисунком); потім за (80) визначаємо віддалю x_2 точки B'_2 від точки B_2 , підставляючи в (80) одержану величину G'_2 ; визначивши точку B'_2 , будуємо за Понслé-Ребганом на лінії $A_2 N_2$ природнього укосу трикутника тиску з висотою e_2 і основою f_2 для фіктивної плоскої стінки $A_2 B'_2$, проводячи напрямну $B'_2 L_2$ під кутом $\varphi + \varphi'$ до напряму $B'_2 A_2$, і цим визначаємо величину $K_2 = \frac{1}{2} \left(\gamma + \frac{2p}{h_2} \right) \cdot e_2 \cdot f_2$; далі за (76) визначаємо $E_2 = K_2 - K'_2$.

Позначаючи на фіг. 67a тиск E_2 розміром і напрямом і проводячи напрям тиску E_3 , маємо величини G'_3 і K'_3 ; потім за (80) визначаємо віддалю x_3 точки B'_3 од точки B_3 і для фіктивної плоскої стінки $B'_3 A_3$ будуємо за Понслé-Ребганом трикутника тиску на лінії $A_3 N_3$ природнього укосу з висотою e_3 і основою f_3 ,

проводячи напрямну B'_3L_3 під кутом $\varphi + \varphi'$ до напряму B'_3A_3 ; тоді визначиться величина $K_3 = \frac{1}{2} \left(\gamma + \frac{2p}{h_3} \right) e_{.3} \cdot f_3$ (на фіг. 67а величина $K_2 = \overline{33'}$), а за (76) і величина $E_3 = K_3 - K'_3$. Так само визначиться і решта тисків $E_4, E_5, \dots, E_{m-1}, E_m$. На фіг. 67 для ясності рисунку не показано збудування Понслé-Ребгана, отже не показано її фіктивні стінки $B'_2A_2, B'_3A_3, \dots, B'_{m-1}A_{m-1}$ і напрямні лінії $B'_2L_2, B'_3L_3, \dots, B'_{m-1}L_{m-1}$; так само на фіг. 67 не показано напрямну лінію B_1L_1 для дійсної плоскої стінки B_1A_1 . Визначивши окремі тиски $E_1, E_2, E_3, \dots, E_{m-1}, E_m$ на стінки $B_1A_1, A_1A_2, A_2A_3, \dots, A_{m-2}, A_{m-1}, A_{m-1}, A_m$ (фіг. 67) і знаючи з переднього їхні зачіпні точки, визначаємо рівнодійну E_{1-m} усіх цих тисків за допомогою шнурового многокутника.

Розглянувши допіру викладений спосіб визначати тиск землі в випадкові ламаного контура заднього боку стінки, бачимо, що цей спосіб вимагає чимало часу і не такий швидкий, як графічний спосіб, викладений в § 18.

Примітка. При криволінійному контурі заднього боку стінки, як ми вже знаємо, цей криволінійний контур замінюється на ламаний; якщо довжини окремих боків ламаного контуру не надто великі (на фіг. 67 довжини стінок $B_2A_2, A_2A_3, \dots, A_{m-1}, A_m$), то часто радять (проф. Мюллер-Бреслав) вважати тиски E_2, E_3, \dots, E_m за прикладені в серединах цих боків; що-ж до першого боку B_1A_1 (фіг. 67), то тиск E_1 на цей бік можна розікласти на дві частини — на тиск E'_1 од самої землі і на тиск E''_1 від самої тичасової вантаги p ; цей розклад робиться в відношенні

$$\gamma : \left(\gamma + \frac{2p}{h_1} \right), \text{ с.-то}$$

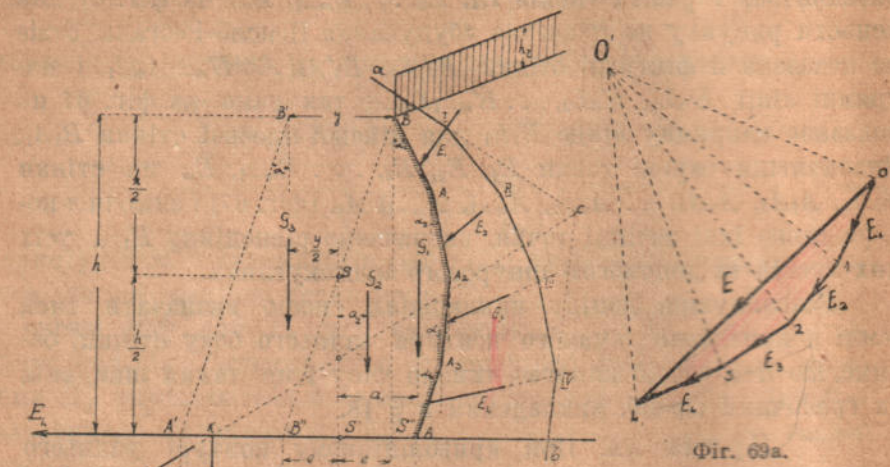
$$E'_1 = E_1 \cdot \frac{\gamma}{\gamma + \frac{2p}{h_1}}$$

$$E''_1 = E_1 - E'_1 = \frac{\frac{2p}{h_1}}{\gamma + \frac{2p}{h_1}};$$

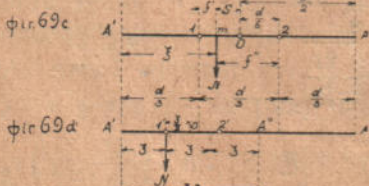
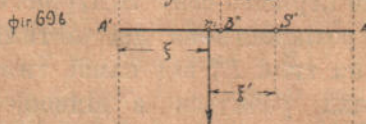
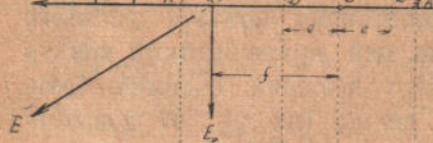
при цьому точку зачепу E''_1 вважають в середині стінки B_1A_1 , а точку зачепу E'_1 — на висоті спідньої третини стінки B_1A_1 .

§ 20. Розрахунок підпірної стінки.

Припустімо, що є підпірна стінка з ламаним контуром $BA_1 A_2 A_3 A$ (фіг. 69) заднього її боку; відхили окремих частин



Фіг. 69а.



Фіг. 69.

BA_1, A_1A_2, A_2A_3 і A_3A , с.-то тангенси кутів нахилу їх до вертикалі дано; отже дано: $i_1 = \operatorname{tg} \alpha$, $i_2 = \operatorname{tg} \alpha_2$, $i_3 = \operatorname{tg} \alpha_3$ і $i_4 = \operatorname{tg} \alpha_4$. Нахил зовнішнього боку $A'B'$ також дано, себ-то дано $i = \operatorname{tg} \alpha$.

Завдання розрахунку підпірної стінки передусім полягає в тому, щоб визначити товщину $\overline{BB'} = y$ в версі стінки; визначивши цей розмір $\overline{BB'}$, ми при даному відхиленні переднього боку $A'B'$ стінки і при даному положенні точки A основи стінки визначимо (через збудування) товщину $\overline{A'A}$ основи стінки; отже розміри стінки будуть визначені, себ-то стінка спроектована.

Самий хід розрахунку, щоб визначити розміри стінки, полягає ось у чому.

Спочатку, користуючись із указівок § 18 і 14, будуємо трапези тисків для окремих частин BA_1 , A_1A_2 , A_2A_3 , A_3A стінки і визначаємо величини тисків на ці частини E_1 , E_2 , E_3 і E_4 ; та їхні точки зачепу; після того за допомогою шнуркового многоугутника $a - I - II - III - IV - b$ (фіг. 67), збудованого з довільно взятым полюсом O' (фіг. 67a), визначаємо положення рівнодійної E всіх тисків E_1 , E_2 , E_3 і E_4 ; ця рівнодійна E перетне основу $A'A$ стінки в точці k (фіг. 67) і розкладеться на прямовісну складову E_v та позему E_h . На основу $A'A$ стінки чинить тиск прямовісна складова E_v повного тиску землі і вага всієї стінки, що визначається в залежності від розміру $\overline{BB'} = y$. Продовжачи через вершок B стінки присту BB'' , рівнобіжну з даним напрямом $A'B'$ і прямовісною BS'' , розбиваємо всю стінку на три частини; вага однієї частини буде $G_1 = \text{пов. } BAS'' \cdot 1 \cdot \gamma_1$, вага другої частини $G_2 = \text{пов. } BS''B'' \cdot 1 \cdot \gamma_1$ і вага третьої частини $G_3 = y \cdot h \cdot 1 \cdot \gamma_1 = y \cdot h \cdot \gamma_1$ де γ_1 є вага одиниці об'єму кладки стінки; отже повний прямовісний тиск на основу $A'A$ стінки буде:

$$N = E_v + G_1 + G_2 + y \cdot h \cdot \gamma_1 = A + B \cdot y. \quad (81)$$

Прямовісні сили E_v , G_1 , G_2 і G_3 дають відносно будь-якої точки основи момент; момент усіх цих сил дорівнюватиме моментові їхньої рівнодійної N . Уявивши середину S присту BB'' і провівши через цю точку S прямовісну SS' , ми візьмемо момент сил E_v , G_1 , G_2 і G_3 , або, що те саме, сили N , відносно точки S' ; цей момент, як видно з позначень фіг. 69 і 69b, дорівнюватиме

$$\begin{aligned} M = & -E_v \cdot f + G_1 \cdot a_1 + G_2 \cdot a_2 - G_3 \cdot a_3 = -E_v \cdot f + \\ & + G_1 \cdot a_1 + G_2 \cdot a_2 - y \cdot h \cdot \gamma_1 \cdot \frac{y}{2} = D + C \cdot y^2 = -N \cdot \xi; \end{aligned} \quad (82)$$

звідси маємо числову величину віддали точки m зацепу рівнодійного прямовісного тиску N од точки S' у вигляді

$$\xi' = \frac{M}{N}. \quad (83)$$

Отже діяння тиску землі й ваги стінки на її основу $A'A$ зводиться до моменту, числовая величина якого є $M = N \cdot \xi'$, і до нормальної сили стиску N , що прикладена в точці m (фіг. 69b); тому передусім треба визначити найбільші нормальні напруги в основі $A'A$ стінки (в точках A' і A) так, щоб вони не переважали дозволеної напруги на ґрунт. Положення точки m зацепу нормального тиску N (фіг. 69b) зручніше визначити її віддаллю ξ од лівої грани A' основи; з фіг. 69b видно, що

$$\xi = (y + e) - \xi'. \quad (83a)$$

Отже ми матимемо в залежності від товщини $\overline{BB'} = y$ стінки у версі величини момента M , нормальної сили N і віддали її ξ від лівої грани A' основи; підставляючи поступінно величини y товщини стінки в версі (напр. $1,2^m$; $1,5^m$; $1,8^m$; 2^m , і т. д.), ми матимемо відповідні величини M , N і ξ , що по них ми й вилічимо найбільші нормальні напруги в основі $A'A$ стінки (в точках A' і A); взявши з обчислених найбільших нормальніх напруг найбільш підхожі до дозволеної (що не переважають її) ми й зупинимося на відповідній величині товщини y . В залежності від вибраної величини товщини y стінки в версі її положення точки m (фіг. 69b) зацепу рівнодійної нормальні сили N в основі стінки $A'A$ може бути різне, а саме точка m може бути в середній третині основи (в ядрі) (фіг. 69c) і може бути по-за цією третиною (по-за ядром) (фіг. 69d). Якщо точка O (фіг. 69c) є осередок ваги площини основи (середина його), що її довжина є d , то згідно з позначенням на фіг. 69c найбільша напруга стиску в точці A' буде

$$p' = \left(\frac{M}{W} + \frac{N}{F} \right) = \left(\frac{\frac{N \cdot s}{1 \cdot d^2}}{\frac{6}{6}} + \frac{N}{1 \cdot d} \right) = \left(\frac{6 \cdot N \cdot s}{d^2} + \frac{N}{d} \right) = \\ = \frac{N}{d} \left(\frac{6 \cdot s}{d} + 1 \right) = \frac{N}{d} \left(\frac{6 \cdot s + d}{d} \right);$$

якщо віддаль сили N од правої точки ядра 2 (фіг. 69c) є f'' , то $s = f'' - \frac{d}{6}$, і значить

$$p' = \frac{N}{d} \left[\frac{6\left(f'' - \frac{d}{6}\right) + d}{d} \right] = \frac{6 \cdot f'' \cdot N}{d^2}, \quad (84)$$

де величина $N \cdot f''$ є ядерний момент M_2 сили N щодо точки 2 ядра (фіг. 69c). Якщо віддаль сили N од точки 1 ядра (фіг. 69c) є f' , то найбільша напруга розтягу в правій точці A основи $A'A$ аналогічно (84) буде

$$p = \frac{6 \cdot N \cdot f'}{d^2}. \quad (85)$$

З положенням точки t зацепу нормальної сили N по-за середньою третиною основи (по-за ядром) (фіг. 69d) на віддалі ξ від лівої точки A' , цю точку t беруть за першу точку $1'$ середньої третини основи завдовжки $3\xi = A'A''$; значить тут силу N прикладено в першій точці $1'$ ядра, і через те в точці A'' основи $A'A''$ напруга дорівнюватиме нулеві, а в точці A' напруга буде напругою стиску; що-ж до частини $A''A$ всієї основи стінки, то вважають, що вона не працює. Якщо точка O (фіг. 69d) є середина $A'A''$, то найбільша напруга стиску в точці A' буде

$$p' = \frac{M}{W} + \frac{N}{F} = \frac{N \cdot \frac{\xi}{2}}{\frac{1(3\xi)^2}{6}} + \frac{N}{1 \cdot 3\xi} = \frac{N}{3 \cdot \xi} + \frac{N}{3 \cdot \xi} = \frac{2 \cdot N}{3 \cdot \xi} \quad (86)$$

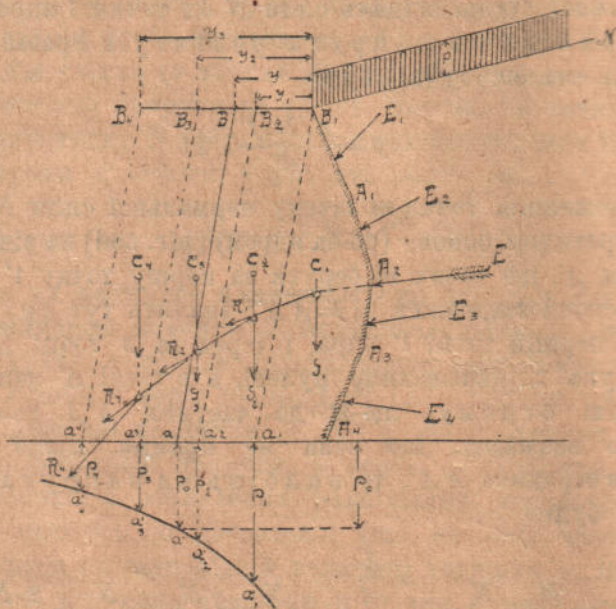
Звичайно, вираз (86) найбільшої напруги стиску в точці A' можна мати й просто за (84) через ядерний момент сили N відносно ядерної точки $2'$ (фіг. 69d); що віддаль сили N од ядерної точки $2'$ є ξ , то ядерний момент її є $N \cdot \xi$; довжина основи є 3ξ (в формулі (84) довжина основи $A'A$ є d), себ-то за (84) ми маємо

$$p' = \frac{6 \cdot N \cdot \xi}{(3 \cdot \xi)^2} = \frac{2 \cdot N}{3 \cdot \xi}.$$

Віддаль сили N од першої ядерної точки $1'$ (фіг. 69d) є нуль (точка t припадає на точку $1'$); себ-то ядерний момент сили N відносно точки $1'$ ядра є $N \cdot 0$, себ-то нуль; а через те, згідно

з (85), найбільша напруга розтягу в точці A'' основи $A'A'$ дорівнює нулеві.

Визначення товщини $\overline{BB'} = y$ (фіг. 69) стінки в версії ІІ, при загаданому дозволеному тискові p_0 на ґрунт або на кладку під основою $A'A$ стінки можна перевести її графічно, підставляючи поступінно різні значення товщини y . Припустімо, що є підпірна стінка з ламаним контуром $B_1A_1A_2A_3A_4$ (фіг. 70)



Фіг. 70.

заднього ІІ боку, навантажена по лінії B_1N землі рівномірно розподіленою вантагою p на одиницю поверхні похилої площині B_1N ; треба визначити товщину $\overline{B_1B} = y$ стінки в вершкові ІІ.

Насамперед будуємо за Понслé-Ребганом трикутники тисків для окремих частин B_1A_1 , A_1A_2 , A_2A_3 і A_3A_4 стінки і перетворюємо їх у відповідні трапези тисків, і таким чином визначаємо частинні тиски землі E_1 , E_2 , E_3 і E_4 ; потім за допомогою шнурового многокутника (не показаного на фіг. 70) визначаємо положення й величину рівнодійної E цих окремих тисків землі E_1 , E_2 , E_3 і E_4 . Із точки B_1 вершка стінки проводимо присту B_1a_1 під даним нахилом зовнішнього боку стінки й визначаємо вагу G_1 призми

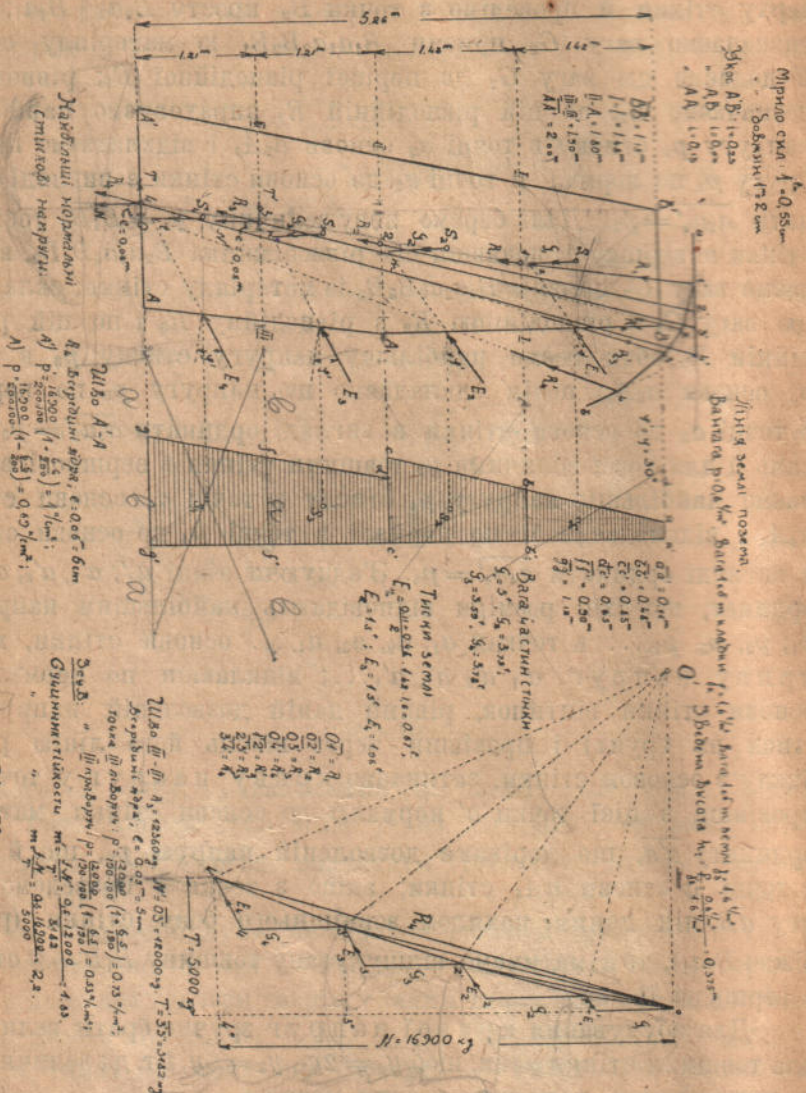
$B_1A_1A_2A_3A_4a_1B_1$ із матеріялу стінки; додаємо цю вагу G_1 до повного тиску E землі в рівнодійну R_1 і по цій рівнодійній R_1 обчислюємо найбільшу напругу p_1 стиску в точці a_1 основи a_1A_4 , і відкладаємо цю напругу p_1 по нормалі до основи стінки вигляді ординати $\overline{a_1a'_1} = p_1$. Візьмімо тепер якусь товщину $y_1 = \overline{B_1B_2}$ верху стінки й проведімо з точки B_2 присту $B_2a_2 \parallel B_1a_1$; далі визначаємо вагу G_2 призми $B_1a_1a_2B_2B_1$ із матеріялу стінки й додаємо цю вагу G_2 до першої рівнодійної R_1 ; рівнодійну позначаємо R_2 ; по цій рівнодійній R_2 вираховуємо найбільшу напругу p_2 стиску в точці a_2 основи a_2A_4 і відкладаємо цю напругу p_2 по нормалі в точці a_2 до основи стінки вигляді ординати $\overline{a_2a'_2} = p_2$. Далі беремо нову величину $y_2 = \overline{B_1B_3}$ товщини стінки в вершку і, додавши ще рівнобіжника $B_2a_2a_3B_3B_2$, визначаємо вагу G_3 призми $B_2a_2a_3B_3B_2$ із матеріялу стінки; складаємо цю вагу G_3 з рівнодійною R_2 в рівнодійну R_3 і по цій рівнодійній R_3 обчислюємо найбільшу напругу стиску p_3 в точці a_3 основи a_3A_4 ; потім одкладаємо цю напругу p_3 по нормалі в точці a_3 до основи стінки вигляді ординати $\overline{a_3a'_3} = p_3$. Так само й для нової величини y_3 товщини стінки в вершкові визначаємо найбільшу напругу p_4 стиску в точці a_4 основи стінки a_4A_4 і відкладаємо її по нормалі в точці a_4 до основи стінки вигляді ординати $\overline{a_4a'_4} = p_4$. З'єднуючи кінці $a'_1, a'_2, a'_3, a'_4, \dots$ ординат, що їхні розміри відповідають найбільшим напругам $p_1, p_2, p_3, p_4, \dots$ в точках $a_1, a_2, a_3, a_4, \dots$ основи стінки, маємо криву напруг $a'_1 a'_2 a'_3 a'_4 \dots$; відклавши по нормалі до основи стінки відтинок, рівний даній дозволеній напрузі p_0 (тиск на ґрунт) і провівши через кінець його лінію рівнобіжну з основою стінки, затинаємо криву напругу в точці a' ; провівши з цієї точки a' нормалю до основи стінки, матимемо ординату $\overline{a'a}$, що дорівнює дозволеній напрузі p_0 , що й буде в точці a основи aA_4 стінки; якщо з точки a проведемо присту aB під даним нахилом зовнішнього боку стінки (рівнобіжно B_1a_1), то й матимемо відшуковану товщину $\overline{B_1B} = y$ стінки в вершкові ІІ.

Для збудування кривої напруг зручно брати величини для товщини стінки y так, щоб $y_2 = 2y_1$, $y_3 = 3y_1$ і т. д.; величину y_1 можна взяти, наприкл., в один метр.

Обидва викладені способи визначати товщину стінки в версі ІІ вказав проф. Мюллера-Бреслау (N. Müller-Breslau).

§ 21. Перевірка підпірної стінки.

Припустімо, що маємо підпірну стінку $BA_1AA'B'V$ (фіг. 71) даних розмірів та похилів для її боків. Цю стінку треба перевірити щодо нормальної напруги й пересуву в різних швах її.



Фіг. 71.

Фіг. 71a.

вірити що-до нормальної напруги й пересуву в різних швах її. Ми ділимо кладку стінки швами I—I, II—A₁, III—III й A'—A

на скількись частин (на фіг. 71 чотири частини стінки) і визначаємо ваги G_1, G_2, G_3 та G_4 цих частин, що прикладені в осередках ваги S_1, S_2, S_3 та S_4 поверхонь відповідних трапезів $B'BI - I$, $I - IA_1II$, $IA_1III - III$ та $III - IIIA'$; далі, як це зазначено вище в § 14, будуємо трапези тисків $aa'b'b$, $bb'c'c$, $dc'ff'f$ та $ff'g'g$ для частин $B - I$, $I - A_1$, $A_1 - III$ та $III - A$ навантаженої стінки; перемноживши ці поверхні трапезів тиску на вагу γ_3 одиниці об'єму землі, одержуємо величини тисків землі E_1, E_2, E_3 та E_4 на частини стінки $B - I$, $I - A_1$, $A_1 - III$ та $III - A$; точками зачепу цих тисків землі будуть точки перетину із стінками $B - I$, $I - A_1$, $A_1 - III$ та $III - A$ горизонталів, проведених через осередки ваги S_1, S_2, S_3 та S_4 трапеїв тиску. З'єднуємо тепер сили $G_1, E_1, G_2, E_2, G_3, E_3, G_4, E_4$ в силовий многокутник $011'22'33'44'$ (фіг. 71а) і визначаємо окремі рівнодійні $R_1 = 01'$, $R_2 = 1'2'$, $R_3 = 2'3'$ та $R_4 = 3'4'$ відповідно силам G_1 та E_1 , G_2 та E_2 , G_3 та E_3 , G_4 та E_4 ; для цих рівнодійних R_1, R_2, R_3 та R_4 будуємо з довільним полюсом O' шнурковий многокутник $a1'234b$ (фіг. 71), за допомогою його визначаємо положення рівнодійних R_1, R_2, R_3 та R_4 (фіг. 71), прикладених до відповідних частин стінки, що діють відповідно на шви $I - I$, $II - A_1$, $III - III$ та $A'A$; на фіг. 71а в силовому многокутникові ці рівнодійні представлені відповідними векторами, а саме $R_1 = 01'$, $R_2 = 02'$, $R_3 = 03'$ та $R_4 = 04'$. Ці рівнодійні R_1, R_2, R_3 та R_4 перетинають відповідні шви $I - I$, $II - A_1$, $III - III$ та $A' - A$ в точках 1, 2, 3 та 4; якщо ці точки 1, 2, 3 та 4 з'єднати пристими, то матимемо лінію тиску $1'1234$ (фіг. 71) стінки (на фіг. 71 цю лінію тиску для ясності рисунку не позначено). Щоб у швах кладки стінки були самі нормальні напруги стиску (себ-то одного знаку), треба, щоб точки 1, 2, 3 та 4 перетину рівнодійних R_1, R_2, R_3 та R_4 із швами не виходили з ядра швів (з середньої третини); коли додержуватися цієї умови, то стійкість стінки що-до її повертання (повалення) забезпечена. Переїрку найбільших нормальних напруг треба робити в тих швах, що в них лінія тиску найбільше наближається до переднього боку $A'B'$ стінки (фіг. 71), себ-то, не виходячи з ядра, найбільше наближається до контуру ядра; в цих швах найбільша нормальна напруга не повинна перевищувати дозволеної напруги стиску.

Вибираючи дозволену напругу стискові, безумовно, треба мати на увазі дозволену напругу стиску для слабшого елемента кладки стінки; наприклад, при цегляній стінці на цементовому

розвині дозволену напругу стиску беруть для цегли, а саме $10 \text{ кн}/\text{см}^2$ (4 пуди на кв. дюйм); для кладки з природнього тесового каменю на цементі дозволену напругу стиску беруть для портланд-цементного розчину (1 : 3), а саме $20 \text{ кн}/\text{см}^2$ (8 пуд. на кв. дюйм). Щоб запобігти зсувові в швах стінки, треба, як це було зазначено в § 3, щоб рівнодійна, прикладена до шва, утворювала з нормальню до шва кут не більший за кут тертя кладки; додержування цієї умови забезпечує витривалість стінки що-до зсуву. Якщо рівнодійна R_4 в шві $A'A$ (фіг. 71) розкладається на нормальну силу N та на силу зсуву T , то сила тертя в площині $A'A$ буде $F = f \cdot N$, де f є сучинник тертя для матеріалу кладки стінки; щоб забезпечити витривалість стінки що-до пересуву, треба, щоб сила тертя F була більша за силу зсуву T , себ-то $F > T$; отже $F = m \cdot T$, де m є число, більше за одиницю ($m = 1$ тільки в випадкові граничної рівноваги); звідси $m = \frac{F}{T} = \frac{f \cdot N}{T}$; це число m показує, в скільки разів ми забезпечили витривалість стінки що-до зсуву, порівнюючи із стінкою в стані II граничної рівноваги, себ-то коли зсув мало-мало що не почався; це число m зв'язується через це з сучинником витривалості що-до зсуву; величину цього сучинника m звичайно беруть у межах від 1,5 до 2,5. Отже з викладеного ми робимо висновок, що для витривалості й міцності стінки неодмінно треба, щоб: 1) лінія тиску перетинала шви всередині середньої третини товщини стінки, 2) нормальні напруги матеріалу в швах, що в них лінія тиску найбільше наближується до зовнішнього боку стінки, не перевищували дозволеної напруги стиску і 3) напрямок рівнодійної утворював з нормаллю до шва кут, менший за кут тертя кладки по кладці або кладки по ґрунту.

На фіг. 71 у стінки взята позема лінія землі, що навантажена рівномірно-розподіленою вантагою $p = 0,6 t/m^2$; а що стінку ми беремо цегляну, то вагу куб. метру кладки беремо рівною $\gamma_k = 1,6 t/m^3$, а вагу куб. метру землі $\gamma_z = 1,6 t/m^3$; через це зведена до землі висота вантаги $h_r = \frac{p}{\gamma_z} = \frac{0,6 t/m^2}{1,6 t/m^3} = 0,375 m$. Щоб збудувати за Понслé-Ребганом трикутники тиску, беремо $\varphi' = \varphi = 30^\circ$; сучинник тертя кладки по ґрунту буде $f = \operatorname{tg} 30^\circ = 0,6$. Сучинник тертя кладки по кладці (на свіжому розчині) беремо $f = 0,5$, отже кут тертя кладки по кладці дорівнює 27° ; деякі автори беруть кут тертя кладки по кладці в $22\frac{1}{2}^\circ$, а зна-

чи чинник тертя беруть рівним $f = \operatorname{tg} 22^{\circ}/2 = 0,414$. Розбивамо тепер стінку по висоті на 4 частини $B - I$, $I - A_1$, $A_1 - III$ і $III - A$ уявлюваними швами $I - I$, $II - A_1$ й $III - III$ й будуємо, згідно з викладеним вище, трапези тиску $aa' b'b$, $bb'c'c$, $dc'ff'$ і $ff'g'g$ для цих частин; коли вибрати маштаб довжин $1'' = 2$ см., маємо тиски тертя землі на частини $B - I$, $I - A_1$, $A_1 - III$ й $III - A$ стінки відповідно

$$E_1 = \frac{0,11 + 0,48}{2} \cdot 1,42 \cdot 1,6 = 0,67^t, E_2 = \frac{0,48 + 0,85}{2} \cdot 1,42 \cdot 1,6 = 1,5^t,$$

$$E_3 = \frac{0,65 + 0,90}{2} \cdot 1,21 \cdot 1,6 = 1,5^t \text{ і } E_4 = \frac{0,90 + 1,12}{2} \cdot 1,21 \cdot 1,6 = 1,96^t.$$

Всі ці тиски E_1 , E_2 , E_3 та E_4 прикладені в точках перетину стінок $B - I$, $I - A_1$, $A_1 - III$ і $III - A$ з горизонталями, проведеними через осередки ваги S_1 , S_2 , S_3 та S_4 відповідних трапеziв тиску. Ваги окремих частин стінки, як це видно з розмірів стінки на фіг. 71, будуть

$$G_1 = \frac{1,15 + 1,48}{2} \cdot 1,42 \cdot 1,6 = 3^t, G_2 = \frac{1,48 + 1,80}{2} \cdot 1,42 \cdot 1,6 = 3,73^t,$$

$$G_3 = \frac{1,80 + 1,90}{2} \cdot 1,21 \cdot 1,6 = 3,59^t \text{ і } G_4 = \frac{1,90 + 2,00}{2} \cdot 1,21 \cdot 1,6 = 3,78^t.$$

За допомогою силового многокутника $0 - 1 - 1' - 2 - 2' - 3 - 3' - 4$ (фіг. 71a) визначаємо рівнодійні R_1 , R'_2 , R'_3 та R'_4 відповідно силам G_1 та E_1 , G_2 та E_2 , G_3 та E_3 , G_4 та E_4 ; потім за допомогою шнурового многокутника $a - 1' - 2 - 3 - 4$ (фіг. 71) визначаємо рівнодійні R_2 , R_3 та R_4 сил R_1 та R'_2 , R_1 , R'_2 та R'_3 , R_1 , R'_2 , R'_3 та R'_4 ; ці сили R_1 , R_2 , R_3 та R_4 перетинають відповідні шви $I - I$, $II - A_1$, $III - III$ та $A'A$ в точках 1, 2, 3 та 4, що лежать всередині середньої третини товщини швів (всередині ядра); якщо з'єднаємо ці точки 1, 2, 3 та 4 простими лініями, то й матимемо лінію тиску стінки $1' - 1 - 2 - 3 - 4$, що не виходить із середньої третини товщини стінки. Перевірку що-до нормальних напруг та пересуву зроблено на фіг. 71 для швів $III - III$ й $A' - A$.

Рівнодійна R_3 у шві $III - III$ кладки стінки дає, коли взято маштаб сил $1' = 0,55$ см., нормальну складову $N' = \overline{0,3''} = 12\,000$ kg. (фіг. 71a) та складову зсуву $T' = \overline{3''3'} = 3\,182$ kg. і має ексцентри-

цитет $e' = 0,06^m = 5 \text{ см.}$; а тому нормальні напруги стиску в лівій та правій точці III та правій точці III відповідно будуть:

$$p' = \frac{12000}{190 \cdot 100} \left(1 + \frac{6.5}{190} \right) = 0,73 \text{ kg/cm}^2;$$

i

$$p = \frac{12000}{190 \cdot 100} \left(1 - \frac{6.5}{190} \right) = 0,53 \text{ kg/cm}^2;$$

дозволену ж напругу на стиск для цегельної кладки на цементі беруть рівною $p_0 = 10 - 11 \text{ kg/cm}^2$. Сучинник витривалості що-до зсуву в шві III — III буде $m' = \frac{f \cdot N'}{T'} = \frac{0,5 \cdot 12000}{3182} = 1,83$; величини ж сучинника витривалості лежать у межах 1,5 — 2,5. Кут α , що його утворює рівнодійна R_3 з нормальню до шва III — III, з таким сучинником витривалості m' буде невеличкий, а саме приблизно 15° , бо $\operatorname{tg} \alpha = \frac{T'}{N'} = \frac{3182}{12000} = 0,26517$. Рівнодійна R_4 у шві A'A основи стінки дас нормальну складову $N = \overline{04''} = 16900 \text{ kg}$. (фіг. 71а) і складову зсуву $T = 5000 \text{ kg} = \overline{4''4}$ і має ексцентрицитет $e = 0,06^m = 6 \text{ см.}$; а тому нормальні напруги стиску в точках A' та A (тиск на ґрунт у цих точках) будуть відповідно

$$p' = \frac{16900}{200 \cdot 100} \left(1 + \frac{6.6}{200} \right) = 1 \text{ kg/cm}^2$$

i

$$p = \frac{16900}{200 \cdot 100} \left(1 - \frac{6.6}{200} \right) = 0,69 \text{ kg/cm}^2;$$

а дозволений тиск на ґрунт беруть у межах од $2,5 \text{ kg/cm}^2$ до 5 kg/cm^2 (від 1 пуду до 2 пудів на кв. дюйм), як до роду ґрунту; напр., для насипного піску $2,5 \text{ kg/cm}^2$, для твердої глини 4 kg/cm^2 і для жорстви або піску, що щільно злігся, від 4 до 5 kg/cm^2 . Сучинник витривалості що-до зсуву для шва A'A буде

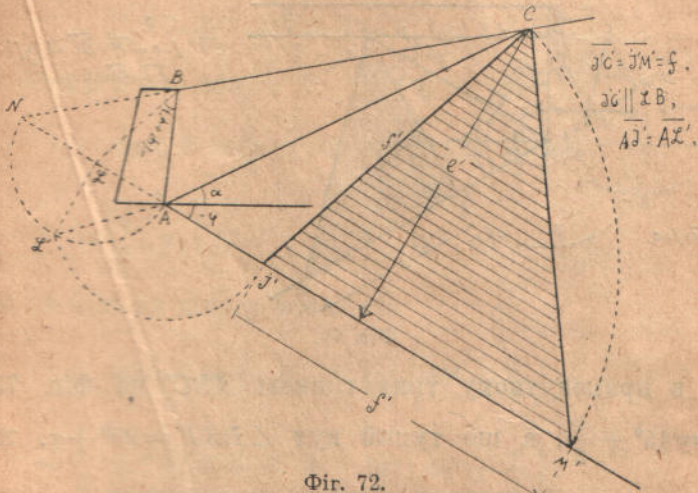
$$m = \frac{f \cdot N}{T} = \frac{0,6 \cdot 16900}{5000} = 2,2;$$

у цьому шві кут α рівнодійної R_4 з нормальню до шва дорівнює приблизно $16^{1/2}{}^\circ$, бо

$$\operatorname{tg} \alpha = \frac{T}{N} = \frac{5000}{16900} = 0,29585.$$

§ 22. Графічне визначення відпору землі. Залежність між відпором та розпором землі в окремих випадках.

В § 6 зазначено, що для визначення величини відпору землі можна користуватися з виразу для розпору, змінивши знаки в кутів φ та φ' на мінус; на підставі цього на фіг. 72



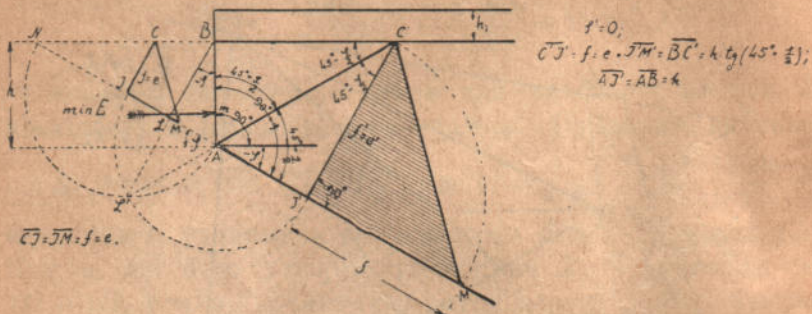
Фіг. 72.

збудовано трикутника тиску JCM для відпору землі за Понслé-Ребганом, причому лінію AN природнього укосу проведено вниз од поземої лінії під кутом φ , а напрямну BL (орієнтаційна лінія або лінія положення) вліво від стінки AB під кутом $-(\varphi + \varphi')$; тут на AN збудовано півколо, в точці L поставлено нормаль LL' до AN , а з точки A , як із осередку лучем AL' затято на продовженні AN відтинок $AJ' = AL'$, чим і визначено положення точки J' ; далі з J' проведено присту $J'C' \parallel BL$ і визначено площину AC' зрушения; відкладавши далі на продовженні AN відтинок $J'M' = J'C' = f$, матимем трикутника $J'C'M'$ тиску для відпору землі.

На фіг. 73 та 74 збудовано трикутники тиску для прямовісної стінки AB й поземої лінії землі; причому на фіг. 73 взято випадок цілком рівної стінки, себ-то $\varphi' = 0$, що відповідає спокою земляної маси і випадок геостатичний; на фіг. 74 взято на увагу тертя землі об стінку, що відповідає потягові земляної маси до руху і є випадок геодинамічний. Розглянемо спочатку випадок геостатичний на фіг. 73. За § 10 для

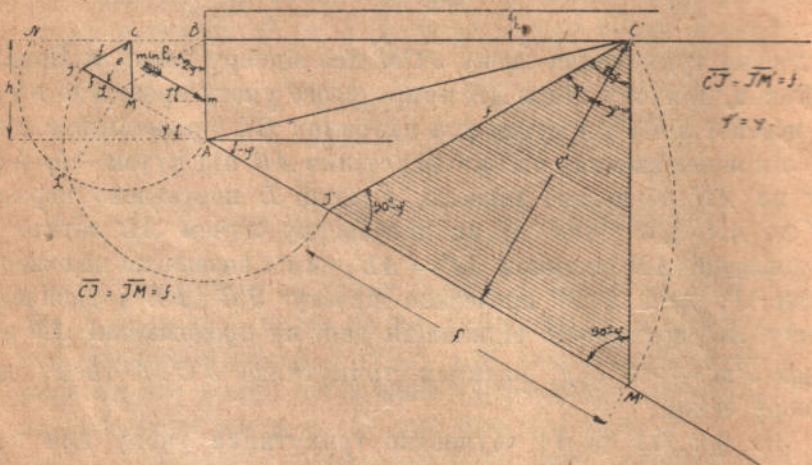
роздору землі віддаль $\overline{BC'} = h \cdot \operatorname{tg} \left(45^\circ - \frac{\varphi}{2} \right)$ (див. фіг. 35), через це для відпору на фіг. 73 віддаль

$$\overline{BC'} = h \cdot \operatorname{tg} \left(45^\circ + \frac{\varphi}{2} \right); \quad (87)$$



Фіг. 73.

а тому в прямокутному трикутнику ABC' на фіг. 73 кут $\angle BAC' = 45^\circ + \frac{\varphi}{2}$; а що тупий кут $\angle BAJ' = 90^\circ + \varphi$, то кут



Фіг. 74.

$\angle C'AJ' = 90^\circ + \varphi - \left(45^\circ + \frac{\varphi}{2} \right) = 45^\circ + \frac{\varphi}{2}$, себ-то $\angle BAC' = \angle C'AJ' = 45^\circ + \frac{\varphi}{2}$; таким чином площа AC' зрушення ділить

кут $B AJ'$ між лінією AB стінки та AM' природнього укосу навпіл (порівн. фіг. 35 при розпорі). Через те що $J'C' \parallel BL$, а $BL \perp NM'$, трикутник $J'C'M'$ тискує прямокутний трикутник, що в ньому гострі кути $\angle J'C'M' = \angle J'M'C' = 45^\circ$. Прямокутні трикутники ABC' та $C'J'A$ поверхнею рівні (бік AC' спільний і $\angle BAC' = \angle C'AJ'$), отже

$$\overline{C'J'} = BC' = f' = e' = h \cdot \operatorname{tg} \left(45^\circ + \frac{\varphi}{2} \right).$$

За § 10 розпір землі або

$$\max. E = \frac{1}{2} \cdot \gamma \cdot h^2 \cdot \operatorname{tg}^2 \left(45^\circ - \frac{\varphi}{2} \right) =$$

$$= \frac{1}{2} \cdot \gamma \cdot \left(h^2 + 2 \cdot h_r \cdot h \right) \cdot \operatorname{tg}^2 \left(45^\circ - \frac{\varphi}{2} \right),$$

через це на фіг. 73 відпір землі або

$$\begin{aligned} \min. E &= \frac{1}{2} \cdot \gamma \cdot h^2 \cdot \operatorname{tg}^2 \left(45^\circ + \frac{\varphi}{2} \right) = \\ &= \frac{1}{2} \cdot \gamma \cdot \left(h^2 + 2 \cdot h_r \cdot h \right) \cdot \operatorname{tg}^2 \left(45^\circ + \frac{\varphi}{2} \right); \end{aligned} \quad (88)$$

таким чином, у даному разі відношення відпору й розпору землі буде:

$$\frac{\min. E}{\max. E} = \frac{\operatorname{tg}^2 \left(45^\circ + \frac{\varphi}{2} \right)}{\operatorname{tg}^2 \left(45^\circ - \frac{\varphi}{2} \right)}. \quad (89)$$

При $\varphi = 30^\circ$ (для звичайного піскуватого ґрунту) з (89) маємо:

$$\frac{\min. E}{\max. E} = \frac{\operatorname{tg}^2 60^\circ}{\operatorname{tg}^2 30^\circ} = 9.$$

При $\varphi = 27^\circ$ відношення $\frac{\min. E}{\max. E} = 7,1$;

при $\varphi = 22^\circ$ відношення $\frac{\min. E}{\max. E} = 4,9$.

Через те, що $\overline{BC'} = h \cdot \operatorname{tg} \left(45^\circ + \frac{\varphi}{2} \right) = \overline{C'J'} = f'$, відпір землі

за (88) буде $\min. E = \frac{1}{2} \gamma' \cdot f'^2 = \text{пov. } \triangle J'C'M' \cdot \gamma';$ (90)

отже відпір землі, так само як і розпір, є добуток з поверхні трикутника тиску та величини γ' , що дорівнює в даному разі $\gamma \left(1 + \frac{2 \cdot h_r}{h} \right).$

Якщо ми візьмемо другу точку J (фіг. 73), що ми її затинаємо на лінії AN природнього укусу, й проведемо $JC \parallel BL$, то матимемо прямокутний трикутник CJM , в якому беремо $\overline{CJ} = \overline{JM}$; цей прямокутний трикутник CJM буде трикутником тиску для розпору землі, бо всеніка частина фіг. 73 ліворуч AB являє собою фіг. 35, збудовану для розпору землі, обернену на 180° коло AB . Таким чином на тому самому рисункові фіг. 73 можна через графічне будування визначити $\min. E$ й $\max. E$, себто відпір та розпір землі.

Через те, що

$$\frac{\triangle C'J'M'}{\triangle CJM} = \frac{f'^2}{f^2},$$

то

$$\frac{\gamma' \cdot \triangle C'J'M'}{\gamma' \cdot \triangle CJM} = \frac{f'^2}{f^2},$$

або

$$\frac{\min. E}{\max. E} = \frac{f'^2}{f^2}.$$

Що-ж до розподілу відпору землі по висоті стінки, то наводячи ті самі міркування, що в § 14 і для розпору землі, знайдемо, що при відпорі тиск на стінку розподіляється так само, як і при розпорі, а тому точка зачепу m (фіг. 73) відпору землі лежатиме на висоті осередку ваги тискового трапезу, який замінює собою тискового трикутника $C'J'M'$, себто

$$\overline{Am} = \frac{h}{3} \cdot \frac{3h_r + h}{2h_r + h},$$

у випадкові ненавантаженої стінки на фіг. 73, себто при $h_r = 0$, віддаль $\overline{Am} = \frac{h}{3}$. Для випадку на фіг. 74, згідно з § 10 (49)

розпір землі

$$\max. E = \frac{1}{2} \cdot \gamma' \cdot h^2 \cdot \frac{\operatorname{cs} \varphi}{(1 + \operatorname{sn} \varphi \cdot \sqrt{2})^2} = \gamma' \cdot h^2 \cdot \operatorname{cs} \varphi \cdot \frac{(\operatorname{sn} 45^\circ - \operatorname{sn} \varphi)^2}{\operatorname{cs}^2 2\varphi}$$

отже відпір землі

$$\min. E = \gamma' \cdot h^2 \cdot \operatorname{cs} \varphi \cdot \frac{(\operatorname{sn} 45^\circ + \operatorname{sn} \varphi)^2}{\operatorname{cs}^2 2\varphi};$$

через це відношення

$$\frac{\min. E}{\max. E} = \frac{(\operatorname{sn} 45^\circ + \operatorname{sn} \varphi)^2}{(\operatorname{sn} 45^\circ - \operatorname{sn} \varphi)^2}; \quad (91)$$

але

$$\frac{\operatorname{sn} 45^\circ + \operatorname{sn} \varphi}{\operatorname{sn} 45^\circ - \operatorname{sn} \varphi} = \frac{\operatorname{tg} \frac{45^\circ + \varphi}{2}}{\operatorname{tg} \frac{45^\circ - \varphi}{2}},$$

отже відношення $\frac{\min. E}{\max. E}$ можна написати й у такій формі:

$$\frac{\min. E}{\max. E} = \frac{\operatorname{tg}^2 \frac{45^\circ + \varphi}{2}}{\operatorname{tg}^2 \frac{45^\circ - \varphi}{2}}. \quad (91')$$

За (91) маємо: при $\varphi = 30^\circ$ відношення $\frac{\min. E}{\max. E} = 33,88$;

при $\varphi = 27^\circ$ відношення $\frac{\min. E}{\max. E} = 21,1$;

при $\varphi = 22^\circ$ відношення $\frac{\min. E}{\max. E} = 10$.

Якщо ми візьмемо другу точку J (фіг. 74), що ми її відзначаємо на лінії AN природного укосу, і проведемо $JC \parallel BL$, то матимемо трикутника CJM , в якому беремо $\overline{CJ} = \overline{JM}$; цей трикутник CJM

$$\begin{aligned} \left(\frac{1}{1 + \operatorname{sn} \varphi \cdot \sqrt{2}} \right)^2 &= \left(\frac{1}{1 + \operatorname{sn} \varphi \cdot \sqrt{2}} \right)^2 = \left[\frac{1 - \operatorname{sn} \varphi \cdot \sqrt{2}}{(1 + \operatorname{sn} \varphi \cdot \sqrt{2}) \cdot (1 - \operatorname{sn} \varphi \cdot \sqrt{2})} \right]^2 = \\ &= \left[\sqrt{2} \left(\frac{1}{\sqrt{2}} - \operatorname{sn} \varphi \right) \right]^2 = \frac{2 \left| \frac{\sqrt{2}}{2} - \operatorname{sn} \varphi \right|^2}{(\operatorname{cs}^2 \varphi + \operatorname{sn}^2 \varphi - 2 \cdot \operatorname{sn}^2 \varphi)^2} = 2 \cdot \frac{(\operatorname{sn} 45^\circ - \operatorname{sn} \varphi)^2}{\operatorname{cs}^2 2\varphi}. \end{aligned}$$

буде трикутником тиску для розпору землі, бо вся частина фіг. 74 ліворуч AB являє собою фіг. 36, збудовану для розпору землі, обернену на 180° коло AB . Таким чином на тому самому рисункові фіг. 74 визначають через графічне будування і відпір землі $\min. E$ і розпір $\max. E$. Але

$$\frac{\triangle C'J'M'}{\triangle CJM} = \frac{f'.e'}{f.e},$$

через це

$$\frac{\gamma'.\triangle C'J'M'}{\gamma'.\triangle CJM} = \frac{f'.e'}{f.e}$$

або

$$\frac{\min. E}{\max. E} = \frac{f'.e'}{f.e}.$$

Точка m (фіг. 74) зацепу відпору землі $\min. E$ лежатиме на висоті осередку ваги тискового трапезу, що замінює трикутника тиску $C'J'M'$, себ-то

$$\overline{Am} = \frac{h}{3} \cdot \frac{3h_r + h}{2h_r + h};$$

у випадкові ненавантаженої стінки, себ-то коли $h_r = 0$, віддаль $\overline{Am} = \frac{h}{3}$. В даному разі на фіг. 74 відпір землі $\min. E$ не буде поземий, як на фіг. 73, а буде спрощений до нормали до стінки (себ-то до поземої лінії) під кутом φ .

§ 23. Глибина закладки основ фундаментів.

У § 6 вже зазначено, що основи фундаментів різних будівель треба спускати на таку глибину, щоб не могло повстати видавлювання ґрунту з-під низу будівлі; причому, згідно з фіг. 24 треба, щоб розпір землі $\max. E$ для призми зрушення $AC_1C'_1C'A$ був менший за відпір землі $\min. E$ для призми відпору ABC ; такої умови, очевидчаки, треба додержувати для кожної одиниці поверхні безконечно-малої площаадки $\overline{AA'} = dh$ (фіг. 24) площині AB , себ-то треба, щоб напруга розпору $\frac{d(\max. E)}{dh}$ була менша за напругу відпору $\frac{d(\min. E)}{dh}$; таким чином, визначаючи глибину закладки будівлі, як головну умову, ми маємо залежність

$$\frac{d(\max. E)}{dh} \leq \frac{d(\min. E)}{dh}. \quad (92)$$

1. Силу тертя в площині AB (фіг. 24) між призмами зрушення і відпору не беруть на увагу ($\varphi' = 0$).

Для цього випадку згідно з (47б) § 10 маємо, що:

$$\max_i E = \frac{1}{2} \cdot \gamma \cdot (h^2 + 2 \cdot H \cdot h) \cdot \operatorname{tg}^2 \left(45^\circ - \frac{\varphi}{2} \right)$$

$$\min_a E = \frac{1}{2} \cdot \gamma \cdot (h^2 + 2 \cdot y \cdot h) \cdot \operatorname{tg}^2 \left(45^\circ + \frac{\varphi}{2} \right);$$

звідси знайдемо, що

$$\frac{d(\max_i E)}{dh} = \gamma \cdot (h + H) \cdot \operatorname{tg}^2 \left(45^\circ - \frac{\varphi}{2} \right),$$

a

$$\frac{d(\min_a E)}{dh} = \gamma \cdot (h + y) \cdot \operatorname{tg}^2 \left(45^\circ + \frac{\varphi}{2} \right);$$

отже, згідно з умовою (92), маємо, що

$$(h + H) \cdot \operatorname{tg}^2 \left(45^\circ - \frac{\varphi}{2} \right) \leq (h + y) \cdot \operatorname{tg}^2 \left(45^\circ + \frac{\varphi}{2} \right)$$

або

$$\frac{h + y}{h + H} \geq \frac{\operatorname{tg}^2 \left(45^\circ - \frac{\varphi}{2} \right)}{\operatorname{tg}^2 \left(45^\circ + \frac{\varphi}{2} \right)};$$

але

$$\frac{1}{\operatorname{tg} \left(45^\circ + \frac{\varphi}{2} \right)} = \operatorname{ctg} \left(45^\circ + \frac{\varphi}{2} \right) = \operatorname{tg} \left(45^\circ - \frac{\varphi}{2} \right),$$

отже

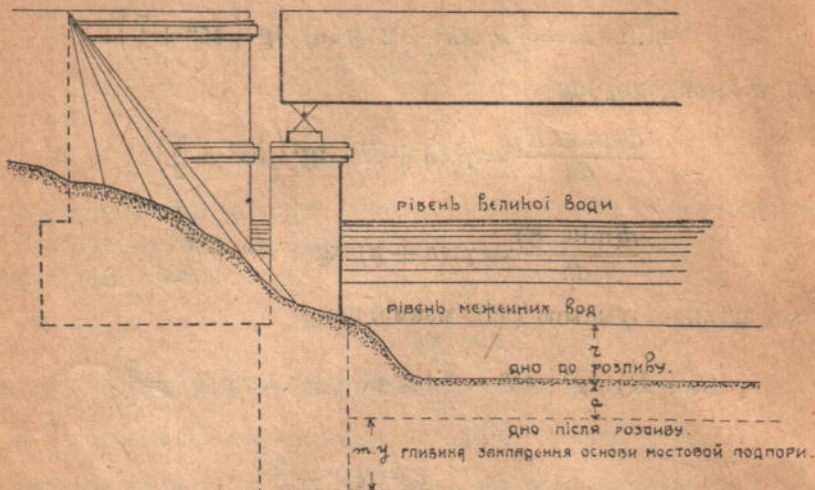
$$\frac{h + y}{h + H} \geq \operatorname{tg}^4 \left(45^\circ - \frac{\varphi}{2} \right). \quad (93)$$

Найменше значення першої частини нерівності (93) буде тоді, коли $h = 0$; отже $\frac{y}{H} \geq \operatorname{tg}^4 \left(45^\circ - \frac{\varphi}{2} \right)$; звідси

$$y \geq H \cdot \operatorname{tg}^4 \left(45^\circ - \frac{\varphi}{2} \right). \quad (94)$$

Це є формула проф. Павкера для визначення потрібної глибини закладки основи будівель. При цьому визначену глибину

закладки основи $\overline{BB'} = y$ (фіг. 24) для основ на палях лічать од низу паль, а для спускових колодязів та кесонів — од спіднього краю ножа. Одержанна величина y із (94) збільшується ще в декілька разів через помноження її на так званий сучинник витривалості m , рівний 2—3; а далі до величини $m.y$ додаємо ще можливу глибину розмиву (при мостових та гідротехнічних будовах). На фіг. 75 показано глибину закладки основи мостової



Фіг. 75.

підпори; ця глибина, що ми її лічимо від позему межених вод, дорівнює $m.y + a + r$, себ-то дорівнює

$$m.H.\operatorname{tg}^4\left(45^\circ - \frac{\varphi}{2}\right) + a + r.$$

2. Силу тертя в площині AB (фіг. 24) між призмами зрушенні і відпору взято на увагу ($\varphi' \neq 0$).

У цьому випадкові з попереднього § 22 маємо:

$$\begin{aligned} \max. E &= \gamma'. h^2 \cdot \operatorname{cs} \varphi \cdot \frac{(\operatorname{sn} 45^\circ - \operatorname{sn} \varphi)^2}{\operatorname{cs}^2 2\varphi} = \\ &= \gamma \left(1 + \frac{2 \cdot H}{h}\right) \cdot h^2 \cdot \operatorname{cs} \varphi \cdot \frac{(\operatorname{sn} 45^\circ - \operatorname{sn} \varphi)^2}{\operatorname{cs}^2 2\varphi} = \\ &= \gamma \cdot (h^2 + 2 \cdot H \cdot h) \cdot \operatorname{cs} \varphi \cdot \frac{(\operatorname{sn} 45^\circ - \operatorname{sn} \varphi)^2}{\operatorname{cs}^2 2\varphi} \end{aligned}$$

$$\begin{aligned} \min. E &= \gamma' \cdot h^2 \cdot \operatorname{cs} \varphi \frac{(\operatorname{sn} 45^\circ + \operatorname{sn} \varphi)^2}{\operatorname{cs}^2 2\varphi} = \\ &= \gamma \left(1 + \frac{2 \cdot y}{h}\right) \cdot h^2 \cdot \operatorname{cs} \varphi \cdot \frac{(\operatorname{sn} 45^\circ + \operatorname{sn} \varphi)^2}{\operatorname{cs}^2 2\varphi} = \\ &= \gamma \cdot (h^2 + 2 \cdot y \cdot h) \cdot \operatorname{cs} \varphi \cdot \frac{(\operatorname{sn} 45^\circ + \operatorname{sn} \varphi)^2}{\operatorname{cs}^2 2\varphi}; \end{aligned}$$

звідси маємо

$$\frac{d(\max. E)}{dh} = 2 \cdot \gamma \cdot (h + H) \cdot \operatorname{cs} \varphi \cdot \frac{(\operatorname{sn} 45^\circ - \operatorname{sn} \varphi)^2}{\operatorname{cs}^2 2\varphi}$$

i

$$\frac{d(\min. E)}{dh} = 2 \cdot \gamma \cdot (h + y) \cdot \operatorname{cs} \varphi \cdot \frac{(\operatorname{sn} 45^\circ + \operatorname{sn} \varphi)^2}{\operatorname{cs}^2 2\varphi};$$

отже, згідно з умовою (92), знаходимо, що

$$\frac{h + y}{h + H} \geq \frac{(\operatorname{sn} 45^\circ - \operatorname{sn} \varphi)^2}{(\operatorname{sn} 45^\circ + \operatorname{sn} \varphi)^2};$$

але

$$\frac{\operatorname{sn} 45^\circ - \operatorname{sn} \varphi}{\operatorname{sn} 45^\circ + \operatorname{sn} \varphi} = \frac{\operatorname{tg} \frac{45^\circ - \varphi}{2}}{\operatorname{tg} \frac{45^\circ + \varphi}{2}},$$

а тому

$$\frac{h + y}{h + H} \geq \frac{\operatorname{tg}^2 \frac{45^\circ - \varphi}{2}}{\operatorname{tg}^2 \frac{45^\circ + \varphi}{2}};$$

але найменшу величину відношення $\frac{h + y}{h + H}$ матимем, коли $h = 0$,

отже

$$\frac{y}{H} \geq \frac{\operatorname{tg}^2 \frac{45^\circ - \varphi}{2}}{\operatorname{tg}^2 \frac{45^\circ + \varphi}{2}},$$

або

$$y \geq H \cdot \frac{\operatorname{tg}^2 \frac{45^\circ - \varphi}{2}}{\operatorname{tg}^2 \frac{45^\circ + \varphi}{2}}. \quad (95)$$

Коли $\varphi = 30^\circ$, глибина закладки основи буде $y \geq \frac{H}{33,88}$. Звичайно, щоб визначити глибину закладки основи фундаментів

будівель, користуються з формулами (94) Павкера для 1-го випадку, коли тертя в прямовісній площині між призмами розпору й відпору (фіг. 24) не взято на увагу; це залежить од того, що ґрунт, який його оточувє, дуже вогкий і тертя його об стінку невелике, себ-то кут тертя ґрунту об стінку невеличкий, і його можна вважати за нуль ($\varphi' = 0$). Згідно з формулою (94) Павкера, глибина закладки основи, звичайно, буде більша за ту, що ми її обчислюємо за формулою (95), коли тертя ґрунту об стінку взято на увагу; коли $\varphi = 30^\circ$, за формулою Павкера глибина закладки основи дорівнюватиме $y \geq 0,111 \cdot H$, себ-то y приблизно дорівнює $\frac{H}{10}$. Знайдену величину y за (94) треба, звичайно, помножити ще на сучинник витривалості $m = (2 - 3)$; наприклад, при „зведеній до землі висоті“ $H = 5$ метр. глибина закладки фундаменту для підпірної стінки (фіг. 24) була б дорівнювала $y = \frac{5}{10} \cdot m = 3 \cdot \frac{1}{2} = 1,5$ (метра). В середній Росії з її підсонням, щоб усунути можливість промерзання, за найменшу глибину закладки основи фундаментів беруть звичайно 2 метри.

Д Е Щ О Є.

Стор.

§ 1.	Синкі тіла	3
§ 2.	Рух (ковзання) і рівновага синкого тіла на похилій площині	4
§ 3.	Ілоща зрушения (ковзання); призма зрушения (ковзання)	6
§ 4.	Навантаження околичної поверхні землі, що йде на засипку підпірної стінки	9
§ 5.	Графічне визначення площини зрушения (ковзання) спробами при площині стінці і довільному околичному контурі землі	15
§ 6.	Розпір та відпір землі	18
§ 7.	Плоска стінка її довільна (криволінійна) поверхня землі. Положення площини зрушения. Величина тиску землі (розпір)	24
§ 8.	Плоска стінка її плоска поверхня землі (фіг. 26)	29
§ 9.	Графічне визначення положення площини зрушения ї тиску землі при площині стінці ї плоскій поверхні землі	30
§ 10.	Аналітичне визначення тиску землі ї положення площини зрушения (фіг. 26)	37
§ 11.	Тиск води на стінку	45
§ 12.	Залежність між площами зрушения ї трикутниками тиску на частинах тієї самої плоскої стінки при плоскій поверхні землі	48
§ 13.	Визначення тиску землі на павантажену тимчасовою вантагою плоску стінку за допомогою тисків землі на ненавантажені узвіні (фіктивні) плоскі стінки	54
§ 14.	Розподіл тиску землі по задньому боку плоскої стінки, беручи плоску поверхню землі. Напруга тиску землі. Точка зачепу тиску землі	56
§ 15.	Різні випадки тимчасової вантаги при плоскій стінці та плоскій поверхні землі	72
§ 16.	Визначення положення площини зрушения спробами при довільному обрисі поверхні землі (спосіб Вінклерів)	77
§ 17.	Визначення тиску землі при плоскій стінці та ламаний лінії землі	80
§ 18.	Графічне визначення тиску землі при плоскій поверхні землі ї при стінці, що її задній бік являє ламану або криву лінію (фіг. 66) .	84
§ 19.	Графічно-аналітичне визначення тиску землі при ламаному контурі заднього боку стінки ї при плоскій поверхні землі	85
§ 20.	Розрахунок підпірної стінки	92
§ 21.	Перевірка підпірної стінки	98
§ 22.	Графічне визначення відпору землі. Залежність між відпором та розпором землі в окремих випадках	103
§ 23.	Глибина закладки основ фундаментів	108



$$A + O_2 \cdot h. \approx 0 \quad B + O_2 \cdot h \approx 0$$

$$\alpha_2 = -\frac{A}{h}$$

$$B = \{$$

u_2 .

$$A - N_2 \cancel{\text{ext}}$$

$$N_2 = A$$

$$B + N_2 = 0 \quad N_2 = -B$$

$$A + D_{23} \cancel{\text{ext}} \quad \cancel{D_2} \stackrel{A}{\cancel{D_3}} \text{com},$$

$$A - D_4 \cdot h \cdot h,$$

$$\alpha_4 = \frac{A}{h \cdot g} \quad B + D_4 \cdot h$$

$$u_3 \quad A \cdot 3d - u_3 \stackrel{B = -1}{\cancel{u_3}}$$

$$u_3 = +$$

ДЕРЖАВНЕ ВИДАВНИЦТВО УКРАЇНИ

Підручники, що їх ухвалив Наукпедком НКО УСРР по секції
Профосвіти.

Крб. К.

Бомелі Р.—Вік землі. Коротка характеристика геологічних періодів і формадій. Стор. 84.	— 60
Бунт А.—Короткий підручник пасічництва.	— 20
Борисович Г.—Курс подвійного рахівництва в стислому викладі для профшкіл і самоанавчання. Загальне торговельне рахівництво. Стор. 308.	1 25
Зобний.—Економічна географія України. Стор. 258.	1 15
Гордон І.—Математика в школі робітничої молоді. Спроба методики.	— 70
Галь Г.—Читання партитури. Стор. 34.	— 50
Дрімцов С.—Музична теорія. Практичний курс для музпрофшкіл. Стор. 164.	2 50
Єлісафова С.—Угноювання ґрунту звичайним та мінеральним (штучним) гноєм. Стор. 68.	— 10
Кечеджи-Шаповалов М., проф.—Комерційна кореспонденція. I. Теорія комерційного листа. II. Практичні зразки. III. Комерційна термінологія. 4-е перероблене видання для торговельно-промислових профшкіл, шкіл для торговельних і конторських учнів та для рахівничих і торговельних курсів. Стор. 218.	1 60
Лінніченко.—Фізика з метеорологією. Стор. 149.	1 30
Лавренюк.—Загальне скотарство. Стор. 140.	— 85
Мазуренко В.—Хемія. Для професійних шкіл і профосвіти.	— 60
Мітіліно М.—Торговельне правознавство. Для торговельно-промислових шкіл. Стор. 194.	1 60
Мозілевський П.—Землемірний техник. Справочна книжка для землемірів, таксаторів і техників шляхів. Стор. 218.	1 25
Маньковський К. і Заславський Е.—Конспект лекцій з техніки рільництва. (Лісостеп України та частково Полісся). Стор. 146.	— 95
Михайлівський М.—Елементи вищої математики для техніків. Скорочений підручник для технікумів індустріальної вертикали. Стор. 272.	2 —
Надененко Ф.—Будова музичної мови, в. I. Стор. 63.	— 90
Опоків Є.—Сільсько-господарська гідротехніка. Стор. 142.	1 30
Перельман.—Цікава фізика. Стор. 257.	1 55

ЦЕНТРАЛЬНИЙ ТОРГОВЕЛЬНИЙ ВІДДІЛ

Харків, Спартаківський проул., № 3.

Філії та крамниці по всіх окружних містах У. С. Р. Р.

ДЕРЖАВНЕ ВИДАВНИЦТВО УКРАЇНИ

Підручники, що їх ухвалив Наукпедком НКО УСРР по секції Профосвіти.

Крб. К.

Попова Л.—Порадник як навчитися друкувати машинкою за слі-	— 30
по американською системою. Стор. 50	
Похилевич А.—Хата дешева та негорюча. Підручна книжка для	— 75
с.-г. профшкіл. Стор. 158	
Пилецький.—Економічна географія. Стор. 73	— 35
Рессер.—Хвороби вуха, горла та носа. Стор. 121	— 70
Синопійський-Трофимов.—Короткий підручник комерційної аритме-	
тики. Стор. 310	1 95
Сінцов, проф. та інш.—Початки математики. Підручник для	
профшкіл, курсів лікнен'у, робфаків, самоосвіти дорослих	
робітників та селян. Стор. 343	1 20
Сенунда Т., інж.—Німецько-російсько-український словник тер-	
мівів з обсягу механіки. З укр. та російськ. покажчиками.	
Стор. 40	— 45
Словник математичної термінології (проект) за Ф. Калиновичем.	
Ч. I. Термінологія чистої математики. Стор. 240	4 —
Тутковський П. і Полонський Х.—Мінералогія і геологія для сіль-	
сько-господарських інститутів. Стор. 227	1 45
Терниченко А.—Курс хліборобства. Книга перша. Загальне хлі-	
боробство. Стор. 184	— 90
Терниченко А.—Курс хліборобства. Книга друга. Польові росли-	
ни. Стор. 235	1 50
Тютрюмов В.—Графічна грамота. (Для шкіл роб. молоді, проф-	
шкіл та курсів ВПОР'у).	1 —
Устянцев В.—Загальна зоотехнія. Ч. I. Годівля сільсько-госпо-	
дарських тварин. Стор. 296	2 20
Хлібинів Н.—Графічна грамота. Ізометрична проекція. Стор. 32	
і таблиці.	— 34
Хазин С., інж.-хемик.—Задачник із цукрового виробництва. Для	
шкіл фабр.-завод. учнів та профшкіл цукрової промисло-	
вості. Стор. 56	— 69
Цельтнер.—Внутрішні хороби. Стор. 184	1 10
Шевельов І.—Бур'яни на Україні та боротьба з ними. Терміноло-	
гію та наукову мову проредагувало Метод. Бюро С.-Г.	
Комітету України. Підручна книжка для с.-г. профшкіл	
і технікумів. Стор. 170	1 —

ЦЕНТРАЛЬНИЙ ТОРГОВЕЛЬНИЙ ВІДДІЛ

Харків, Спартаківський проул. № 3.

Філії та крамниці по всіх окружних містах У. С. Р. Р.

B. K. G.

Ціна 1 крб. 75 коп.

№ 21718

